



UNIVERSIDAD DE CHILE
FACULTAD DE CIENCIAS FÍSICAS Y MATEMÁTICAS
DEPARTAMENTO DE INGENIERÍA ELÉCTRICA

ANÁLISIS DE COGNITIVE RADIO EN REDES MÓVILES

TESIS PARA OPTAR AL GRADO DE MAGÍSTER EN INGENIERÍA DE REDES DE
COMUNICACIONES

PABLO GEOVANNY PALACIOS JÁTIVA

PROFESOR GUÍA:
ALBERTO CASTRO ROJAS

MIEMBROS DE LA COMISIÓN:
CÉSAR AZURDIA MEZA
JUAN PÉREZ RETAMALES

SANTIAGO DE CHILE
2017

RESUMEN DE LA TESIS PARA OPTAR
AL TÍTULO DE MAGÍSTER EN INGENIERÍA DE REDES DE COMUNICACIONES
POR: PABLO GEOVANNY PALACIOS JÁTIVA
FECHA: 2017
PROF. GUÍA: SR. ALBERTO CASTRO ROJAS

ANÁLISIS DE COGNITIVE RADIO EN REDES MÓVILES

El análisis del desempeño de Cognitive Radio (CR) genera un gran interés en las comunidades académicas e industriales para satisfacer las crecientes necesidades de los recursos de espectro y la comunicación de datos de alta velocidad.

La principal ventaja que ofrece CR es la eficiencia en el uso del espectro electromagnético, ya que permite una gestión óptima del espectro a través de un proceso de cuatro etapas (ciclo cognitivo): detección del espectro, decisión del espectro, compartición del espectro y movilidad. Dentro de todo el ciclo cognitivo, las etapas más críticas son las de detección y decisión, siendo estas áreas de enorme importancia para todo el proceso cognitivo y presentan dificultades al tener mayores exigencias de hardware para la detección adecuada de los Primary Users (PU) y potenciales problemas de seguridad en la red. Bajo estos parámetros, la detección correcta y efectiva de los PU se convierte en una prioridad. Por lo tanto, se han propuesto varios métodos, incluyendo algoritmos de detección, esquemas de detección de energía, detección basada en el valor propio, detección de descomposición de valores singulares SVD, entre otros.

En este trabajo se analiza el método de detección de PU SVD, por medio del desarrollo de un simulador CR aplicado a las tecnologías móviles WiFi y LTE, estructurado con cada una de las cuatro etapas de un sistema CR, para lo cual en cada una de estas etapas se usan métodos y algoritmos evaluados en trabajos previos de manera individual. La implementación del simulador CR adapta de manera conjunta a los distintos métodos, los cuales son: Singular Value Decomposition (SVD), Teoría del juego de coaliciones y handoff por RSSI. Se usa el software Network Simulator 3 (NS-3) como entorno de desarrollo de una red cognitiva heterogénea basado en el simulador creado, permitiendo evaluar el rendimiento del método de detección Singular Value Decomposition (SVD) aplicado a una red móvil CR, esto permite validar el método en una red móvil funcional.

El rendimiento del método de detección SVD se analiza en términos de probabilidad de detección (P_d) versus Signal to Noise Ratio (SNR) mediante simulaciones numéricas y se compara con el método tradicional de Energy Detection y el algoritmo de detección SVD Teórico, utilizando el estimador estadístico Maximum Likelihood Estimation (MLE).

Utilizando el estimador estadístico MLE, los resultados obtenidos fueron los siguientes: MLE (SVD propuesta) = 0,587388, MLE (SVD) = 0,524820, MLE (Energy Detection) = 0,495913, con una desviación estándar de SD (SVD propuesto) = 0.2817681, SD (SVD teórico) = 0.3383261, SD (Energy detection teórico) = 0.4970421. En consecuencia, el sistema evaluado supera los métodos teóricos propuestos en términos de P_d .

Agradecimientos

"Si quieres que tu vida sea diferente, tienes que hacer algo diferente".

Nada de esto hubiera sido posible sin la ayuda de Dios, mis padres Silvia Játiva y Ángel Palacios, mi hermana Krhistin Palacios y mi familia, que fueron mi fortaleza en momentos de flaqueza; a pesar de la distancia siempre estuvieron, están y estarán para apoyarme, este logro es para Ustedes. A mis compañeros de Maestría, con los cuales formamos un grupo muy unido, apoyándonos ante cualquier dificultad y cultivando una gran amistad.

A mi país, cuyo representante, el Gobierno con la Senescyt, me otorgaron la beca de estudios, confiaron en mí, y no los he defraudado.

A mis profesores, en especial a mi profesor guía Alberto Castro, que con su conocimiento y experiencia, supo encaminarme en el desarrollo de este trabajo.

Tabla de Contenido

Introducción	1
1. Marco Teórico	4
1.1. Probabilidad de detección (P_d)	4
1.2. Signal to Noise Ratio (SNR)	5
1.3. Spectrum Detection	5
1.3.1. Match Filter Detection	6
1.3.2. Energy Detection	7
1.3.3. Feature Detection	7
1.4. Spectrum Decision	8
1.4.1. Detección cooperativa	8
1.4.2. Teoría de Juegos aplicada a Spectrum Decision	8
1.4.3. Juego de Coaliciones	9
1.5. Spectrum Sharing and Mobility	10
1.5.1. Criterios de información para realizar Handoff	11
1.6. Estándar de Cognitive Radio en la Industria: IEEE 802.22 Cognitive Radio Wireless Regional Area Network (WRAN)	12
1.6.1. Arquitectura básica	12
1.6.2. Funciones cognitivas en WRAN	13
1.7. Desarrollo académico de CR: Módulo CR para NS-3	13
1.8. Maximum Likelihood Estimation (MLE) para análisis de datos	15
2. Metodología	16
2.1. Etapa de detección: Detección por Singular Value Decomposition (SVD) para redes CR	16
2.1.1. Modelo matemático del algoritmo de detección SVD implementado	17
2.2. Etapa de decisión: Juego de Coaliciones para detección del espectro en CR	19
2.2.1. Modelo matemático del algoritmo de Juego de Coaliciones implementado	19
2.3. Etapa de compartición y movilidad: Selección de tecnología por Handoff me- diante el parámetro RSSI	21
3. Desarrollo e Implementación	24
3.1. Módulo <i>Cognitive</i>	24
3.2. Módulo <i>LTE</i>	25
3.3. Módulo <i>WiFi</i>	26

3.4.	Programa principal para generación de simulación <i>LTE – WIFI.CC</i>	28
3.5.	Script para inicialización de parámetros <i>Lte – Wifi.sh</i>	30
3.6.	Salidas del simulador CR	31
3.6.1.	Archivos de salida de la tecnología LTE	31
3.6.2.	Archivos de promedios de datos ip para la tecnología WiFi	32
3.6.3.	Archivo con datos de la etapa de detección con el método SVD	32
3.6.4.	Archivo con datos de la etapa de decisión con la teoría de juego de coaliciones	33
3.6.5.	Archivo con datos de las etapas de compartición y movilidad con handoff	33
3.6.6.	Interacción de los módulos desarrollados en NS-3	33
4.	Análisis de Datos y Resultados	35
4.1.	Determinación de tiempo de simulación	35
4.2.	Diseño del experimento	38
4.3.	Simulación y Datos generados	40
4.4.	Análisis de los datos	42
4.5.	Verificación	45
4.6.	Pruebas para generalización de modelo obtenido	45
5.	Conclusiones	49
5.1.	Objetivos	49
5.2.	Metodología	50
5.3.	Desarrollo e implementación	50
5.4.	Análisis de datos y Resultados	50
5.5.	Recomendaciones	51
5.6.	Trabajos complementarios y futuros	51
	Bibliografía	51
	Anexos	57
A.	Paper enviado y aceptado por el ICUFN 2017	58
B.	Documento técnico para desarrollo de software	62
C.	Manual de uso práctico del simulador	72
D.	Códigos y Scripts	102
1.	Script para inicialización de parámetros del simulador	102
2.	Script principal para generación de simulación	102
3.	Código en C para implementación de algoritmo de detección SVD	117
4.	Código en C para implementación de algoritmo de teoría de juegos de coaliciones	123
5.	Código en R para obtención de modelos de métodos de detección	130
6.	Código en R para obtención de MLE de los métodos	132

Índice de Tablas

1.1. Comparación de modelos de Handoff	11
2.1. Función Tracy-Widom	18
2.2. Medidas de RSSI para cambio de tecnología	22
3.1. Archivos en Módulo <i>Cognitive</i>	25
3.2. Archivos en Módulo <i>LTE</i>	26
3.3. Archivos en Módulo <i>WiFi</i>	27
3.4. Tabla con umbrales de parámetros modificables en el desarrollo	31
3.5. Archivos de salida de la tecnología LTE	32
3.6. Estructura del archivo de salida de la etapa de detección	32
3.7. Estructura del archivo de salida de la etapa de detección	33
3.8. Estructura del archivo de salida de la etapa de compartición y movilidad	33
4.1. Valores fijos para determinación de tiempo de simulación	36
4.2. Tiempos de simulación vs Tiempos reales	37
4.3. Parámetros del sistema para simulación	40
4.4. Probabilidad de detección P_d vs SNR para método SVD propuesto	41
4.5. Probabilidad de detección P_d vs SNR para método SVD Teórico y método Energy Detection	42
4.6. MLE de los métodos de detección	45
4.7. Parámetros del sistema para pruebas previas	46
4.8. Probabilidad de detección P_d vs SNR para 15 SU, 10 PU y Probabilidad de detección P_d vs SNR para 30 SU, 20 PU	47
4.9. Probabilidad de detección P_d vs SNR para 45 SU, 30 PU y Probabilidad de detección P_d vs SNR para 60 SU, 40 PU	47
4.10. Probabilidad de detección P_d vs SNR para 75 SU, 50 PU y Probabilidad de detección P_d vs SNR para 90 SU, 60 PU	48

Índice de Ilustraciones

1.1. Detección de PU [1]	6
1.2. Incertidumbre del receptor SU [1]	8
1.3. Categorías de teoría de juegos [2]	9
1.4. Formación de coaliciones [3]	10
1.5. Arquitectura básica de WRAN [4]	12
1.6. Ciclo Cognitivo de un nodo CR [5]	14
1.7. Submódulos del Simulador [5]	14
2.1. Diagrama de flujo para la metodología usada	16
2.2. Esquema de Handoff entre tecnologías	22
2.3. Diagrama de interacción de etapas CR	23
3.1. Diagrama de interacción los módulos desarrollados	34
4.1. Diagrama de flujo para Análisis de datos	35
4.2. Tiempo de simulación vs Tiempo real	37
4.3. Topología de red propuesta para simulación	39
4.4. CDF para el método SVD propuesto	43
4.5. CDF para el método Energy Detector	43
4.6. CDF para el método SVD teórico	44
4.7. CDF de los tres métodos	44

Introducción

1. Antecedentes

La tecnología conocida como Cognitive Radio (CR), ha evolucionado con el transcurso del tiempo, desde llamarse en una primera instancia Software Radio (SR), la cual era una radio reconfigurable, capaz de realizar distintas funciones en tiempos diferentes, únicamente realizándole cambios en su configuración mediante software. Luego paso a ser Software-Defined Radio (SDR), que no era otra cosa que una versión de SR implementable y mejor estructurado. Una de las primeras pruebas de SDR fue el proyecto militar estadounidense *SpeakEasy* que implementó diez tipos de tecnologías inalámbricas en un rango de 2 Mhz hasta los 200 Mhz, en un solo equipo reprogramable. Todo esto se llevo acabo hasta llegar a 1999, Donde Joseph Mitola III definió a CR como un sistema SDR inteligente, capaz de detectar necesidades de comunicación de los usuarios, poder conocer su entorno y gracias a este conocimiento llegar a satisfacer las necesidades de dichos usuarios [6].

En la actualidad no existen redes CR desplegadas comercialmente, a pesar de que las ideas del sistema de compartir diferentes tecnologías sin producir interferencia ya ha sido demostrada. Se han realizado pruebas en la banda de los 5 GHz de 802.11a para ser compartida con los radares de gran sensibilidad de navegación aeronáutica, también se han realizado pruebas e incluso estandarizado la tecnología para tener acceso dinámico al espectro de TV en la banda entre 400-800 Mhz lo que se conoce como Cognitive Radio Wireless Regional Area Network (WRAN) y su estándar IEEE-802.22 [7].

En los últimos diez años ha existido un significativo interés en la investigación de CR en cada una de sus etapas, tanto en la academia como en la industria, presentando muchas propuestas, métodos y algoritmos para su implementación en un sistema CR, pero hasta el momento una arquitectura con métodos estandarizados no ha podido ser definida [7].

2. Hipótesis

“El desempeño del método de detección Singular Value Decomposition (SVD) implementado en una red móvil CR en términos de Probabilidad de detección (P_d) vs SNR es mas eficiente comparado con los métodos de detección SVD teórico y Energy Detection teórico.”

3. Objetivos

3.1. Objetivo general

Comprobar la eficiencia en el desempeño del método de detección Singular Value Decomposition (SVD) implementado en una red móvil CR en términos de Probabilidad de detección (P_d) vs SNR, comparado con los métodos de detección SVD teórico y Energy Detection teórico.

3.2. Objetivos específicos

- 3.2.1. Analizar el mecanismo de CR y sus cuatro principios fundamentales tanto en el ámbito académico-investigativo como en estándares en la industria.
- 3.2.2. Usar los algoritmos de Teoría del juego aplicables a CR
- 3.2.3. Realizar un desarrollo para su uso en el software NS-3, con los algoritmos a utilizar en detección, decisión, compartición y movilidad de CR, aplicados a las redes móviles WiFi y LTE.
- 3.2.4. Realizar escenarios de simulación aplicables a la red estructurada en NS-3.
- 3.2.5. Obtener datos de los escenarios experimentales realizados
- 3.2.6. Analizar los datos obtenidos mediante métodos estadísticos válidos.

Para poder cumplir con el objetivo general y con los objetivos específicos, se implementó en un desarrollo para el software NS-3, las etapas de detección, decisión, compartición y movilidad de una red CR, aplicadas a las tecnologías móviles WiFi y LTE, mediante el uso de algoritmos y métodos que involucren en una de las etapas del sistema la Teoría del Juego y el método de detección SVD, para luego poder analizarlo mediante simulaciones.

4. Metodología

La etapas del desarrollo del trabajo son: investigación, desarrollo, simulación y análisis. Investigación de papers académicos y estándares en la industria que involucren esquemas de detección de espectro, decisión de uso de espectro mediante algoritmos de teoría del juego, compartición del espectro con usuarios licenciados y movilidad para el uso de frecuencias. Desarrollo de escenarios de simulación en NS-3 para obtener datos

experimentales y su posterior análisis mediante modelos estadísticos.

Capítulo 1

Marco Teórico

En este capítulo nos vamos a referir a los conceptos básicos de probabilidad de detección (P_d) y SNR, luego a los mecanismos y algoritmos existentes para cada una de las etapas de Cognitive Radio, seguido de una reseña de los estándares y desarrollos existentes en la industria y la academia asociados a CR, además de incluir una pequeña sección de la herramienta estadística para el análisis de datos usada.

En sentido general, el acceso dinámico al espectro requiere de cuatro funcionalidades estrechamente vinculadas al ciclo cognitivo: 1) Identificar las oportunidades de acceso al espectro (spectrum detection). 2) Seleccionar las bandas de frecuencia a utilizar (spectrum decision). 3) Coordinar el acceso al espectro con otros usuarios secundarios (spectrum sharing). 4) Desocupar los canales utilizados cuando son requeridos por los PU (spectrum mobility/handoff).

1.1. Probabilidad de detección (P_d)

En las redes CR existen dos tipos de usuarios: licenciados o Primary Users (PU) y usuarios sin licencia o Secondary Users (SU). Los SU están detectando y midiendo periódicamente las bandas del espectro para verificar los canales que se encuentren libres [8].

La detección del espectro tiene dos objetivos: reducir las interferencias perjudiciales entre la comunicación de los PU mientras están usando el canal y al mismo tiempo mejorar el uso efectivo del espectro mientras no está siendo usado por los PU [9]. El rendimiento de la detección del espectro se mide por probabilidad de detección de ocupación (P_d).

(P_d) es la probabilidad de que un canal sea declarado como ocupado cuando está ocupado en realidad, es decir cuando un PU esta usando el canal.

También se encuentra la Probabilidad de falsa alarma (P_f) que es la probabilidad de que se anuncie un canal como ocupado cuando realmente no lo está [10] [11].

1.2. Signal to Noise Ratio (SNR)

La razón Señal a Ruido SNR es una medida que indica cuánto se ha corrompido una señal $x(t)$ en presencia del ruido $n(t)$, Donde $x(t)$ es la señal recibida por el SU y $n(t)$ es Additive White Gaussian Noise (AWGN). Esta relación nos permite evaluar la información de una señal, en particular la presencia o ausencia de eventos que pueden confundirse con otros equipos o ruido [12].

El SNR se define (en escalas logarítmicas) como el cociente entre la potencia de la señal y la potencia del ruido AWGN[13]:

$$SNR_{db} = 20 \log_{10} \left[\frac{x_{rms}}{n_{rms}} \right]. \quad (1.1)$$

El rendimiento de un método de detección se mide por la capacidad para lograr una cierta (P_d) teniendo muchas veces como parámetro de entrada una (P_f) específica para un valor de SNR dado.

1.3. Spectrum Detection

Los métodos de identificación de las oportunidades de acceso al espectro pueden clasificarse como pasivos o activos. Para nuestro análisis nos centraremos en los parámetros de identificación activa ya que es donde se encuentra el tipo de detección que se implementó en el proyecto.

Se parte con la suposición de que los usuarios con capacidad CR, también llamados Secondary Users (SU) de la red, no tienen ninguna interacción en tiempo real con los transmisores y receptores primarios de la red, también llamados Primary Users (PU) [1]. Para la detección del transmisor y para poder distinguir entre bandas usadas y sin usar, los SU detectan la señal de un transmisor principal sólo a través de las observaciones locales, que deben tener la capacidad de determinar si la señal del PU, está presente [1].

Se plantea una prueba de hipótesis básica para la detección del transmisor [1]:

$$x(t) = \begin{cases} n(t) & H_0 \\ h(t) * s(t) + n(t) & H_1 \end{cases} \quad (1.2)$$

Donde $x(t)$ es la señal recibida por el SU, $s(t)$ es la señal transmitida por el PU, $n(t)$ es el Additive White Gaussian Noise (AWGN) y $h(t)$ es la ganancia del canal. La hipótesis nula (H_0) establece que no existe señal de usuario licenciado en cierta banda. La hipótesis alternativa (H_1) establece que existe alguna señal de un usuario primario [1].

Este esquema se lo puede observar en la Figura 1.1.

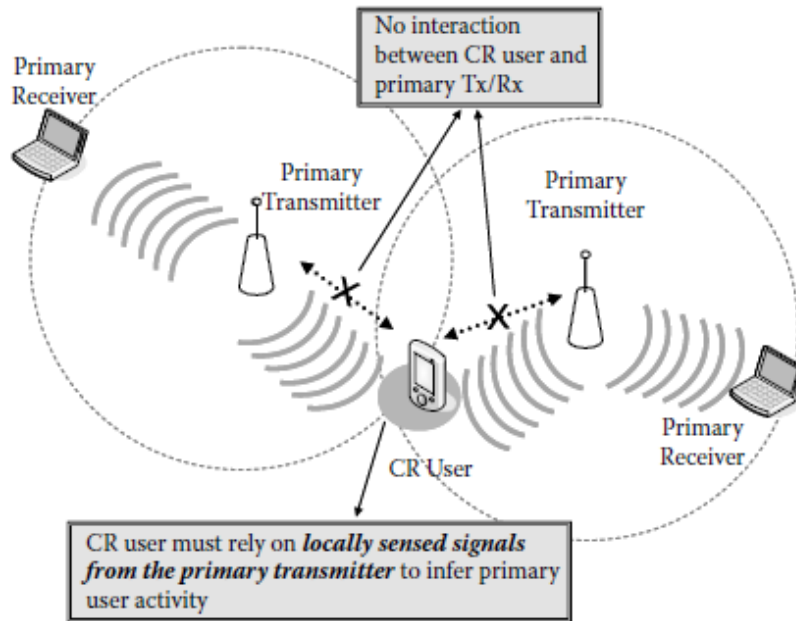


Figura 1.1: Detección de PU [1]

Los métodos que generalmente se usan para detectar un transmisor primario son:

- Matched filter detection o Coherent detection
- Energy detection
- Feature detection

1.3.1. Match Filter Detection

Características [1]

- Óptimo cuando la información del PU es conocida por el SU.
- Como conocimiento previo acerca de las características de la señal del PU se puede optar por tipo y orden, forma de pulso, velocidad de datos, o propiedades estadísticas de dicha señal.

Desventajas [1]

- La desventaja de este método es que además de que se requiere de antemano un conocimiento de las características de la señal del PU, se requiere la sincronización entre el

transmisor primario y el SU. Si esta información no es correcta, o si la sincronización es mala, los resultados de este método de detección serán pobres.

1.3.2. Energy Detection

Características [1]

- Si el SU no tiene suficiente información sobre la señal transmitida por el SU, este método es más óptimo.
- El método consiste en que los SU detectan la presencia o ausencia de los PU a través de la energía de la señal primaria recibida.
- El método requiere dos veces más número de muestras para determinar una probabilidad de error, por lo tanto, si un SU necesita detectar señales débiles, por ejemplo con un SNR entre 10 dB a -40 dB, este filtro necesita de más tiempo de detección en comparación con otros métodos.
- La característica principal de este método es su facilidad de implementación.

Desventajas [1]

- Sólo puede determinar la presencia de la señal, pero no su tipo, por lo tanto, en ciertas ocasiones genera falsas detecciones activadas por señales no deseadas.
- Sólo depende del SNR de la señal recibida, por lo que puede verse afectado el rendimiento por las variaciones de potencia del ruido.

1.3.3. Feature Detection

Características [1]

- Este método consiste en explotar la periodicidad inherente a la señal transmitida por el PU, mediante el análisis de una función de correlación espectral, o también llamado función de auto correlación cíclica.
- Funciona muy bien en regiones con bajo SNR y con incertidumbre en el valor de la potencia del ruido.

Desventajas [1]

- Este método es críticamente dependiente de que el SU conozca de antemano el período de la señal PU modulada.
- Es computacionalmente más complejo y requiere mayor número de observaciones.

1.4. Spectrum Decision

Debido a la falta de interacción en tiempo real entre los Primary Users (PU) y los Secondary Users (SU), los métodos de detección por sí solos pueden basarse en señales que en muchas ocasiones pueden llegar a ser muy débiles, lo cual generaría interferencia en el Primary Users (PU) como se muestra en la Figura 1.2, o incluso fallas en la detección por parte de los SU [1].

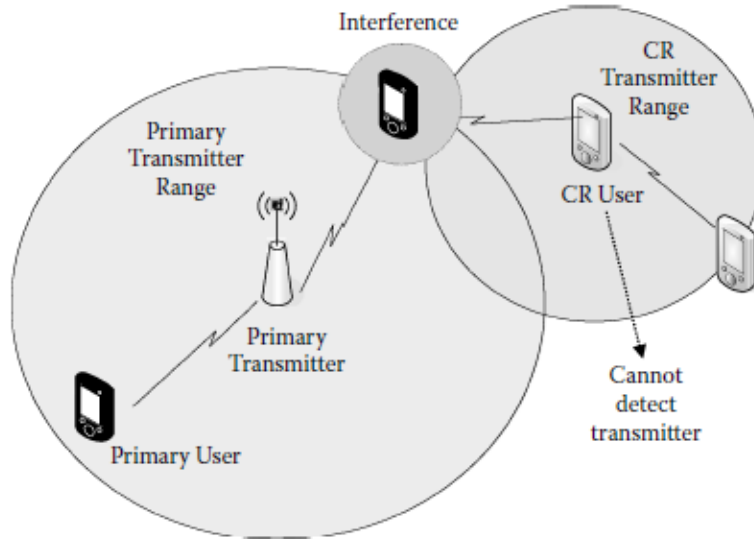


Figura 1.2: Incertidumbre del receptor SU [1]

1.4.1. Detección cooperativa

Para solucionar los problemas de interferencia o desvanecimiento se requiere detectar también la información de otros usuarios, esto es lo que se conoce como detección cooperativa. Este método es teóricamente más preciso, ya que la incertidumbre de lo que detecta un solo usuario CR puede minimizarse a través de la colaboración de otros con él, además, el desvanecimiento por trayectos múltiples y efectos de sombra puede ser mitigado de modo que la probabilidad de detección se mejora en gran medida [3].

1.4.2. Teoría de Juegos aplicada a Spectrum Decision

La teoría de juegos es una herramienta matemática que analiza múltiples interacciones estratégicas entre los participantes de un determinado entorno para la toma de decisiones. En las redes CR, los usuarios de la red, toman las decisiones sobre el uso del espectro y parámetros de operación basados en la detección de espectro dinámico y acciones adoptadas

por otros usuarios. Además, los usuarios que compiten por los recursos del espectro muchas veces no son incentivados para cooperar entre sí y pueden comportarse de forma egoísta. Por lo tanto, es recomendable el uso de la teoría de juegos para estudiar los comportamientos inteligentes e interacciones de los usuarios en una red de este tipo [2].

En la Figura 1.3 se muestra algunos enfoques de teoría de juegos y sus aplicaciones.

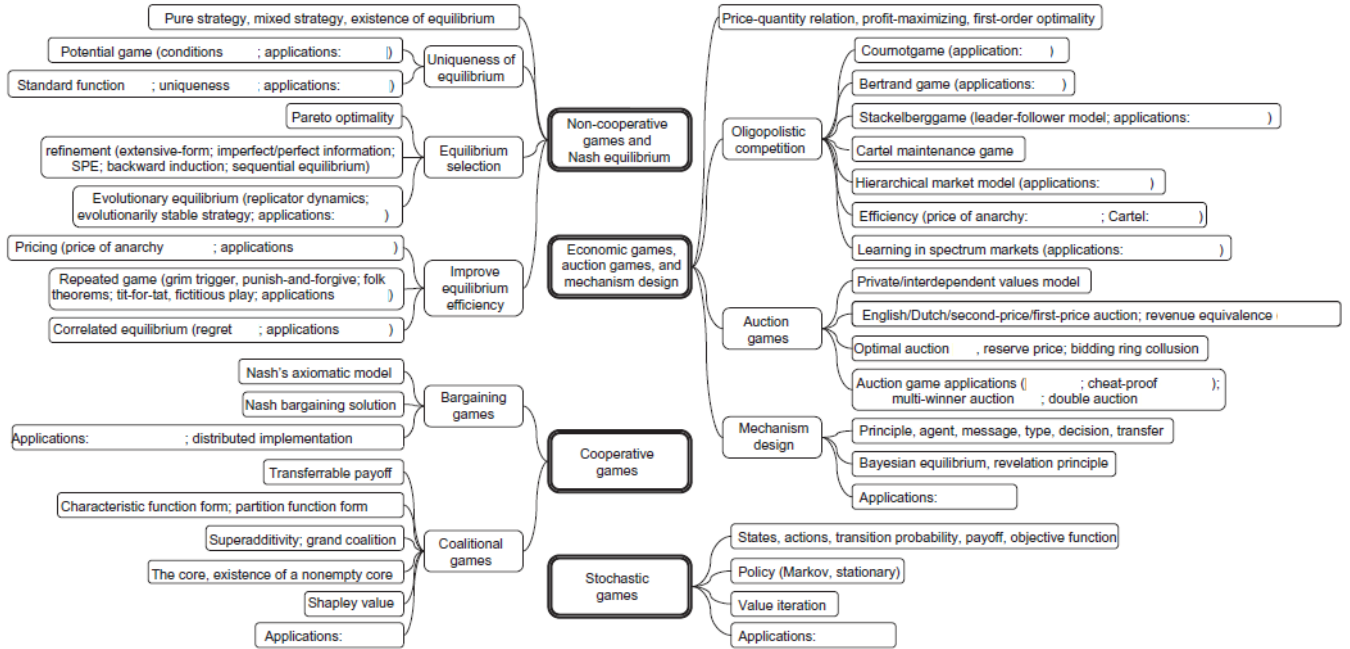


Figura 1.3: Categorías de teoría de juegos [2]

1.4.3. Juego de Coaliciones

El rendimiento de detección del espectro puede mejorar por la cooperación entre los SU que pueden formar coaliciones (grupos) y compartir resultados individuales como se muestra en la Figura 1.4. Con más información de la coalición, las decisiones en la detección del espectro se pueden hacer más precisas [14].

Un centro de fusión ó cabeza de coalición desempeña un papel importante en el rendimiento de este método. Una herramienta típica para un juego de coaliciones, es la aplicación de la regla OR, similar a la función lógica del mismo nombre, ya que si un grupo contiene pocos SU, la probabilidad de que se indique que un usuario primario accede al canal, será baja [3].

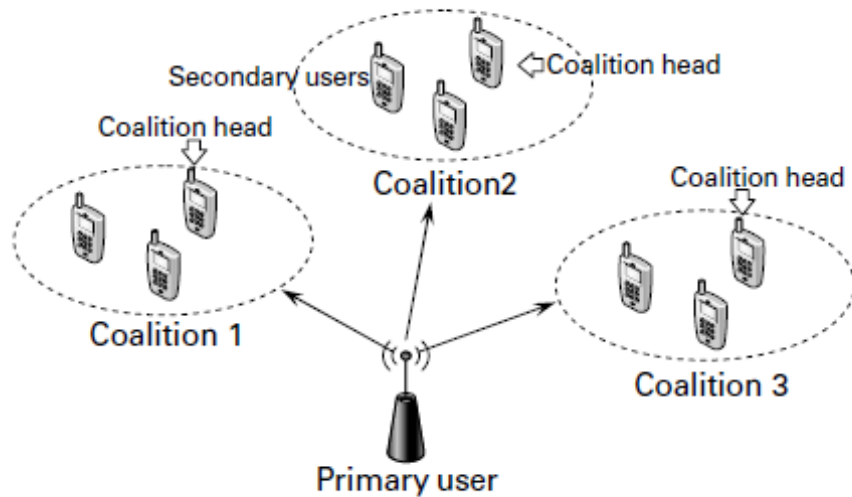


Figura 1.4: Formación de coaliciones [3]

1.5. Spectrum Sharing and Mobility

La movilidad de espectro o Handoff espectral es el proceso en donde un SU cambia su frecuencia de operación, cuando las condiciones de un canal se degradan o cuando un PU aparece ya que este es el usuario autorizado para el uso del espectro. Durante este proceso es inevitable que se pierda la comunicación por un lapso de tiempo, por lo que se requiere un modelo de handoff que permita tener la mínima degradación de la comunicación [15].

Los modelos de handoff se pueden clasificar de acuerdo a tres criterios diferentes:

1. **De acuerdo con el momento en el que se selecciona el canal y se realiza el cambio:** estos modelos se resumen en la Tabla 1.1.

Tabla 1.1: Comparación de modelos de Handoff

Estrategia	No Handoff	Reactivo puro	Proactivo puro	Híbrido
Idea principal	Parar y esperar	Monitoreo reactivo y acción reactiva	Monitoreo proactivo y acción proactiva	Monitoreo proactivo y acción reactiva
Ventajas	Muy baja interferencia al PU	Precisión en la selección del canal	Muy rápida respuesta y selección del canal inteligente	Respuesta rápida
Desventajas	Muy alta interferencia al SU	Respuesta lenta	Datos de la disponibilidad del canal no actualizados y costo computacional alto	Datos de la disponibilidad del canal no actualizados
Latencia	Alta (impredicible)	Media	Muy baja	Baja
Dependencia	Actividad del PU	Monitoreo del espectro	Canal de backup y precisión del modelo de tráfico del PU	Canal de backup

2. **De acuerdo con el tipo de tecnología a la cual se hace el cambio de canal:** Handoff horizontal, Handoff vertical y handoff diagonal [16].
3. **De acuerdo a la movilidad en su propia tecnología:** Handoff hard y Handoff soft [16].

1.5.1. Criterios de información para realizar Handoff

Estos criterios proporcionan la información necesaria para ayudar a los algoritmos de toma de decisiones a la asignación de espectro a los SU en los sistemas CR. Estos criterios pueden cambiar de acuerdo con los objetivos a optimizar y priorizar en cada esquema de Handoff espectral [17].

Entre los principales criterios de información se encuentran calidad de servicio, calidad del enlace, disponibilidad del canal, tiempo estimado de disponibilidad del canal, patrón de tráfico del SU y PU, geo-localización y Received Signal Strength Indication (RSSI) [17].

1.6. Estándar de Cognitive Radio en la Industria: IEEE 802.22 Cognitive Radio Wireless Regional Area Network (WRAN)

También llamado el primer estándar de CR o *TV White Space*. El desarrollo del estándar IEEE 802.22 WRAN se da por el uso de técnicas de CR para permitir el uso compartido del espectro geográficamente no utilizado en las bandas de televisión, y garantizar la no interferencia en la operación de televisión digital, analógica y dispositivos de baja potencia con licencia como los micrófonos inalámbricos [4].

1.6.1. Arquitectura básica

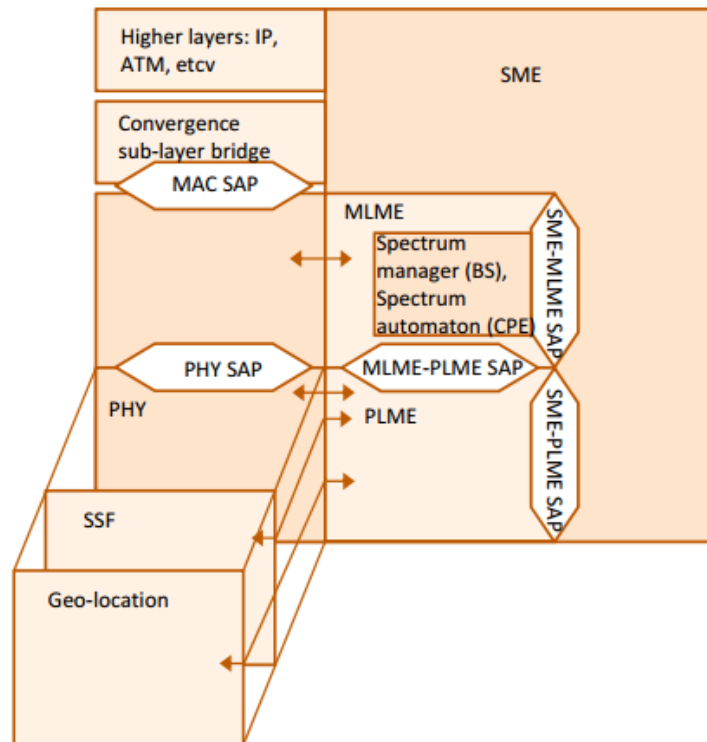


Figura 1.5: Arquitectura básica de WRAN [4]

Esta arquitectura mostrada en la Figura 1.5, referencia el direccionamiento del sistema entre Physical Layer (PHY) y la capa Media Access Control (MAC), presentes en la interfaz Server Manager Entity (SME), a través de la gestión de entidades de la capa PHY y MAC denominada MAC Layer Management Entity (MLME). La comunicación con las capas superiores se da a través del estándar 802.1d que es una subcapa compatible de convergencia. En la capa PHY hay tres funciones principales: la transmisión de los datos, la función de

Spectrum Sensing Function (SSF), y la función de geo-localización. La interfaz PHY con la interfaz MAC se comunican a través del Service Access Point (SAP) [4].

1.6.2. Funciones cognitivas en WRAN

1. **Administración del espectro:** El administrador de espectro es la función cognitiva que va a utilizar las entradas a partir del SSF de la geo-localización y de la base de datos para decidir sobre el canal a utilizar por la celda WRAN [4].
2. **Geo-localización y base de datos:** La norma IEEE 802.22 requiere que todos dispositivos de la red que se instalarán tengan una ubicación fija tanto en la estación base como su Customer Premises Equipment (CPE) asociado. La ubicación de la estación base debe ser conocida en un radio de 15 m, mientras que la ubicación del CPE debe ser conocida dentro de un radio de 100 m [4].
3. **Detección del espectro:** Los requisitos de detección se resumen en función de cuatro parámetros: la sensibilidad de detección del detector, el tiempo de detección del canal, la probabilidad de detección, y probabilidad de falsa alarma. Para TV digital la sensibilidad es de -116 dBm, para TV analógica, la sensibilidad es -94 dBm, mientras que para micrófonos inalámbricos, la sensibilidad es -107 dbm [4]. El tiempo de detección de canal para todos tipos de señales es de 2 s. La probabilidad de detección es 0,9, mientras que la probabilidad de falsa alarma es 0,1 para todos los tipos de señales [4].

1.7. Desarrollo académico de CR: Módulo CR para NS-3

Existen varios trabajos académicos en función de desarrollo de simuladores para CR, entre los que se pueden mencionar Cognitive Radio Cognitive Network Simulator (CRCN), que es un simulador basado en Network Simulator 2 (NS-2), en el cual los usuarios pueden usar modelos de radio para simulaciones de redes CR y además se ha incorporado diferentes topologías y generadores de tráfico, que permiten a los usuarios crear diferentes escenarios de simulación [18].

También ha sido creado un módulo CR para NS-3 el cual tiene las siguientes características [19]:

- Proporciona capacidades CR como la detección de espectro, la detección de PU, handoff de canales y toma de decisiones en las diferentes capas de red.
- Incorpora la posibilidad de consultar una base de datos para obtener resultados de la actividad de los PU.
- Permite simular redes CR con redes legacy no cognitivas en un mismo entorno.

Las funciones típicas de un nodo CR en el simulador, cumplen las cuatro etapas básicas

de un sistema CR, como se observa en la Figura 1.6 [5]

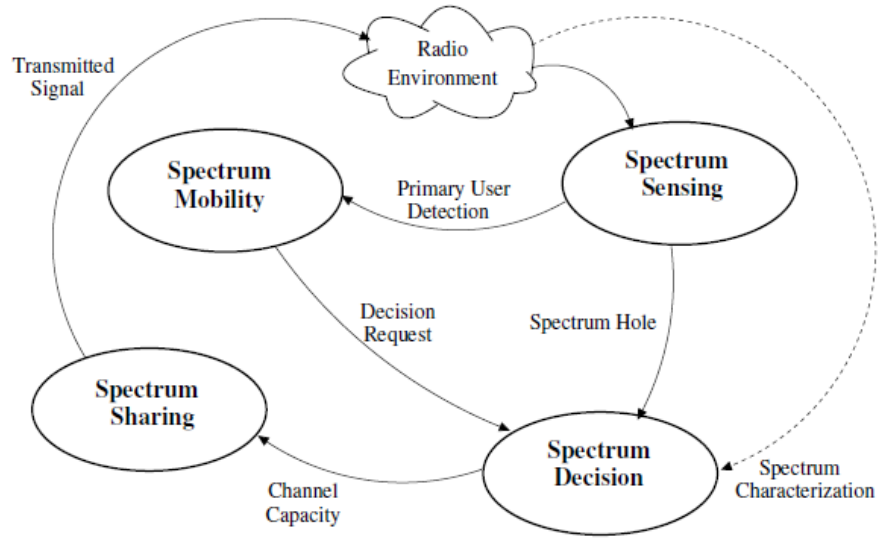


Figura 1.6: Ciclo Cognitivo de un nodo CR [5]

Dentro del administrador del espectro (Spectrum manager) en la Figura 1.7 existen submódulos que se asignan al ciclo cognitivo mostrado en la Figura 1.6 entre ellos están Spectrum Sensing/Database Query, Spectrum Decision, Spectrum Mobility y Spectrum Sharing [5]

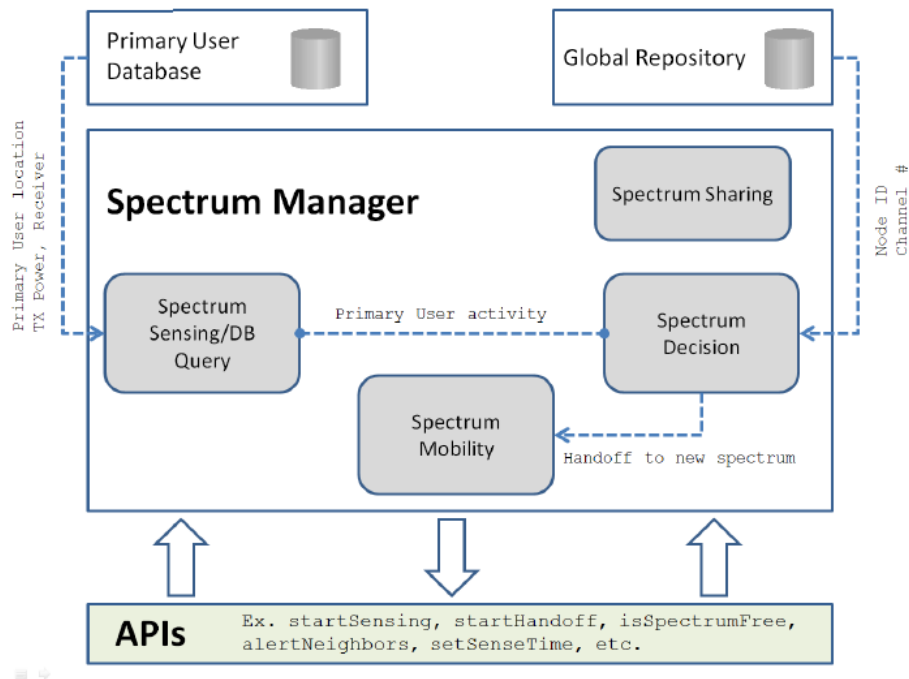


Figura 1.7: Submódulos del Simulador [5]

1.8. Maximum Likelihood Estimation (MLE) para análisis de datos

Para poder realizar un análisis estadístico de los datos recopilados de las simulaciones, y al ser estos datos modelados como funciones de probabilidad acumulada CDF, se necesita una herramienta que permita dicho análisis entre modelos, para verificar eficiencia en términos de los parámetros involucrados.

La función de verosimilitud $L(\theta)$ es la función de densidad de los datos observados, visto como una función de un parámetro desconocido θ que representa la probabilidad que tenemos de obtener una muestra de los datos observados. La estimación de máxima verosimilitud (Maximum Likelihood Estimation (MLE)) es una técnica para encontrar la función más probable que explica los datos observados, en otras palabras, es el valor del parámetro que hace que los datos obtenidos sean más probables de haber sido observados.

De acuerdo a [20] existe valores mas probables de θ por ende tienen una probabilidad relativamente alta. El valor mas probable que será el máximo valor de $L(\theta)$ es el estimador de máxima verosimilitud.

Por definición el (MLE) $\hat{\theta}_{ML}$ de un parámetro θ se obtiene maximizando la función de verosimilitud:

$$\hat{\theta}_{ML} = \arg \max L(\theta). \quad (1.3)$$

Este estimador viene asociado con un error que es posible determinar dado que todos los errores estándar en MLE son asintóticos y si existe un buen estimador de una muestra pequeña, se verá como máxima verosimilitud [21].

La métrica que se usa para corroborar la variabilidad de los datos, es la desviación estándar del estimador. Si se está interesado en la precisión de los datos o en comparar y probar las diferencias entre algunos parámetros, entonces el error estándar del estimador es la métrica [22].

Capítulo 2

Metodología

Para lograr los objetivos planteados, la metodología usada fue de investigación, desarrollo, simulación y análisis que se explicarán en este capítulo y posteriores. Mediante la investigación de textos científicos (papers), se pudo escoger métodos basados en algoritmos matemáticos y de teoría de juegos para cada etapa del sistema CR. En el presente capítulo se realiza una descripción a detalle de los métodos y algoritmos usados en este trabajo. El flujo de la metodología investigada (Figura 2.1), es el siguiente y sigue al flujo de un sistema CR:

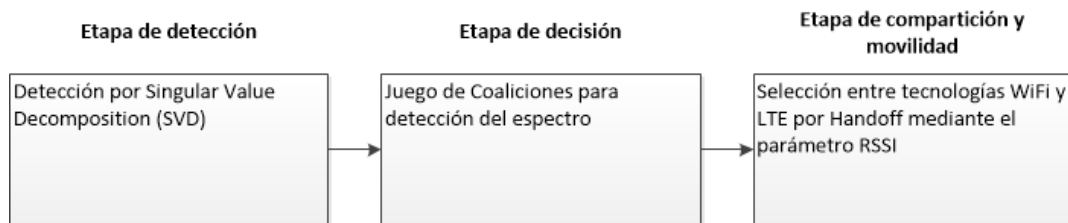


Figura 2.1: Diagrama de flujo para la metodología usada

2.1. Etapa de detección: Detección por Singular Value Decomposition (SVD) para redes CR

De acuerdo a lo revisado en el Capítulo 1, existen tres principales tipos de detección de PU:

- Matched filter detection o Coherent detection [23]
- Energy detection [24] [23]
- Feature detection [23]

De estos métodos, el de Energy detection es el más usado por su facilidad de implementación, siendo el más básico y de mayor uso para su comparación con otros métodos mas sofisticados [24].

A diferencia de los otros métodos, el Energy detection no necesita ninguna información de la señal que se va a detectar y es más robusto a la dispersión del canal desconocido [24]. A pesar de esta ventaja, el Energy Detection es vulnerable a la incertidumbre del ruido porque el método se basa en saber con precisión la Potencia del ruido. En la práctica, es muy difícil obtener esta potencia de manera precisa [24].

Para superar esta desventaja, para este trabajo se plantea y adapta el método Singular Value Decomposition (SVD) a una red CR móvil [25]. Este método está basado en los valores propios o *Eigenvalores*, además de que el umbral de decisión que determina la presencia de la señal PU se deriva de Random Matrix Theory (RMT) [26]. Esto se realiza para determinar la hipótesis de la detección de la señal.

El método SVD es muy similar al método de descomposición por valores propios. Sin embargo, SVD es más general ya que puede aplicarse a cualquier tipo de matriz sin necesidad de ser una matriz cuadrada [25].

Ventajas [25]

- Es más robusto al error numérico
- La estructura geométrica de una matriz la toma como un aspecto importante de muchos cálculos matriciales
- Cuantifica el cambio resultante entre la geometría subyacente de esos espacios vectoriales.

2.1.1. Modelo matemático del algoritmo de detección SVD implementado

1. Seleccionar los valores de N , L y k , tales que $k < L < N - k$, donde N es el número de muestras que debe tomar el receptor CR, L se define como el 'Factor de suavizado' es decir el número de valores consecutivos que la matriz de covarianza de la señal recibida puede tomar, y k es el número de valores singulares. Siguiendo la notación dada en [25], se consideró $k = 2$ y $L = 16$. Entonces la matriz de covarianzas viene dada por la siguiente expresión:

$$R(N) = \frac{1}{N} \sum_{L=16}^{16-1+N} \hat{x}(n)x^\dagger(n), \quad (2.1)$$

Donde $R(N)$ es la matriz de covarianza de la señal discreta $\hat{x}(n)$ recibida por el receptor CR y $x^\dagger(n)$ es el *Hermitiano* de $\hat{x}(n)$.

2. Factorizar la matriz de covarianzas, es decir aplicar el método SVD para obtener los valores singulares, obteniendo la siguiente expresión:

$$R = U\Sigma V^t, \quad (2.2)$$

donde $R = (m \times n)$ es la matriz de covarianza, $U = (m \times n)$ es la matriz de vectores singulares de columnas de R , $\Sigma = (m \times n)$ es la matriz de valores singulares, y $V^t(m \times n)$ es la matriz de vectores singulares de filas R .

3. Obtener los valores propios máximos y mínimos de la matriz de covarianza $R(N_s)$, siendo estos λ_{max} and λ_{min} respectivamente.
4. Calcular el valor umbral 'threshold' para comparar con los valores singulares usando la siguiente expresión:

$$\gamma = \frac{(\sqrt{N} + \sqrt{L})^2}{(\sqrt{N} - \sqrt{L})^2} * \left(1 + \left(\frac{(\sqrt{N} + \sqrt{L})^{-\frac{2}{3}}}{N * L^{\frac{1}{6}}}\right) * F_1^{-1}(1 - P_{fa})\right), \quad (2.3)$$

donde P_{fa} es la probabilidad de falsa alarma que se requiere que sea igual o menor que 0.1 ($P_{fa} \leq 0,1$) [25]. La expresión $F_1^{-1}(1 - P_{fa})$ es la función de *Tracy – Widom*, que es la distribución de probabilidad normalizada para los valores singulares, como se muestra en la Tabla 2.1 [27]:

Tabla 2.1: Función Tracy-Widom

t	-3.9	-3.18	-2.78	-1.91	-1.27	-0.59	0.45	0.98
$F_1(t)$	0.01	0.05	0.10	0.30	0.50	0.70	0.90	0.95

5. Comparar la relación de valores singulares máximos y mínimos de la matriz de covarianzas con el umbral, por lo tanto si $\frac{\lambda_{max}}{\lambda_{min}} < \gamma$, la señal PU está presente, de otro modo la señal no está presente.
6. Obtener el bit de detección de señal individual de PU.

El enfoque anterior se resume en Algoritmo I.

Algorithm 1 Algoritmo de detección SVD aplicado

Require: k, L, N y $k < L < N - k$.

Ensure: bit de detección de PU.

```
1: while comunicación este en progreso do
2:   Inicializar  $k = 2$  y  $L = 16$ 
3:   Obtener  $CovMat = CrearMatrizCovarianza(L)$ 
4:   Factorizar(CovMat)
5:   Obtener  $Max = Maximo(CovMat)$  y  $Min = Minimo(CovMat)$ 
6:   Obtener  $Threshold = Calcularumbral()$ 
7:   if ( $Max/Min < Threshold$ ) then
8:     return bit de detección de PU=1
9:   else
10:    return bit de detección de PU=0
11:  end if
12: end while
```

2.2. Etapa de decisión: Juego de Coaliciones para detección del espectro en CR

En esta etapa de decisión es donde se implementó la teoría de juegos basada en coaliciones (juego cooperativo) [28] [29].

De todas los algoritmos y métodos analizados previamente, se decidió usar un tipo de detección de espectro colaborativo entre los SU debido a que gracias a estudios previos [30], se muestra una significativa mejora del rendimiento, aunque se debe tomar en cuenta que existe un *tradeoff* entre las ganancias en términos de probabilidad de detección del PU y los costes en términos de probabilidad de falsa alarma. Es decir aumentará la probabilidad de detección de un PU, pero también aumentará la probabilidad de falsa alarma.

2.2.1. Modelo matemático del algoritmo de Juego de Coaliciones implementado

1. FASE 1: Detección local [28] [29]

- Cada SU individual obtendrá su bit de detección de señal de PU.

2. FASE 2: Formación de coaliciones adaptativas [28] [29]

- Durante la formación de la coalición adaptativa se asume que cualquier SU decide de manera autónoma formar o romper una coalición para maximizar su utilidad en términos de la probabilidad de detección, mientras contabiliza un costo de falsa alarma, siendo modelado un juego de coalición (N, v) donde N es el conjunto de jugadores (SU) y v es la función de utilidad o valor de una coalición.

- Dentro de una coalición, el SU que tenga la mayor probabilidad de detección se escogerá como cabeza de coalición.
- Las coaliciones y los SU deben seguir las siguientes propiedades:
 - En el juego de coaliciones propuesto, la utilidad de una coalición S es igual a la utilidad de cada SU en la coalición.
 - Las probabilidades de falsa alarma y de no detección de un PU por parte de cualquier SU que pertenece a la coalición, están dadas por las probabilidades de la coalición.
- La comparación se realiza basada en la siguiente expresión que representa la función de utilidad de cada SU:

$$v(S) = Q_{d,S} - C(Q_{f,S}) = (1 - Q_{m,S}) - C(Q_{f,S}), \quad (2.4)$$

Donde $C(Q_{f,S})$ es la función de costo de probabilidad de falsa alarma dentro de la coalición S .

$Q_{f,S}$ es la probabilidad de falsa alarma de la coalición S , teniendo como cabeza de coalición k , y esta dada por la siguiente expresión:

$$Q_{f,S} = 1 - \prod_{i \in S} [(1 - P_f)(1 - P_{e,i,k}) + P_f * P_{e,i,k}], \quad (2.5)$$

Donde P_f es la probabilidad de falsa alarma de un SU y $P_{e,i,k}$ es la probabilidad de reportar un error entre un SU de la coalición y su cabeza de coalición k .

$Q_{m,S}$ es la probabilidad de no detección de un PU por parte de la coalición, y esta dada por la siguiente expresión:

$$Q_{m,S} = \prod_{i \in S} [(P_{m,i})(1 - P_{e,i,k}) + (1 - P_{m,i})P_{e,i,k}], \quad (2.6)$$

Donde $P_{m,i}$ es la probabilidad de no detección de un PU por parte de un SU.

La función costo de probabilidad de falsa alarma $C(Q_{f,S})$, dentro de la coalición S , está dada por la siguiente expresión:

$$C(Q_{f,S}) = \begin{cases} -\alpha^2 \cdot \log(1 - \left(\frac{Q_{f,S}}{\alpha}\right)^2) & \text{si } Q_{f,S} < \alpha \\ +\infty & \text{si } Q_{f,S} \geq \alpha \end{cases} \quad (2.7)$$

- Se forman las coaliciones basadas en las siguiente reglas de unión y separación de SU:

- **Unión:** la coalición decide unirse de acuerdo al siguiente teorema:

Se decide unir cualquier set de coaliciones si la función de utilidad de la unión es mejor comparada con cada coalición individual, además si el set de coaliciones abarca todos los usuarios de la partición, y por Pareto, es preferible, dada su función de utilidad, comparada con las particiones no coalicionadas.

- **Separación:** la coalición decide separarse de acuerdo al siguiente teorema:

Se decide separar un set de coaliciones si la función de utilidad de cada coalición del set por individual es mejor que la unión de las coaliciones.

- Se realiza esta metodología hasta encontrar el óptimo conjunto de coaliciones en los elementos de la red, mientras la red se encuentre en funcionamiento.
- **Restricciones de coalición:** La coalición mínima a formar será de un SU por coalición (es decir cuando no forma parte de ninguna coalición). El número máximo de elementos de una coalición esta dada por la siguiente restricción:

$$M_{max} = \frac{\log(1 - \alpha)}{\log(1 - P_f)} \quad (2.8)$$

3. FASE 3: Detección de la coalición [28] [29]

- Cada SU reporta su bit de detección a cada cabeza de la coalición.
- La cabeza de cada coalición toma una decisión final sobre la presencia o no de un PU usando una regla OR.
- Los SU en una coalición cumplirán con la decisión final tomada por la cabeza de la coalición.

2.3. Etapa de compartición y movilidad: Selección de tecnología por Handoff mediante el parámetro RSSI

Debido a que la tecnología LTE [31] es compatible con las especificaciones 3rd Generation Partnership Project (3GPP) LTE [32] y la tecnología WiFi [33] es compatible con las especificaciones IEEE 802.11 [34], y dado que el trabajo se basó exclusivamente en métodos y análisis de la capa PHY CR, se investigó y analizó un parámetro físico característico común en ambas tecnologías, para poder considerarlo como parámetro de decisión para la movilidad de CR entre tecnologías [35].

Este parámetro físico es el Received Signal Strength Indication (RSSI), dado que provee información acerca del nivel de potencia que está siendo recibido por la antena, el cual

decrementa cuando el usuario se aleja del actual punto de acceso a la red. Este criterio permite determinar el momento en el que se hace necesario realizar un cambio de canal [36].

El esquema seguido para realizar el Handoff se muestra en la Figura 2.2 :

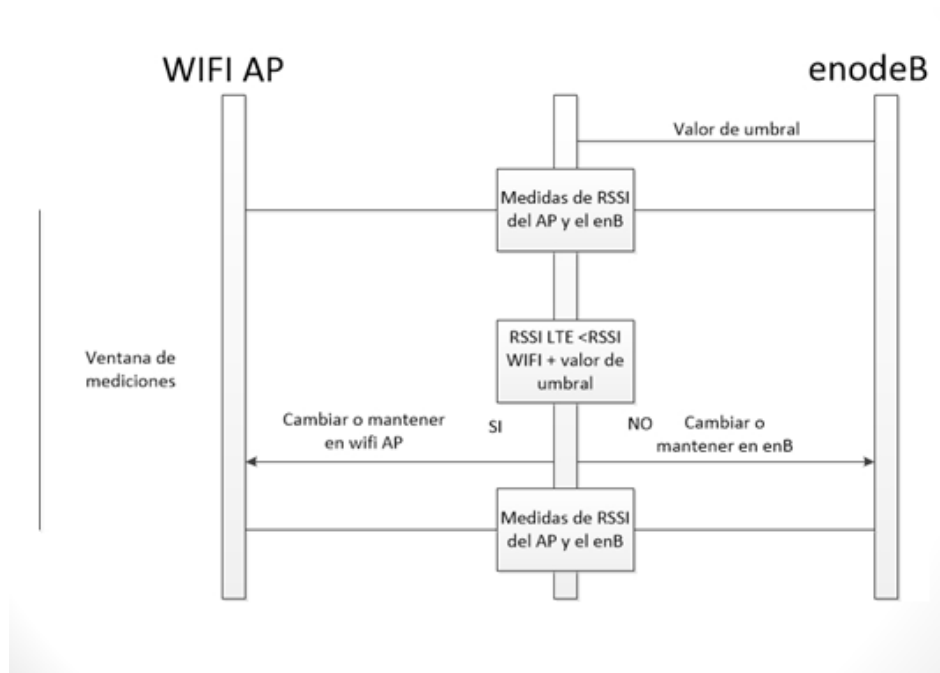


Figura 2.2: Esquema de Handoff entre tecnologías

El valor de umbral de RSSI sirve para aumentar/disminuir el área de cobertura efectiva del Access Point (AP) WiFi dependiendo de la capacidad de la red [37]. Una limitación de este método es que el valor del umbral debe adaptarse en función del conocimiento de toda la red y de la distribución de los usuarios.

Para efectos experimentales y para poder comparar cuando un SU debe cambiar de tecnología, dependiendo de su movilidad, se usó un valor umbral, de acuerdo a lo investigado está dado en 1.76 dB [35].

La medición del RSSI más el valor de umbral de acuerdo a la potencia recibida sea de WiFi o LTE, será comparada mediante histéresis para disminuir el número de conmutaciones de frontera de celda [38].

Por lo tanto los valores que usa un SU que se encuentra transmitiendo en una banda de la tecnología WiFi para cambiarse a la tecnología LTE y viceversa son los siguientes (Tabla 2.2:

Tabla 2.2: Medidas de RSSI para cambio de tecnología

Cambio entre tecnologías	Valores
<i>WiFi a LTE</i>	RSSI + umbral = 37 dB
<i>LTE a WiFi</i>	RSSI + umbral = 34 dB

El diagrama de flujo de interacción entre los métodos y algoritmos implementados se

muestra en la Figura 2.3

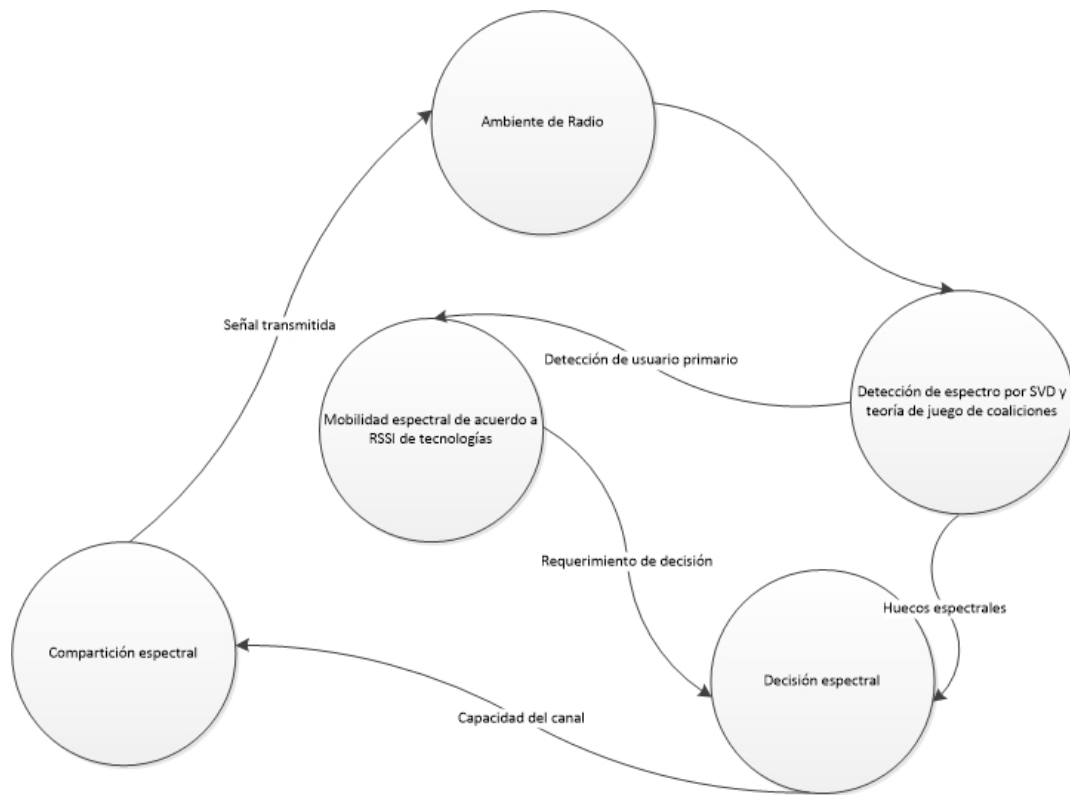


Figura 2.3: Diagrama de interacción de etapas CR

Capítulo 3

Desarrollo e Implementación

La implementación de los algoritmos y métodos escogidos en el Capítulo 2, se la realizó mediante un desarrollo para Network Simulator 3 (NS-3) [39], y su resultado, fue un simulador CR para las redes móviles LTE y WiFi.

Para la elaboración de este simulador, y para seguir las mejores prácticas de desarrollo de software [40], se realizó un documento técnico en el cual constan todos los parámetros a tomar en cuenta para la creación del simulador, y su apreciación se encuentra en el Anexo B. El desarrollo se encuentra estructurado en 5 componentes principales:

- Módulo *Cognitive*
- Módulo *LTE*
- Módulo *WiFi*
- Programa principal para generación de simulación *LTE – WIFI.CC*
- Script para inicialización de parámetros *Lte – Wifi.sh*

3.1. Módulo *Cognitive*

Contiene los desarrollos *svd.cc* y *svd.h*, que son los que permiten realizar la etapa de detección del ciclo CR debido a que en estos desarrollos está implementado el método de detección SVD especificado en el Capítulo 2 y en el Anexo B. La Tabla 3.1 lista todos los archivos del módulo cognitivo.

Tabla 3.1: Archivos en Módulo *Cognitive*

Archivos
/home/pablo/ns-allinone-3.23/ns-3.23/src/cognitive/model/cognitive.cc
/home/pablo/ns-allinone-3.23/ns-3.23/src/cognitive/model/cognitive.h
/home/pablo/ns-allinone-3.23/ns-3.23/src/cognitive/model/cognitive-packet-tags.cc
/home/pablo/ns-allinone-3.23/ns-3.23/src/cognitive/model/cognitive-packet-tags.h
/home/pablo/ns-allinone-3.23/ns-3.23/src/cognitive/model/common-cognitive-header.h
/home/pablo/ns-allinone-3.23/ns-3.23/src/cognitive/model/pu-model.cc
/home/pablo/ns-allinone-3.23/ns-3.23/src/cognitive/model/pu-model.h
/home/pablo/ns-allinone-3.23/ns-3.23/src/cognitive/model/repository.cc
/home/pablo/ns-allinone-3.23/ns-3.23/src/cognitive/model/repository.h
/home/pablo/ns-allinone-3.23/ns-3.23/src/cognitive/model/spectrum-data.cc
/home/pablo/ns-allinone-3.23/ns-3.23/src/cognitive/model/spectrum-data.h
/home/pablo/ns-allinone-3.23/ns-3.23/src/cognitive/model/spectrum-decision.cc
/home/pablo/ns-allinone-3.23/ns-3.23/src/cognitive/model/spectrum-decision.h
/home/pablo/ns-allinone-3.23/ns-3.23/src/cognitive/model/spectrum-manager.cc
/home/pablo/ns-allinone-3.23/ns-3.23/src/cognitive/model/spectrum-manager.h
/home/pablo/ns-allinone-3.23/ns-3.23/src/cognitive/model/spectrum-sensing.cc
/home/pablo/ns-allinone-3.23/ns-3.23/src/cognitive/model/spectrum-sensing.h
/home/pablo/ns-allinone-3.23/ns-3.23/src/cognitive/model/svd.cc
/home/pablo/ns-allinone-3.23/ns-3.23/src/cognitive/model/svd.h
/home/pablo/ns-allinone-3.23/ns-3.23/src/cognitive/model/wscript

3.2. Módulo *LTE*

Contiene todos los parámetros principales de la tecnología LTE, adaptada a las funciones cognitivas del desarrollo. Entre los archivos principales se encuentran *coalition.cc* y *coalition.h* que son los desarrollos que contienen el algoritmo de teoría de juego de coaliciones encargado de la decisión de uso del espectro, especificado en el Capítulo 2 y en el Anexo B. La Tabla 3.2 lista todos los archivos del módulo LTE.

Tabla 3.2: Archivos en Módulo *LTE*

Archivos
<code>/home/pablo/ns-allinone-3.23/ns-3.23/src/lte/model/a2-a4-rsrq-handover-algorithm.cc</code>
<code>/home/pablo/ns-allinone-3.23/ns-3.23/src/lte/model/a2-a4-rsrq-handover-algorithm.h</code>
<code>/home/pablo/ns-allinone-3.23/ns-3.23/src/lte/model/a3-rsrp-handover-algorithm.cc</code>
<code>/home/pablo/ns-allinone-3.23/ns-3.23/src/lte/model/a3-rsrp-handover-algorithm.h</code>
<code>/home/pablo/ns-allinone-3.23/ns-3.23/src/lte/model/coalition.cc</code>
<code>/home/pablo/ns-allinone-3.23/ns-3.23/src/lte/model/coalition.h</code>
<code>/home/pablo/ns-allinone-3.23/ns-3.23/src/lte/model/lte-ffr-algorithm.cc</code>
<code>/home/pablo/ns-allinone-3.23/ns-3.23/src/lte/model/lte-ffr-algorithm.h</code>
<code>/home/pablo/ns-allinone-3.23/ns-3.23/src/lte/model/lte-ffr-rrc-sap.cc</code>
<code>/home/pablo/ns-allinone-3.23/ns-3.23/src/lte/model/lte-ffr-rrc-sap.h</code>
<code>/home/pablo/ns-allinone-3.23/ns-3.23/src/lte/model/lte-ffr-sap.cc</code>
<code>/home/pablo/ns-allinone-3.23/ns-3.23/src/lte/model/lte-ffr-sap.h</code>
<code>/home/pablo/ns-allinone-3.23/ns-3.23/src/lte/model/lte-ffr-soft-algorithm.cc</code>
<code>/home/pablo/ns-allinone-3.23/ns-3.23/src/lte/model/lte-ffr-soft-algorithm.h</code>
<code>/home/pablo/ns-allinone-3.23/ns-3.23/src/lte/model/lte-fr-hard-algorithm.cc</code>
<code>/home/pablo/ns-allinone-3.23/ns-3.23/src/lte/model/lte-fr-hard-algorithm.h</code>
<code>/home/pablo/ns-allinone-3.23/ns-3.23/src/lte/model/lte-fr-soft-algorithm.cc</code>
<code>/home/pablo/ns-allinone-3.23/ns-3.23/src/lte/model/lte-fr-soft-algorithm.h</code>
<code>/home/pablo/ns-allinone-3.23/ns-3.23/src/lte/model/lte-fr-strict-algorithm.cc</code>
<code>/home/pablo/ns-allinone-3.23/ns-3.23/src/lte/model/lte-fr-strict-algorithm.h</code>
<code>/home/pablo/ns-allinone-3.23/ns-3.23/src/lte/model/lte-handover-algorithm.cc</code>
<code>/home/pablo/ns-allinone-3.23/ns-3.23/src/lte/model/lte-handover-algorithm.h</code>

3.3. Módulo *WiFi*

Contiene todos los parámetros principales de la tecnología WiFi, adaptada a las funciones cognitivas del desarrollo, listados en la Tabla 3.3.

Tabla 3.3: Archivos en Módulo WiFi

Archivos
/home/pablo/ns-allinone-3.23/ns-3.23/src/wifi/model/aarfcd-wifi-manager.cc
/home/pablo/ns-allinone-3.23/ns-3.23/src/wifi/model/aarfcd-wifi-manager.h
/home/pablo/ns-allinone-3.23/ns-3.23/src/wifi/model/ap-wifi-mac.cc
/home/pablo/ns-allinone-3.23/ns-3.23/src/wifi/model/ap-wifi-mac.h
/home/pablo/ns-allinone-3.23/ns-3.23/src/wifi/model/arf-wifi-manager.cc
/home/pablo/ns-allinone-3.23/ns-3.23/src/wifi/model/arf-wifi-manager.h
/home/pablo/ns-allinone-3.23/ns-3.23/src/wifi/model/ctrl-headers.cc
/home/pablo/ns-allinone-3.23/ns-3.23/src/wifi/model/ctrl-headers.h
/home/pablo/ns-allinone-3.23/ns-3.23/src/wifi/model/dcf-manager.cc
/home/pablo/ns-allinone-3.23/ns-3.23/src/wifi/model/dcf-manager.h
/home/pablo/ns-allinone-3.23/ns-3.23/src/wifi/model/interference-helper.cc
/home/pablo/ns-allinone-3.23/ns-3.23/src/wifi/model/interference-helper.h
/home/pablo/ns-allinone-3.23/ns-3.23/src/wifi/model/snr-tag.cc
/home/pablo/ns-allinone-3.23/ns-3.23/src/wifi/model/snr-tag.h
/home/pablo/ns-allinone-3.23/ns-3.23/src/wifi/model/ssid.cc
/home/pablo/ns-allinone-3.23/ns-3.23/src/wifi/model/ssid.h
/home/pablo/ns-allinone-3.23/ns-3.23/src/wifi/model/wifi-channel.cc
/home/pablo/ns-allinone-3.23/ns-3.23/src/wifi/model/wifi-channel.h
/home/pablo/ns-allinone-3.23/ns-3.23/src/wifi/model/wifi-mac.cc
/home/pablo/ns-allinone-3.23/ns-3.23/src/wifi/model/wifi-mac.h
/home/pablo/ns-allinone-3.23/ns-3.23/src/wifi/model/wifi-net-device.cc
/home/pablo/ns-allinone-3.23/ns-3.23/src/wifi/model/wifi-net-device.h
/home/pablo/ns-allinone-3.23/ns-3.23/src/wifi/model/wifi-phy.cc
/home/pablo/ns-allinone-3.23/ns-3.23/src/wifi/model/wifi-phy.h
/home/pablo/ns-allinone-3.23/ns-3.23/src/wifi/model/wifi-remote-station-manager.cc
/home/pablo/ns-allinone-3.23/ns-3.23/src/wifi/model/wifi-remote-station-manager.h
/home/pablo/ns-allinone-3.23/ns-3.23/src/wifi/model/yans-wifi-channel.cc
/home/pablo/ns-allinone-3.23/ns-3.23/src/wifi/model/yans-wifi-channel.h
/home/pablo/ns-allinone-3.23/ns-3.23/src/wifi/model/yans-wifi-phy.cc
/home/pablo/ns-allinone-3.23/ns-3.23/src/wifi/model/yans-wifi-phy.h

3.4. Programa principal para generación de simulación *LTE – WIFI.CC*

Código principal donde se encuentran estructurados todos los parámetros técnicos básicos de la simulación detallados a continuación:

En esta sección del código se inicializa todos los parámetros básicos del escenario de simulación, los cuales pueden ser modificados directamente en este archivo (*LTE-WIFI.CC*), o en el archivo *Lte – Wifi.sh*. El código del archivo *LTE-WIFI.CC* es el siguiente:

```
1 /*
2  * Main Function
3  */
4 int main(int argc, char *argv[]) {
5     uint16_t numberOfDualNodes = 10; // Number of dual nodes
6     uint16_t numberOfEUL = 5; // Number of Primary User LTE
7     uint16_t numberOfCUL = 5; // Number of User CR LTE
8     uint16_t numberOfEUW = 5; // Number of Primary User WIFI
9     uint16_t numberOfCUW = 5; // Number of User CR WIFI
10
11     // The number of dual nodes will be 10
12     uint16_t numberOfeNBNodes = 1; // Number of eNB node for LTE
13     uint16_t numberOfapNodes = 1; // Number of AP node for WIFI
14     double simTime = 5; // Simulating Time
15     double distance = 200.0; // Distance between eNB and AP
16     double interPacketInterval = 100; // Interval time for sending
17     packet
18     int nodeSpeed = 100; // Speed of Nodes in m/s
19     int nodePause = 0; // Pause time in sec
20     uint8_t bandwidth = 25; // BandWidth of Network
21     uint8_t upBW = 25; // Uplink BandWidth
22     uint8_t downBW = 25; // Downlink BandWidth
23     bool generateSpectrumTrace = false;
24     double eNBX, eNBY, eNBZ; // position of eNB node for LTE
25     double ApX, ApY, ApZ; // position of AP node for WIFI
26     eNBX = eNBY = eNBZ = 100.0;
27     ApX = ApY = ApZ = 100.0;
28
29     double tx = 0.37; // transmisstion data power
30     double rx = 0.6; // received data power
31     double noise = 1e-15; // Noise is the -120dBm
32     string trafficName, traffic;
33
34     uint32_t wifiFrequency = 2.4;
35     uint32_t lteFrequency = 100;
36     double ApRange = 250.0;
37     double EnbRange = 500.0;
38     time_t startTd, endTd;
```

```

39 int numberOfSample = 16000;
40
41 char dtbuf[256] = { 0 };
42 FILE* timeFp = fopen("simulating-time.txt", "a+");
43 time(&startTd);
44     strftime(dtbuf, sizeof dtbuf, "%A %b %d %H:%M:%S %Y",
45             localtime(&startTd));
46 fprintf(timeFp, "StartTime: %s\n", dtbuf);
47 SeedManager::SetSeed((unsigned int)time(NULL));

```

En esta sección del código se da la opción de configuración de estos parámetros en un script para llamado inmediato del programa, que será el *Lte – Wifi.sh*.

```

1 // Command line arguments
2 CommandLine cmd;
3 cmd.AddValue("ENB", "Number of ENB", numberOfENBNodes);
4 cmd.AddValue("UserCrWifi", "Number of UserCrWifi", numberOfCUW);
5 cmd.AddValue("UserCrLte", "Number of UserCrLte", numberOfCUL);
6 cmd.AddValue("DualUserCr", "Number of DualUserCr",
7             numberOfDualNodes);
8 cmd.AddValue("PrimaryUserWifi", "Number of PrimaryUserWifi",
9             numberOfEUW);
10 cmd.AddValue("PrimaryUserLte", "Number of PrimaryUserLte",
11             numberOfEUL);
12
13 cmd.AddValue("simTime", "Total duration of the simulation [s]",
14             simTime);
15 cmd.AddValue("NumberOfSample", "Number of the sample for SVD
16             Matrix)", numberOfSample);
17 cmd.AddValue("trafficName", "Traffic Name of Network (TCP or
18             UDP)", traffic);
19 cmd.AddValue("eNBX", "X position of eNB node", eNBX);
20 cmd.AddValue("eNBZ", "Y position of eNB node", eNBZ);
21 cmd.AddValue("eNBZ", "Z position of eNB node", eNBZ);
22 cmd.AddValue("LteUpBandWidth", "Upload bandwidth in LTE", upBW);
23 cmd.AddValue("LteDownBandWidth", "Download bandwidth in LTE",
24             downBW);
25
26 cmd.AddValue("ApX", "X position of AP node", ApX);
27 cmd.AddValue("ApY", "Y position of AP node", ApY);
28 cmd.AddValue("ApZ", "Z position of AP node", ApZ);
29 cmd.AddValue("WifiBandWidth", "BandWidth in WIFI", bandwidth);
30
31 cmd.AddValue("TX", "Transmission data power", tx);
32 cmd.AddValue("RX", "Received data power", rx);
33 cmd.AddValue("Noise", "Noise of Network", noise);

```

```

27
28 cmd.AddValue("WifiFrequency", "Wifi Frequency (GHz)",
    wifiFrequency);
29 cmd.AddValue("LteFrequency", "Lte Frequency (MHz)", lteFrequency);
30 cmd.AddValue("ApRange", "Ap cover area (m)", ApRange);
31 cmd.AddValue("EnbRange", "Enb cover area (m)", EnbRange);
32
33 cmd.Parse(argc, argv);
34 trafficName = "udp";

```

En las siguientes secciones del código principal se inicializan y configuran capa por capa los parámetros técnicos básicos de los nodos y usuarios WiFi y LTE. Todo esto se encuentra en el Anexo C

3.5. Script para inicialización de parámetros *Lte-Wifi.sh*

Este script permite modificar los parámetros técnicos básicos de simulación según lo mencionado en el Anexo A. Además para iniciar la simulación en el terminal se debe ejecutar este script, como se indica en el Anexo B. En esta sección del código se da la opción de configuración de estos parámetros en un script para llamado inmediato del programa, que será el *Lte - Wifi.sh*.

```

1 #!/bin/bash
2 #-----#
3 #       Run the LTE-WIFI project using this Script
4 # NOTE:
5 # Please set all parameters correctly!
6 #-----#
7 rm -f *.txt
8 ./waf --run "LTE-WIFI --ENB=3 --UserCrLte=5 --UserCrWifi=5
    --DualUserCr=10 --PrimaryUserLte=5 --PrimaryUserWifi=5
    --simTime=1800 --NumberOfSample=16000 --trafficName=tcp
    --LteFrequency=729 --WifiFrequency=2.4 --LteUpBandWidth=20.0
    --LteDownBandWidth=20.0 --WifiBandWidth=20.0 --TX=0.037 --RX=0.06
    --Noise=-15 --ApX=100.0 --ApY=200.0 --ApZ=0.0 --eNBX=100.0
    --eNBZ=100.0 --ApRange=200 --EnbRange=350"

```

La Tabla 3.4 muestra los parámetros técnicos que pueden ser cambiados con sus respectivos rangos permitidos por el desarrollo y por NS-3, de acuerdo al Anexo A:

Tabla 3.4: Tabla con umbrales de parámetros modificables en el desarrollo

Parámetros	Mínimo	Máximo
Frecuencia LTE	729 <i>Mhz</i>	2170 <i>Mhz</i>
Frecuencia WiFi	2400 <i>Mhz</i>	5875 <i>Mhz</i>
Celdas eNB	1	3
Ancho de Banda LTE	10 <i>Mhz</i>	60 <i>Mhz</i>
Ancho de Banda WiFi	20 <i>Mhz</i>	150 <i>Mhz</i>
Ruido	0 <i>dBm</i>	-250 <i>dBm</i>
Potencia de transmisión	0.0025 <i>mW</i>	1.27 <i>mW</i>
Potencia de recepción	0.0025 <i>mW</i>	1.27 <i>mW</i>
SU LTE	0	100
SU WiFi	0	100
SU duales	0	100
PU LTE	0	100
PU WiFi	0	100
Muestras para detección	1000	30000
Rango de Cobertura AP	200 <i>m</i>	500 <i>m</i>
Rango de Cobertura eNB	350 <i>m</i>	5000 <i>m</i>
Tiempo de simulación	0	120 <i>horas</i>

3.6. Salidas del simulador CR

3.6.1. Archivos de salida de la tecnología LTE

Todos los datos sobre la tecnología LTE que resultan de la simulación se encuentran en la siguiente tabla (Tabla 3.5):

Tabla 3.5: Archivos de salida de la tecnología LTE

Archivos
/home/ns-allinone-3.23/ns-3.23/DIPdcpStats.txt
/home/ns-allinone-3.23/ns-3.23/DIRlcStats.txt
/home/ns-allinone-3.23/ns-3.23/DIRsrpSinrStats.txt
/home/ns-allinone-3.23/ns-3.23/DIRxPhyStats.txt
/home/ns-allinone-3.23/ns-3.23/DIPdcpStats.txt
/home/ns-allinone-3.23/ns-3.23/DIPdcpStats.txt
/home/ns-allinone-3.23/ns-3.23/DITxPhyStats.txt
/home/ns-allinone-3.23/ns-3.23/UIPdcpStats.txt
/home/ns-allinone-3.23/ns-3.23/UIRlcStats.txt
/home/ns-allinone-3.23/ns-3.23/UIRsrpSinrStats.txt
/home/ns-allinone-3.23/ns-3.23/UIRxPhyStats.txt
/home/ns-allinone-3.23/ns-3.23/UITxPhyStats.txt

3.6.2. Archivos de promedios de datos ip para la tecnología WiFi

Los datos promedios de Jitter, Packet loss, Delay y Througput de la tecnología WiFi se encuentran en el archivo */home/ns-allinone-3.23/ns-3.23/wifi-network-perf.txt*

Throughput (kbps): 30.376

DelayTime (sec): 0.019

JitterTime (sec): 0.003

PacketLoss: 52.357

3.6.3. Archivo con datos de la etapa de detección con el método SVD

Los datos resultantes de la etapa de detección mediante el algoritmo SVD, según el tipo de SU se encuentran en el archivo */home/ns-allinone-3.23/ns-3.23/svd-result.txt*, que tiene la estructura mostrada en la siguiente tabla (Tabla 3.6):

Tabla 3.6: Estructura del archivo de salida de la etapa de detección

Tiempo	Tipo de usuario	Detección (0 no detecto, 1 detecto)	Usuario primario

3.6.4. Archivo con datos de la etapa de decisión con la teoría de juego de coaliciones

Los datos resultantes de la etapa de detección mediante el algoritmo de la teoría de juego de coaliciones se encuentra en el archivo */home/ns-allinone-3.23/ns-3.23/coalition-result.txt*, que tiene la estructura mostrada en la siguiente tabla (Tabla 3.7):

Tabla 3.7: Estructura del archivo de salida de la etapa de detección

Tiempo	Coalición	Cabeza de coalición	Decisión de detección de la coalición	Tecnología
--------	-----------	---------------------	---------------------------------------	------------

3.6.5. Archivo con datos de las etapas de compartición y movilidad con handoff

Los datos resultantes de las etapas de compartición y movilidad mediante el handoff entre tecnología LTE y WiFi o viceversa se encuentran en el archivo */home/ns-allinone-3.23/ns-3.23/handoff-result.txt*, que tiene la estructura mostrada en la siguiente tabla (Tabla 3.8):

Tabla 3.8: Estructura del archivo de salida de la etapa de compartición y movilidad

Tiempo	Usuario que realiza el handoff	Coalición a la que pertenece	Desde, valor de RSSI	Hacia, valor de RSSI	Canal anterior	Canal actual
--------	--------------------------------	------------------------------	----------------------	----------------------	----------------	--------------

3.6.6. Interacción de los módulos desarrollados en NS-3

Los módulos desarrollados en NS-3 interactúan entre si en un entorno cognitivo, como se muestran en la Figura 3.1

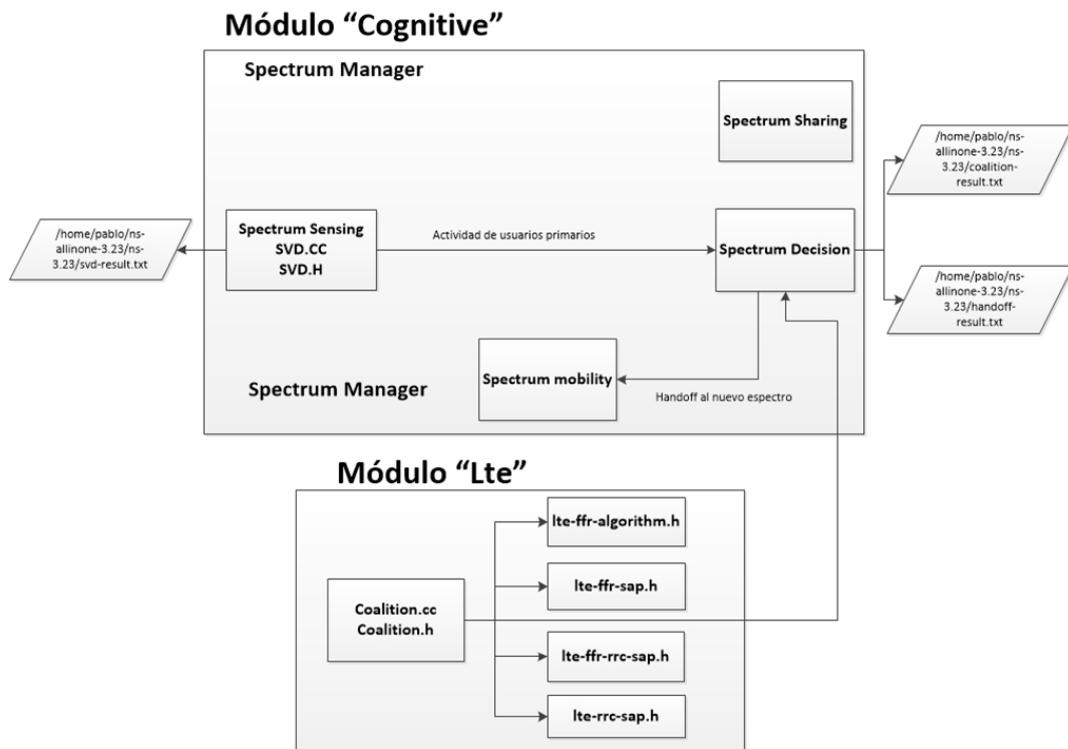


Figura 3.1: Diagrama de interacción los módulos desarrollados

Capítulo 4

Análisis de Datos y Resultados

En este capítulo se realiza inicialmente el diseño de los experimentos para la obtención de datos que permitirán realizar un análisis matemático y estadístico de los mismos y su posterior resultado, gracias al simulador CR desarrollado en el Capítulo 3. Debido a la gran extensión de tipos de experimentación que ofrece el simulador, se tuvo que acotar el análisis a una de las etapas de una red CR la etapa de detección, para poder cumplir con el Objetivo General planteado.

Para esto se sigue el siguiente flujo de trabajo (Figura 4.1), que será descrito en este Capítulo:

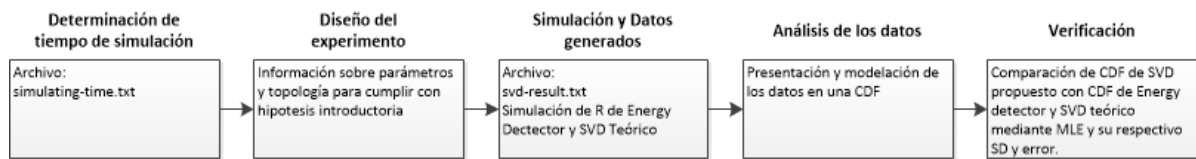


Figura 4.1: Diagrama de flujo para Análisis de datos

4.1. Determinación de tiempo de simulación

Antes de realizar los experimentos, debemos tomar en cuenta un factor importante para el simulador, que el tiempo de simulación no es el mismo que el tiempo real. Para este fin, se realizaron varias simulaciones con distintos tiempos de simulación, manteniendo los parámetros técnicos básicos sin modificar los cuales se indican en la Tabla 4.1, para poder observar el comportamiento del tiempo real [41].

Tabla 4.1: Valores fijos para determinación de tiempo de simulación

Parámetros	Valor
Frecuencia LTE	<i>729 Mhz</i>
Frecuencia WiFi	<i>2400 Mhz</i>
Celdas eNB	3
Ancho de Banda LTE	<i>20 Mhz</i>
Ancho de Banda WiFi	<i>20 Mhz</i>
Ruido	<i>-15 dBm</i>
Potencia de transmisión	<i>0.037 mW</i>
Potencia de recepción	<i>0.06 mW</i>
SU LTE	5
SU WiFi	5
SU duales	10
PU LTE	5
PU WiFi	5
Muestras para detección	16000
Rango de Cobertura AP	<i>200 m</i>
Rango de Cobertura eNB	<i>350 m</i>
Tipo de tráfico	TCP
Tiempo de simulación	Variable

Los valores de potencias, anchos de banda, ruido y frecuencias fueron elegidos para hacer la simulación del modelo más real porque estos son valores típicos de despliegue comercial. Teniendo estos parámetros configurados, se obtuvieron los siguientes resultados en cuanto a tiempos reales (Tabla 4.2):

Tabla 4.2: Tiempos de simulación vs Tiempos reales

Tiempo de simulación (seg)	Tiempo real (min)
5	2.25
10	5.98
15	10.40
30	16.78
60	34.80
90	53.88
180	130.82
300	225.92
450	382.77
600	429.09
900	732.23
1800	1639.28

Observamos el comportamiento lineal y creciente del tiempo real vs tiempo de simulación:

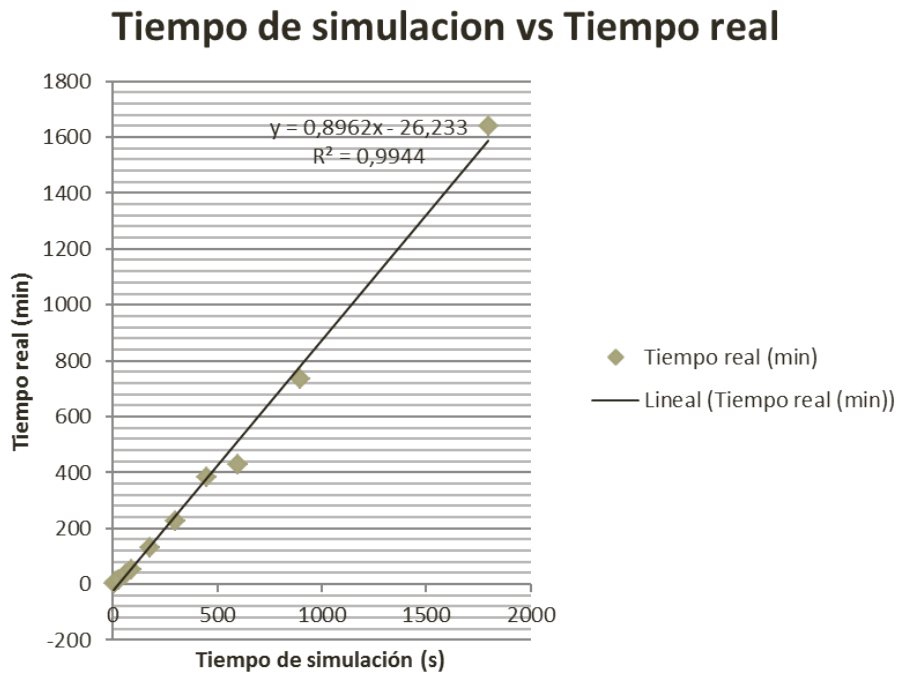


Figura 4.2: Tiempo de simulación vs Tiempo real

Para efectos de la experimentación y para hacer las simulaciones mas reales posibles, se determinó que un tiempo de 1200 seg (20 minutos), será el tiempo a usar para las pruebas,

debido a que es el tiempo promedio estimado de un usuario que se encuentra en uso de una red ya sea esta WiFi O LTE [42].

4.2. Diseño del experimento

Para cumplir con la hipótesis propuesta y conociendo que se encuentra implementado el algoritmo de detección SVD, se diseñó una simulación en una red mixta CR basada en LTE y WiFi. El experimento esta basado en una topología de red mostrada en la Figura 4.3, cabe resaltar que esta topología presentada sólo se muestra como un ejemplo ya que la posición y el movimiento de los UE es dinámico y aleatorio durante todo el tiempo de simulación.

El experimento consta de las siguientes características:

1. Modelos de propagación y movilidad utilizados y que son proporcionados por NS-3 y permiten el movimiento dinámico y aleatorio de los UE [39].
2. Los nodos incluidos en la topología propuesta son PU WiFi y PU LTE sin capacidad cognitiva (UE primarios).
3. Se utilizan dos tipos de SU; Los que tienen capacidad cognitiva sólo para una tecnología específica (PU WiFi y PU LTE), y capacidad cognitiva para ambas tecnologías (SU dual).
4. La frecuencia central de LTE se ha fijado a 729MHz, mientras que la frecuencia central de WiFi se ha fijado a 2400MHz.
5. El ancho de banda utilizado para ambas tecnologías es igual a 20MHz. Tanto los valores de frecuencia como el de ancho de banda fueron elegidos para hacer la simulación del modelo más real porque estos son valores típicos de despliegue comercial.
6. El número de PU WiFi, PU LTE, PU WiFi y PU LTE se ha establecido en 5, respectivamente, mientras que el número de SU duales se ha establecido en 10.
7. El intervalo de cobertura del punto AP se ha establecido en 200m, mientras que el rango de cobertura del eNB se ha establecido igual a 350m. Esto se hizo para generar interferencia entre las tecnologías evaluadas en la simulación.
8. La variable a tomar en consideración será SNR.
9. Todos los parámetros utilizados en la simulación se muestran en la Tabla 4.3, y pueden ser variados en trabajos futuros.

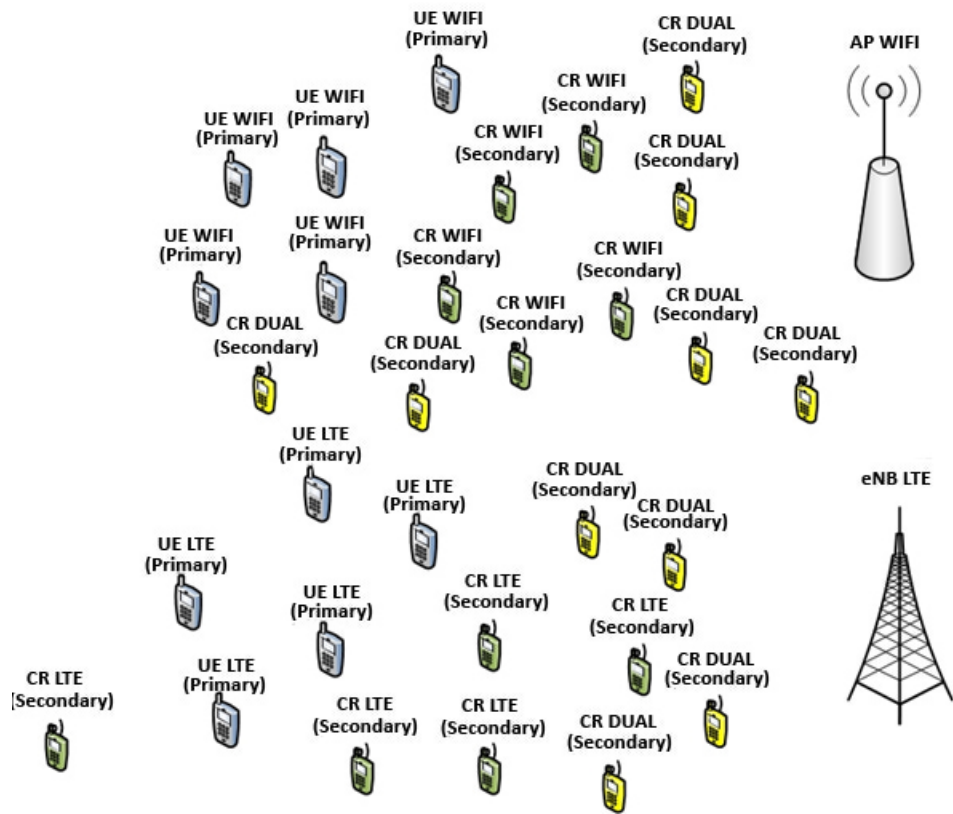


Figura 4.3: Topología de red propuesta para simulación

Tabla 4.3: Parámetros del sistema para simulación

Parámetros	Valor
Frecuencia LTE	<i>729 Mhz</i>
Frecuencia WiFi	<i>2400 Mhz</i>
Celdas eNB	3
Ancho de Banda LTE	<i>20 Mhz</i>
Ancho de Banda WiFi	<i>20 Mhz</i>
Ruido	Variable
Potencia de transmisión	<i>0.037 mW</i>
Potencia de recepción	<i>0.06 mW</i>
SU LTE	5
SU WiFi	5
SU duales	10
PU LTE	5
PU WiFi	5
Muestras para detección	16000
Rango de Cobertura AP	<i>200 m</i>
Rango de Cobertura eNB	<i>350 m</i>
Tipo de tráfico	TCP
Tiempo de simulación	1200 s
Modelo de Movilidad	Random Waypoint
Modelo de Propagación	Range Propagation Loss

4.3. Simulación y Datos generados

Para conocer el número de simulaciones que se deben realizar, tomando en cuenta factores como número de muestras en cada simulación, recursos computacionales y confiabilidad de los datos generados por las simulaciones, se generaron simulaciones con las siguientes características:

1. Las variables de consideración en las simulaciones son la Probabilidad de detección (P_d) en función del SNR, escogidas para poder ser comparadas con otros métodos de detección que están en función de estos parámetros.
2. La variación del SNR esta dada en pasos de 5 dB, entre -25 dB y 25 dB para una mejor visualización de la escala logarítmica.
3. El número de simulaciones se lo definió usando el método de Monte Carlo, con 21 iteraciones para cada valor de SNR, esto es para tener estimaciones confiables de las

distribuciones de los estadísticos de interés de los datos generados [43] [44].

4. Se usaron los parámetros de la Tabla 4.3, teniendo como resultados de la simulación, el archivo de datos generados `/home/ns-allinone-3.23/ns-3.23/svd-result.txt` que se usará para el análisis posterior.
5. El parámetro Probabilidad de detección (P_d) de cada simulación se obtuvo dividiendo todas las muestras de cada simulación donde la detección fue 1 (detecto), para el número total de muestras.
6. A su vez el parámetro Probabilidad de detección (P_d) para cada valor de SNR especificado se obtuvo dividiendo la suma de todas las Probabilidades de detección (P_d) de cada simulación para el número de simulaciones realizadas (21), obteniendo la Tabla 4.4:

Tabla 4.4: Probabilidad de detección P_d vs SNR para método SVD propuesto

P_d	SNR
0.130483	-25 dB
0.209077	-20 dB
0.311604	-15 dB
0.418972	-10 dB
0.539313	-5 dB
0.652746	0 dB
0.761855	5 dB
0.815718	10 dB
0.851838	15 dB
0.856569	20 dB
0.913090	25 dB

7. Para poder realizar la comparación de eficiencia en términos de Probabilidad de detección del método propuesto, basada en los datos obtenidos en la simulación, se tuvo que realizar además simulaciones en el software estadístico R [45], de los métodos de detección SVD teórico usando la señal Raised Cosine [46] y el método Energy detection [47], con la configuración de parámetros semejante a las simulaciones en NS-3 para que resulten comparables, obteniendo la siguiente tabla (Tabla 4.5):

Tabla 4.5: Probabilidad de detección P_d vs SNR para método SVD Teórico y método Energy Detection

SVD	Teórico	Energy	Detection
P_d	SNR	P_d	SNR
0.108472	-25 dB	0.000012	-25 dB
0.141566	-20 dB	0.000034	-20 dB
0.146318	-15 dB	0.000125	-15 dB
0.208328	-10 dB	0.000689	-10 dB
0.429086	-5 dB	0.008365	-5 dB
0.540720	0 dB	0.467326	0 dB
0.663368	5 dB	0.983251	5 dB
0.731325	10 dB	0.996968	10 dB
0.889684	15 dB	0.998972	15 dB
0.918901	20 dB	0.999535	20 dB
0.995247	25 dB	0.999752	25 dB

4.4. Análisis de los datos

Una vez realizada las simulaciones y obtenido los datos, se procede a realizar el análisis de los mismos, mediante el siguiente procedimiento:

1. Para el análisis de los datos y construcción del modelo del método propuesto se usa el parámetro Probabilidad de detección (P_d) para cada valor de SNR especificado.
2. La probabilidad de detección (P_d) vs SNR se presenta como una Cumulative Distribution Function (CDF) [48] tanto para el método SVD propuesto como para los métodos de comparación SVD teórico y Energy detector, como se muestra en las Figuras 4.4, 4.5 y 4.6.

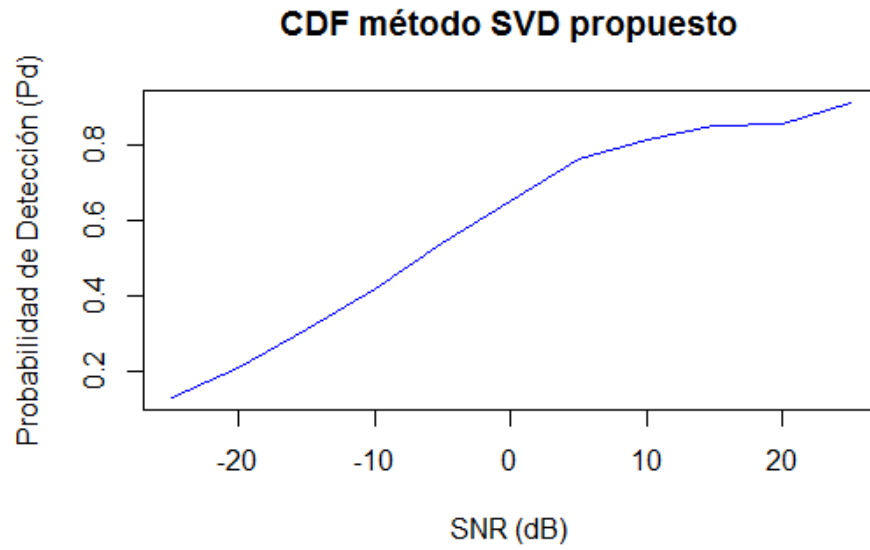


Figura 4.4: CDF para el método SVD propuesto

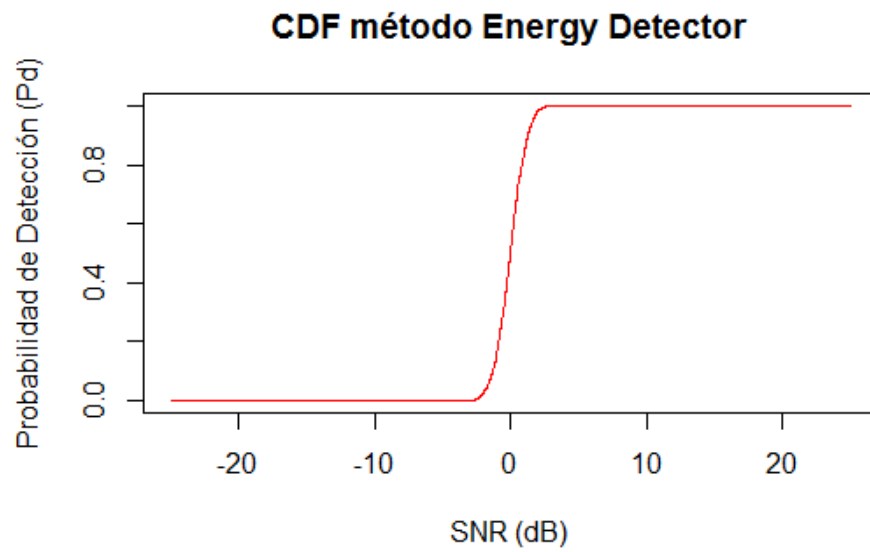


Figura 4.5: CDF para el método Energy Detector

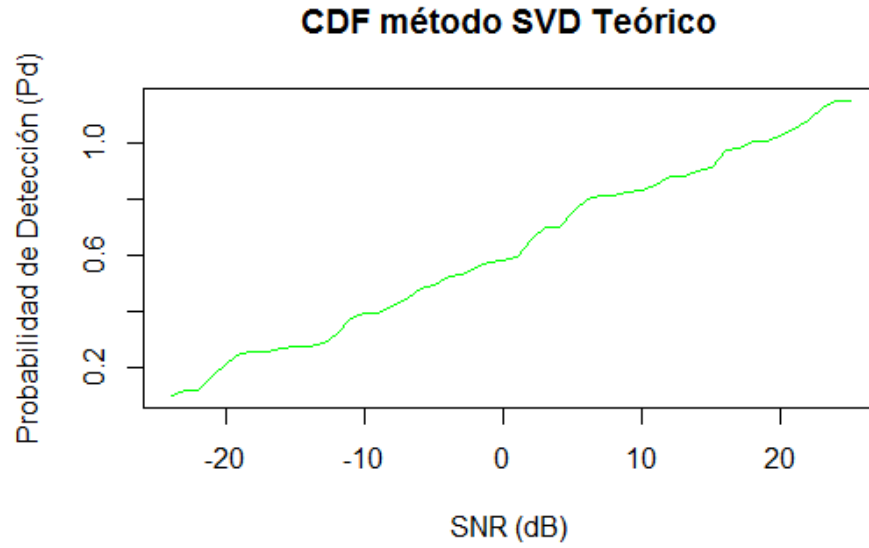


Figura 4.6: CDF para el método SVD teórico

- Para el análisis visual de los modelos se optó por colocarlos en un mismo gráfico, como se observa en la Figura 4.7

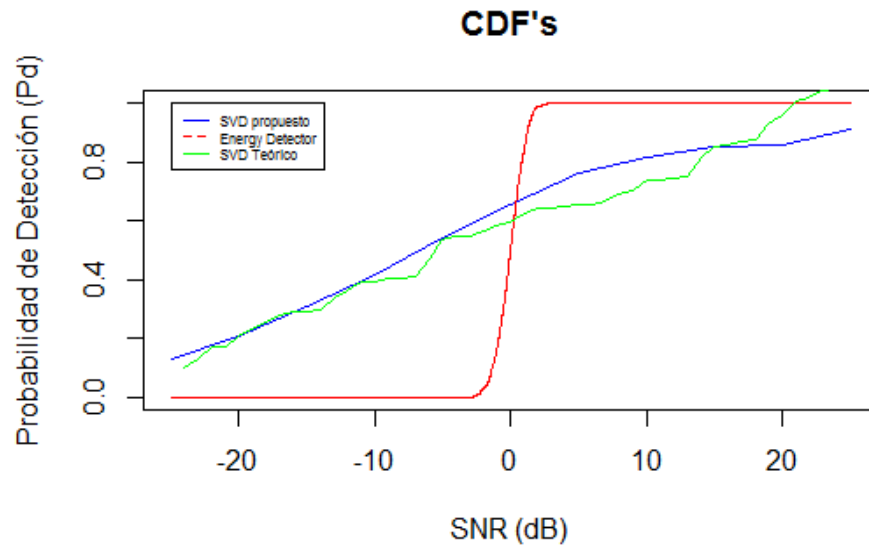


Figura 4.7: CDF de los tres métodos

4.5. Verificación

Para verificar la eficiencia del método de detección SVD propuesto, y una vez obtenido los datos y modelos de la Tabla 4.4 y Figura 4.4, es necesario usar un método estadístico confiable que permita validar dichos resultados al ser comparados con el método SVD teórico y el de Energy Detection, para lo cual se utilizó el Maximum Likelihood Estimation (MLE) derivada en [20], aplicado en un código desarrollado en el software R [45].

El MLE estima los parámetros de un determinado modelo probabilístico, en este caso los modelos de los métodos de detección obtenidos experimentalmente, permitiendo realizar una comparación estadística.

Cabe resaltar que se incluye el Error Estándar y la Desviación Estándar de los parámetros MLE debido a que un modelo de datos está incompleto si no se indica el error asociado a los valores del mismo y no se podría estimar el rango de validez del modelo presentado, por tal motivo la importancia de su inclusión [22]. Los resultados obtenidos se muestran en la Tabla 4.6:

Tabla 4.6: MLE de los métodos de detección

	MLE	Std Error	SD
SVD propuesto	0.587388	0.08495629	0.2817681
SVD Teórico	0.524820	0.1020092	0.3383261
Energy Detector	0.495913	0.1498638	0.4970421

En consecuencia, el sistema evaluado supera los métodos teóricos con los cuales es comparado.

4.6. Pruebas para generalización de modelo obtenido

Antes de realizar los experimentos para obtener los datos que nos permitirán cumplir el objetivo de verificación de eficiencia del método SVD, fue necesario realizar pruebas para observar el comportamiento de los datos variando un parámetro importante: el número de usuarios.

Presentando una pequeña hipótesis: *“Sí al variar el número de PU y SU de las simulaciones, con los demás parámetros fijos, excepto el Ruido, los datos obtenidos deben mantener su tendencia y no tener demasiadas diferencias para poder generalizar el modelo”*

Estas pruebas presentaron las siguientes características:

1. Los parámetros usados para las pruebas se especifican en la Tabla 4.7.

Tabla 4.7: Parámetros del sistema para pruebas previas

Parámetros	Valor
Frecuencia LTE	729 <i>Mhz</i>
Frecuencia WiFi	2400 <i>Mhz</i>
Celdas eNB	3
Ancho de Banda LTE	20 <i>Mhz</i>
Ancho de Banda WiFi	20 <i>Mhz</i>
Ruido	Variable
Potencia de transmisión	0.037 <i>mW</i>
Potencia de recepción	0.06 <i>mW</i>
SU LTE	Variable
SU WiFi	Variable
SU duales	Variable
PU LTE	Variable
PU WiFi	Variable
Muestras para detección	16000
Rango de Cobertura AP	200 <i>m</i>
Rango de Cobertura eNB	350 <i>m</i>
Tipo de tráfico	TCP
Tiempo de simulación	1200 s
Modelo de Movilidad	Random Waypoint
Modelo de Propagación	Range Propagation Loss

2. Por los recursos computacionales necesarios para este tipo de simulaciones y al ser este una limitante en la pruebas, se varió el número de SU y PU en pasos de 5 en 5 en el rango de 5 usuarios a 30 usuarios para cada tipo de usuario.
3. Las variables de consideración en las simulaciones son la Probabilidad de detección (P_d) en función del SNR, que también se usarán en los experimentos del siguiente capítulo.
4. La variación del SNR esta dada en pasos de 5 dB, entre -25 dB y 25 dB la misma que se usará también en el siguiente capítulo.
5. El número de simulaciones se lo definió en 21 para cada valor de SNR con determinado número de usuarios.
6. El parámetro Probabilidad de detección (P_d) para cada valor de SNR con determinado número de usuarios, se obtuvo dividiendo la suma de todas las Probabilidades de detección (P_d) de cada simulación para el número de simulaciones realizadas (21), obteniendo las siguientes tablas (Tabla 4.8, 4.9 y 4.10) :

Tabla 4.8: Probabilidad de detección P_d vs SNR para 15 SU, 10 PU y Probabilidad de detección P_d vs SNR para 30 SU, 20 PU

15 SU	10 PU	30 SU	20 PU
P_d	SNR	P_d	SNR
0.130543	-25 dB	0.130034	-25 dB
0.209341	-20 dB	0.204569	-20 dB
0.312341	-15 dB	0.310012	-15 dB
0.419452	-10 dB	0.415674	-10 dB
0.539654	-5 dB	0.536759	-5 dB
0.652865	0 dB	0.651954	0 dB
0.761345	5 dB	0.760034	5 dB
0.813429	10 dB	0.811563	10 dB
0.852345	15 dB	0.850214	15 dB
0.857658	20 dB	0.853462	20 dB
0.914567	25 dB	0.911043	25 dB

Tabla 4.9: Probabilidad de detección P_d vs SNR para 45 SU, 30 PU y Probabilidad de detección P_d vs SNR para 60 SU, 40 PU

45 SU	30 PU	60 SU	40 PU
P_d	SNR	P_d	SNR
0.130021	-25 dB	0.129994	-25 dB
0.201245	-20 dB	0.200010	-20 dB
0.310009	-15 dB	0.309934	-15 dB
0.412349	-10 dB	0.409954	-10 dB
0.531268	-5 dB	0.534593	-5 dB
0.650011	0 dB	0.634569	0 dB
0.760008	5 dB	0.759965	5 dB
0.810101	10 dB	0.805643	10 dB
0.850021	15 dB	0.849956	15 dB
0.851576	20 dB	0.850043	20 dB
0.910023	25 dB	0.910045	25 dB

Tabla 4.10: Probabilidad de detección P_d vs SNR para 75 SU, 50 PU y Probabilidad de detección P_d vs SNR para 90 SU, 60 PU

75 SU	50 PU	90 SU	60 PU
P_d	SNR	P_d	SNR
0.129867	-25 dB	0.125687	-25 dB
0.205467	-20 dB	0.194356	-20 dB
0.310345	-15 dB	0.295648	-15 dB
0.415674	-10 dB	0.402143	-10 dB
0.536794	-5 dB	0.521395	-5 dB
0.650423	0 dB	0.632349	0 dB
0.760003	5 dB	0.713455	5 dB
0.814563	10 dB	0.795832	10 dB
0.850032	15 dB	0.845326	15 dB
0.852345	20 dB	0.849658	20 dB
0.911131	25 dB	0.902559	25 dB

7. Como se puede observar en las tablas de los datos obtenidos en las pruebas, la tendencia se mantiene, comprobando que la tasa de detección está determinado por el umbral calculado en el algoritmo SVD, por lo tanto, cambiando el número de usuarios no afecta a dicho algoritmo, es decir se puede generalizar el modelo.

Capítulo 5

Conclusiones

En el presente capítulo se realizan las respectivas conclusiones del trabajo por secciones para un mejor análisis. Se analiza el cumplimiento de los objetivos del trabajo. Además se hace un análisis general y concluyente del desarrollo implementado y los datos obtenidos para los modelos estructurados. Se presentan recomendaciones y trabajos futuros, ya que la herramienta creada es un potente simulador que puede ser base de muchas otras investigaciones.

5.1. Objetivos

El objetivo principal del trabajo consiste en comprobar la eficiencia en el desempeño del método de detección Singular Value Decomposition (SVD) implementado en una red móvil CR en términos de Probabilidad de detección (P_d) vs SNR, comparado con los métodos de detección SVD teórico y Energy Detection teórico.

Se puede concluir en esta sección que el objetivo principal del trabajo es cumplido en su totalidad, desde el primer paso que es la implementación del método SVD en una red móvil LTE y WiFi basada en un desarrollo que consta de un simulador construido en NS-3 para la preparación del escenario de pruebas, en el cual incluye como entradas del simulador las métricas necesarias para mediciones y comparaciones como el SNR y como salidas de datos la Probabilidad de detección (P_d). Como segundo paso se implementó también en desarrollos basados en el software estadístico R, los métodos SVD teórico y Energy Detection teórico para poder completar el objetivo, luego con el análisis estadístico, se verificó la eficiencia de estos tres métodos.

Los objetivos específicos están relacionados con la metodología usada, por lo que cumplir el objetivo principal involucra satisfacer los objetivos específicos.

5.2. Metodología

La metodología descrita en el punto 4 de la Introducción, fue llevada de acuerdo a la planificación estructurada para este trabajo, la cual nos permitió el cumplimiento del objetivo principal. Como primer paso la investigación de los métodos y algoritmos necesarios para completar un sistema CR que cumpla con todas las etapas de su ciclo, en segundo lugar el desarrollo de un simulador donde los métodos y algoritmos escogidos en la etapa de investigación sean implementados en el software, en tercer lugar fueron desarrollados los escenarios de simulación adecuados para la verificación del método SVD propuesto y su respectiva comparación con los otros métodos de detección y en cuarto lugar el análisis de los datos obtenidos en la simulación mediante el método estadístico MLE, que permite concluir si el método investigado y adaptado al trabajo es más eficiente que los escogidos para su contraste.

5.3. Desarrollo e implementación

El desarrollo y la implementación esta involucrado directamente con parte de los objetivos específicos, en particular con el diseño del simulador CR de redes móviles, herramienta fundamental para la creación de los experimentos que permitieron obtener los datos necesarios. Las cuatro etapas de un sistema CR, detección, decisión, compartición y movilidad, fueron implementadas en los módulos *cognitive*, *wifi* y *lte* modificados, adaptados y compatibles con el software NS-3.

Dada la completa implementación del sistema CR en las tecnologías WiFi y LTE, este simulador se convierte en una potente herramienta no sólo para cumplir los objetivos del trabajo en cuanto a la etapa de detección, sino para pruebas en cualquier otra etapa del sistema, investigaciones posteriores en cuanto a rendimientos de la red, ya que nos permite variar los parámetros de entrada del simulador en rangos muy usados en las redes comerciales.

5.4. Análisis de datos y Resultados

De acuerdo al diseño de los experimentos realizados, los datos obtenidos y su análisis se puede concluir en las siguientes afirmaciones:

1. Para verificar la eficiencia de los métodos se utilizó los datos de las simulaciones con los parámetros adecuados, obteniendo modelos estadísticos CDF de los tres métodos de detección. Se utilizó el estimador estadístico MLE y sus respectivos errores asociados para estimar los parámetros de los modelos probabilísticos, y realizar las comparaciones entre sí de dichos modelos. Utilizando este estimador, los resultados obtenidos son los siguientes: $MLE(SVD \text{ propuesto}) = 0,587388$, $Std \text{ Error} (SVD \text{ propuesto}) = 0.08495629$, $SD (SVD \text{ propuesto}) = 0.2817681$, $MLE(SVD \text{ teórico}) = 0,524820$, $Std \text{ Error} (SVD \text{ teórico}) = 0.1020092$, $SD (SVD \text{ teórico}) = 0.3383261$ y $MLE (Energy \text{ detection teórico}) = 0,495913$, $Std \text{ Error} (Energy \text{ detection teórico}) = 0.1498638$, $SD (Energy \text{ detection teórico}) = 0.1498638$.

rico) = 0.4970421. En consecuencia, el sistema propuesto evaluado supera los métodos teóricos propuestos.

2. Se observó el comportamiento de los datos variando el número de usuarios PU y SU, factores importante y claves para medir en una red. De acuerdo a estas pruebas realizadas exclusivamente para poder generalizar el modelo y los resultados obtenidos, se pudo verificar que la tendencia del modelo probabilístico CDF del método de detección SVD propuesto se mantiene, concluyendo que la tasa de detección de PU por parte de los SU, está determinado por el umbral calculado y ajustado en el algoritmo SVD, por lo tanto, al variar el número de usuarios el modelo no es afectado drásticamente, es decir podemos generalizar el modelo.

5.5. Recomendaciones

Entre las recomendaciones principales para la comprensión y uso del trabajo y simulador se encuentran las siguientes:

1. Se recomienda leer los anexos, en especial el Anexo C antes de realizar alguna o prueba o simulación en el desarrollo creado.
2. Colocar todas las entradas de parámetros técnicos de manera correcta, entre los límites establecidos, para que no se produzcan problemas en las simulaciones y resultados.
3. Para experimentos que requieren de gran cantidad de parámetros de entrada, como mayor número de usuarios, incremento de número de muestras, es recomendable tener gran capacidad de procesamiento y equipos de computo a disposición, para acortar tiempos en la presentación de resultados.

5.6. Trabajos complementarios y futuros

Este trabajo fue base para la elaboración de un manuscrito científico (paper) de título *SVD Detection Analysis in Cognitive Mobile Radio Networks*, que será expuesto en Italia, Milan en el ICUFN 2017 Ninth International Conference on Ubiquitous and Future Networks 2017 (link del evento <http://icufn.org/>), del 4 al 7 de julio del 2017.

El desempeño del método SVD descrito en este trabajo puede mejorarse aumentando el número de muestras configuradas en los SU, teniendo esto en cuenta para futuros trabajos.

El simulador CR desarrollado en el presente trabajo, cumple con los principios básicos indispensables en un sistema CR, entregándonos resultados en cada una de las etapas CR, por lo tanto se pueden realizar análisis futuros y comparaciones con otros métodos en las etapas de decisión, compartición y movilidad, incluso nos permite proponer nuevos métodos en cada etapa CR para trabajos investigativos y doctorales.

Bibliografía

- [1] Y. Xiao and F. Hu, *Cognitive Radio Networks*. Auerbach Publications, 2008.
- [2] B. Wang, Y. Wu, and K. R. Liu, “Game theory for cognitive radio networks: An overview,” *Computer networks*, vol. 54, no. 14, pp. 2537–2561, 2010.
- [3] Z. Han, *Game Theory in Wireless and Communication Networks*. Cambridge University Press, 2011.
- [4] I. M. Kalil, “Cognitive radio the iee 802.22 standard,” *Integrated Communication Systems*, vol. 15, 2011.
- [5] A. K. Al-Ali, *Database-assisted end-to-end theoretical and simulation framework for cognitive radio networks*. PhD thesis, NORTHEASTERN UNIVERSITY, 2014.
- [6] J. H. Aguilar Rentería and A. Navarro Cadavid, “Radio cognitiva—estado del arte,” *Sistemas y Telemática*, vol. 9, no. 16, pp. 31–53, 2011.
- [7] D. B. Cabric, *Cognitive Radios: Systems Design Perspective*. PhD thesis, University of California, Berkeley, 2007.
- [8] E. Biglieri, A. J. Goldsmith, L. J. Greenstein, H. V. Poor, and N. B. Mandayam, *Principles of cognitive radio*. Cambridge University Press, 2013.
- [9] Z. Feng, Q. Zhang, and P. Zhang, *Cognitive Wireless Networks*. Springer International Publishing, 2015.
- [10] D. A. López, E. R. Trujillo, and O. E. Gualdrón, “Elementos fundamentales que componen la radio cognitiva y asignación de bandas espectrales,” *Información tecnológica*, vol. 26, no. 1, pp. 23–40, 2015.
- [11] S. Bhattacharjee, P. Das, S. Mandal, and B. Sardar, “Optimization of probability of false alarm and probability of detection in cognitive radio networks using ga,” in *2015 IEEE 2nd International Conference on Recent Trends in Information Systems (ReTIS)*, pp. 53–57, July 2015.
- [12] M. Welvaert and Y. Rosseel, “On the definition of signal-to-noise ratio and contrast-to-noise ratio for fmri data,” *PloS one*, vol. 8, no. 11, p. e77089, 2013.

- [13] J. Cheng and G. Shi, "Symbolic computation of snr for variational analysis of sigma-delta modulator," in *Design Automation Conference (ASP-DAC), 2014 19th Asia and South Pacific*, pp. 443–448, IEEE, 2014.
- [14] B. Cao, Q. Zhang, and J. W. Mark, *Cooperative Cognitive Radio Networking*. Springer-Verlag GmbH, 2016.
- [15] R. B. López and S. Montejó Sánchez, "La radio cognitiva y su impacto en el uso eficiente del espectro de radio," *Ingeniería Electrónica, Automática y Comunicaciones*, vol. 36, no. 1, pp. 42–55, 2015.
- [16] C. Hemández, L. Pedraza, I. Páez, and E. Rodríguez-Colina, "Análisis de la movilidad espectral en redes de radio cognitiva," *Información tecnológica*, vol. 26, no. 6, pp. 169–186, 2015.
- [17] J. Rodriguez, *Fundamentals of 5G Mobile Networks*. John Wiley & Sons Inc, 2015.
- [18] N. S. Foundation, "Cognitive radio cognitive network simulator." http://faculty.uml.edu/Tricia_Chigan/Research/CRCN_Simulator.htm. Visitado: 2016-05-15.
- [19] A. Al-Ali and K. Chowdhury, "Simulating dynamic spectrum access using ns-3 for wireless networks in smart environments," in *2014 Eleventh Annual IEEE International Conference on Sensing, Communication, and Networking Workshops (SECON Workshops)*, pp. 28–33, June 2014.
- [20] L. Held and D. Sabanés Bové, *Applied statistical inference*, vol. 10. Springer, 2014.
- [21] J. DeMeritt, "Maximum likelihood estimation (mle)." http://jdemeritt.weebly.com/uploads/2/2/7/7/22771764/mle_introduction1.pdf. Visitado el: 2017-01-20.
- [22] B. Efron and R. Tibshirani, "Bootstrap methods for standard errors, confidence intervals, and other measures of statistical accuracy," *Statistical science*, pp. 54–75, 1986.
- [23] N. Muchandi and R. Khanai, "Cognitive radio spectrum sensing: A survey," in *2016 International Conference on Electrical, Electronics, and Optimization Techniques (ICEEOT)*, pp. 3233–3237, Mar. 2016.
- [24] R. Abdelrassoul, E. Fathy, and M. S. Zaghloul, "Comparative study of spectrum sensing for cognitive radio system using energy detection over different channels," in *2016 World Symposium on Computer Applications & Research (WSCAR)*, pp. 32–35, Mar. 2016.
- [25] M. F. Fahim and M. S. Raean, "Svd detection for cognitive radio network based on average of maximum-minimum of the icdf," *International Journal of Advanced Computer Research*, vol. 2, Sep. 2012.
- [26] S. Xu, K. S. Kwak, and R. R. Rao, "Svd based wideband spectrum sensing and carrier aggregation for lte-advanced networks," in *2014 IEEE 25th Annual International Symposium on Personal, Indoor, and Mobile Radio Communication (PIMRC)*, pp. 1190–1194,

Sep. 2014.

- [27] Y. Zeng and Y. C. Liang, "Maximum-minimum eigenvalue detection for cognitive radio," in *2007 IEEE 18th International Symposium on Personal, Indoor and Mobile Radio Communications*, pp. 1–5, Sep. 2007.
- [28] W. Saad, Z. Han, M. Debbah, A. Hjørungnes, and T. Basar, "Coalitional games for distributed collaborative spectrum sensing in cognitive radio networks," in *IEEE INFOCOM 2009*, pp. 2114–2122, April 2009.
- [29] T. Wang, L. Song, Z. Han, and W. Saad, "Overlapping coalitional games for collaborative sensing in cognitive radio networks," in *2013 IEEE Wireless Communications and Networking Conference (WCNC)*, pp. 4118–4123, Apr. 2013.
- [30] Q. Ni, R. Zhu, Z. Wu, Y. Sun, L. Zhou, and B. Zhou, "Spectrum allocation based on game theory in cognitive radio networks.," *JNW*, vol. 8, no. 3, pp. 712–722, 2013.
- [31] P. Masek, M. Slabicki, J. Hosek, and K. Grochla, "Transmission power optimization in live 3gpp lte-a indoor deployment," in *2016 8th International Congress on Ultra Modern Telecommunications and Control Systems and Workshops (ICUMT)*, pp. 164–170, Oct 2016.
- [32] 3rd Generation Partnership Project, "Long term evolution overview.." <http://www.3gpp.org/technologies/keywords-acronyms/98-lte>. Visitado: 2016-09-12.
- [33] T. Lei, X. Wen, Z. Lu, W. Jing, B. Zhang, and G. Cao, "Handoff management scheme based on frame loss rate and rssi prediction for iee 802.11 networks," in *2016 International Symposium on Wireless Communication Systems (ISWCS)*, pp. 555–559, Sept 2016.
- [34] I. S. Association *et al.*, "Ieee 802.11TM-2012," *standards.ieee.org/about/get/802/802.11.html*. Visitado: 2016-09-13.
- [35] M. Gerasimenko, N. Himayat, S. p. Yeh, S. Talwar, S. Andreev, and Y. Koucheryavy, "Characterizing performance of load-aware network selection in multi-radio (wifi/lte) heterogeneous networks," in *2013 IEEE Globecom Workshops (GC Wkshps)*, pp. 397–402, Dec. 2013.
- [36] M. Nahas, M. Mjalled, Z. Zohbi, Z. Merhi, and M. Ghantous, "Enhancing lte - wifi interoperability using context aware criteria for handover decision," in *2013 25th International Conference on Microelectronics (ICM)*, pp. 1–4, Dec 2013.
- [37] R. Bassoli, H. Marques, J. Rodriguez, S. Vahid, and R. Tafazolli, "Network coding for vertical handoffs between lte and iee 802.11n: An energy perspective," in *European Wireless 2013; 19th European Wireless Conference*, pp. 1–5, April 2013.
- [38] A. L. Yusof, N. Ya'acob, and M. T. Ali, "Hysteresis margin for handover in long term evolution (lte) network," in *2013 International Conference on Computing, Management*

and *Telecommunications (ComManTel)*, pp. 426–430, Jan 2013.

- [39] *ns-3 Model Library, Release ns-3.23*, Aug. 2015.
- [40] A. Spillner, T. Linz, and H. Schaefer, *Software testing foundations: a study guide for the certified tester exam*. Rocky Nook, Inc., 2014.
- [41] S. Smith, D. R. Jefferson, P. D. Barnes, Jr., and S. Nikolaev, “Improving per processor memory use of ns-3 to enable large scale simulations,” in *Proceedings of the 2015 Workshop on Ns-3*, WNS3 ’15, (New York, NY, USA), pp. 60–66, ACM, 2015.
- [42] S. Deng, R. Netravali, A. Sivaraman, and H. Balakrishnan, “Wifi, lte, or both?: Measuring multi-homed wireless internet performance,” in *Proceedings of the 2014 Conference on Internet Measurement Conference*, IMC ’14, (New York, NY, USA), pp. 181–194, ACM, 2014.
- [43] I. C. Ramírez, C. J. Barrera, and J. C. Correa, “Efecto del tamaño de muestra y el número de réplicas bootstrap,” *Ingeniería y Competitividad*, vol. 15, no. 1, pp. 93–101, 2013.
- [44] U. M. Alfonso and M. V. Carla, *Modelado y simulación de eventos discretos*. Editorial UNED, 2013.
- [45] R. C. Team, “R: A language and environment for statistical computing.,” *Vienna: R Foundation for Statistical Computing.*, 2014.
- [46] S. S. Ali, C. Liu, and M. Jin, “Minimum eigenvalue detection for spectrum sensing in cognitive radio,” *International Journal of Electrical and Computer Engineering*, vol. 4, pp. 623–630, Aug. 2014.
- [47] R. Abdelrassoul, E. Fathy, and M. S. Zaghoul, “Comparative study of spectrum sensing for cognitive radio system using energy detection over different channels,” in *2016 World Symposium on Computer Applications & Research (WSCAR)*, pp. 32–35, Mar. 2016.
- [48] G. Zhao, W. Zhang, and S. Li, “Advanced sensing techniques for cognitive radio,” *SpringerBriefs in electrical and computer engineering* (, 2016.

Acrónimos

3GPP 3rd Generation Partnership Project.

AODV Ad hoc On-Demand Distance Vector.

AP Access Point.

ARP Address Resolution Protocol.

AWGN Additive White Gaussian Noise.

BER Bit error Rate.

CDF Cumulative Distribution Function.

CPE Customer Premises Equipment.

CR Cognitive Radio.

CRCN Cognitive Radio Cognitive Network Simulator.

DCF Distributed Coordination Function.

eNB E-UTRAN Node B.

FCC Federal Communications Commission.

LTE Long Term Evolution.

MAC Media Access Control.

MLE Maximum Likelihood Estimation.

MLME MAC Layer Management Entity.

NS-2 Network Simulator 2.

NS-3 Network Simulator 3.

PHY Physical Layer.

PU Primary Users.

QoS Quality of Service.

RMT Random Matrix Theory.

RSS Received Signal Strength.

RSSI Received Signal Strength Indication.

SAP Service Access Point.

SDR Software-Defined Radio.

SINR Signal to interference plus Noise Ratio.

SIR Signal to Interference Ratio.

SME Server Manager Entity.

SNR Signal to Noise Ratio.

SR Software Radio.

SSF Spectrum Sensing Function.

SU Secondary Users.

SVD Singular Value Decomposition.

UE User Equipment.

UHF Ultra High Frequency.

VHF Very High Frequency.

WiFi Wireless Fidelity.

WRAN Cognitive Radio Wireless Regional Area Network.

Anexos

A. Paper enviado y aceptado por el ICUFN 2017

1. **Título:** SVD Detection Analysis in Cognitive Mobile Radio Networks.
2. **Conferencia:** ICUFN The Ninth International Conference on Ubiquitous and Future Networks 2017
3. **Fecha y Lugar de la Conferencia:** Julio 4-Julio 7 del 2017. Milan, Italia.
4. **Fecha de submit:** 10 de febrero del 2017.
5. **Fecha de aceptación:** 22 de abril del 2017.
6. **Página web:** <http://icufn.org/>

SVD Detection Analysis in Cognitive Mobile Radio Networks

Pablo Palacios, Alberto Castro, Cesar Azurdia-Meza, Claudio Estevez
Department of Electrical Engineering
Universidad de Chile
Santiago, Chile
pablo.palacios@ug.uchile.cl, alberto.castro@uchile.cl,
{cazurdia, cestevez}@ing.uchile.cl

Abstract—In this work, the performance of the spectrum detection method known as singular value decomposition (SVD) is evaluated. The performance of the SVD detection method was analyzed in terms of probability of detection (P_d) versus signal-to-noise ratio (SNR) in a mixed LTE and WiFi cognitive radio network. The results were compared via numerical simulations with the theoretical SVD detection method and the theoretical energy detection method. The maximum likelihood estimation (MLE) statistical estimator was used to verify the efficiency of the evaluated techniques. The evaluated system outperformed the other methods in terms of P_d .

Keywords—Cognitive mobile radio networks, probability of detection (P_d), singular value decomposition (SVD), spectrum sensing.

I. INTRODUCTION

Cognitive radio has attracted plenty of studies in recent years because it helps to solve the under-utilization of frequency spectrum [1], [2]. In a cognitive radio system, users without spectrum license, called secondary users (SU), are allowed to use frequency bands not being used by primary users (PU), thus improving the spectrum efficiency [3].

Cognitive radio (CR) has drawn significant attention from academic and industrial communities to meet the ever-growing needs of spectrum resources and high data rate communication [4]. The main advantage offered by CR is efficiency in the use of the electromagnetic spectrum, since it allows optimum spectrum management through a four step process (cognitive cycle): spectrum detection, spectrum decision, and spectrum sharing and mobility [5]. Other characteristics that CR presents are the following: reconfiguration of operation parameters (frequency, power, among others) for the use of different access technologies, and the capacity of supporting larger bandwidths in heterogeneous networks [6]. Within the entire cognitive cycle, there are more challenges in the stages of detection and decision, being these areas of enormous importance for the whole process, and presenting the following difficulties: high hardware requirements difficulties in the detection of PU, and security issues on the network [7]. Under these parameters, the correct and effective detection of PU becomes a priority. Therefore, a number of methods have been proposed, including detection algorithms [8], energy detection schemes [9], Eigen-value based detection [10], singular value decomposition (SVD) detection [11], among others.

In detection methods based on maximum and minimum

eigenvalues [12], the decision threshold that determines the presence of the signal is derived from the theory of the random matrix (RMT) to determine the signal detection hypothesis. SVD detection is very similar to the eigenvalues decomposition method. However, SVD detection is more general since it can be applied to any type of matrix because it doesn't have to be a square matrix. Another efficient algorithm is the one proposed in [13], which provides an average of the maximum-minimum inverse cumulative distribution function (ICDF). Using a raised cosine (RC) test signal, and without having to know a priori information regarding the signal, the performance of the SVD signal detector is more efficient compared to other detection methods [13].

The main goal of this manuscript is to evaluate the performance of the SVD detection method applied to a cognitive mobile radio network, specifically in a mixed LTE and WiFi cognitive network via Network Simulator 3 (NS-3.23) modules [14]. This will validate the SVD detection method in a functional mobile network. The performance of the SVD detection method is analyzed in terms of probability of detection (P_d) versus signal-to-noise ratio (SNR) using numerical simulations and compared with the traditional theoretical energy detection method [12] and the SVD detection (RC signal) algorithm [13].

II. MATHEMATICAL MODEL OF THE IMPLEMENTED SVD DETECTION ALGORITHM

In this paper we evaluate spectrum sensing using the SVD detection technique in a cognitive mobile radio network, specifically implemented for LTE and WiFi, which are state-of-the-art technologies and basic techniques in heterogeneous networks [15]. First, select the value of N , L and k , such that $k < L < N - k$, where N is the number of samples to be taken by the receiver, L is defined as the 'smoothing factor' i.e. number of consecutive values covariance matrix of the received signal can take, and k is the number of singular values. Following the notation given in [13], consider $k = 2$ and $L = 16$. Then the matrix of covariances is given by the following expression

$$R(N) = \frac{1}{N} \sum_{L=16}^{16-1+N} \hat{x}(n)x^\dagger(n), \quad (1)$$

where $R(N)$ is the covariance matrix of the discrete signal $\hat{x}(n)$ received by the CR, and $x^\dagger(n)$ is the Hermitian of $\hat{x}(n)$. Then, we factorize the covariance matrix, i.e. apply the SVD

TABLE I. NORMALIZED DISTRIBUTION PROBABILITY

t	-3.9	-3.18	-2.78	-1.91	-1.27	-0.59	0.45	0.98
$F_1(t)$	0.01	0.05	0.10	0.30	0.50	0.70	0.90	0.95

Algorithm 1 Proposed SVD Detection Algorithm**Require:** k, L, N and $k < L < N - k$.**Ensure:** PU detection bit.

- 1: **while** communication is progress **do**
- 2: Setup $k = 2$ and $L = 16$
- 3: Obtain $CovMat = CreateMatrixCovariance(L)$
- 4: Factorize($CovMat$)
- 5: Obtain $Max = Maximum(CovMat)$ and $Min = Minimum(CovMat)$
- 6: Obtain $Threshold = CalculateThreshold()$
- 7: **if** ($Max/Min < Threshold$) **then**
- 8: **return** PU detection bit=1
- 9: **else**
- 10: **return** PU detection bit=0
- 11: **end if**
- 12: **end while**

method to obtain the singular values, obtaining the following expression [13]

$$R = U\Sigma V^t, \quad (2)$$

where $R(m \times n)$ is the covariance matrix, $U(m \times n)$ is the matrix of singular vectors of columns R , $\Sigma(m \times n)$ is the matrix of singular values, and $V^t(m \times n)$ is the matrix of singular vectors of rows R . Then, the maximum and minimum eigenvalues of the covariance matrix $R(N_s)$ are obtained, λ_{max} and λ_{min} , respectively. Next, we calculate the threshold value and compare it with the eigenvalues using the following expression [13]

$$\gamma = \frac{(\sqrt{N} + \sqrt{L})^2}{(\sqrt{N} - \sqrt{L})^2} * \left(1 + \left(\frac{(\sqrt{N} + \sqrt{L})^{-\frac{2}{3}}}{N * L^{\frac{1}{6}}}\right) * F_1^{-1}(1 - P_{fa})\right), \quad (3)$$

where P_{fa} is the probability of false alarm that is required to be equal or less than 0.1 ($P_{fa} \leq 0.1$). The expression $F_1^{-1}(1 - P_{fa})$ is the Tracy-Widom function, which is the normalized probability distribution for the eigenvalues described in Table I [16]. We compare the relation between the maximum and minimum eigenvalues of the covariance matrix with the threshold; therefore, if $\frac{\lambda_{max}}{\lambda_{min}} < \gamma$, the signal is present, otherwise the signal is absent. Finally we obtain the signal detection bit of the PU. The algorithm for the above approach is shown in Algorithm 1.

III. PERFORMANCE EVALUATION

We implemented the SVD detection algorithm and simulated it in a mixed cognitive radio network based on LTE and WiFi in a module developed in Network Simulator 3 (NS-3.23). This module contains the 4 main steps of a cognitive cycle, which are spectrum detection using the SVD detection method [13], spectrum decision based on a game of coalitions [17], and spectrum Sharing and mobility based on the power parameter RSSI, parameter used to carry out the hand-off between WiFi and LTE [18]. It should be stressed that NS3 has WiFi and LTE modules included, but these technologies were adapted and modified to give it the cognitive ability.

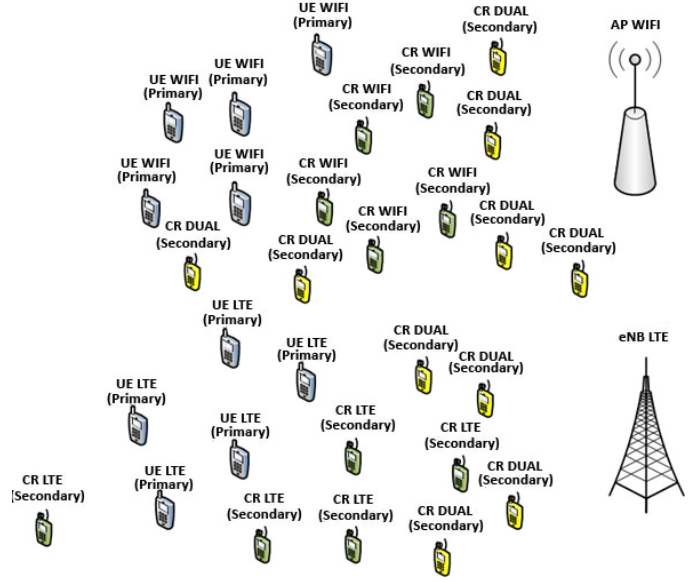


Fig. 1. Proposed Network Topology for Simulation

There are several nodes in the proposed network topology, as depicted in Fig. 1. The topology presented in Fig. 1 is shown only as an example since the position and movement of the user equipments (UE) is dynamic and random during the entire simulation time, due to the propagation and mobility models used and that are provided by the NS-3 simulator [14]. Some nodes included in the proposed topology are WiFi PU and LTE PU without cognitive ability (primary UE). Two types of SU are used; the ones with cognitive ability only for a specific technology (WiFi CR UE or LTE CR UE), and cognitive ability for both technologies (dual CR UE).

The central LTE frequency has been set to 729MHz, whereas the WiFi central frequency has been set to 2400MHz. The bandwidth used for both technologies is equal to 20MHz. These values were chosen to make the simulation of the model more real because these are typical values of commercial deployment. The number of CR LTE UE, CR WiFi UE, LTE UE, and primary WiFi UE have been set to 5, respectively, while the dual CR UE have been set equal to 10. The range of coverage of the access point (AP) has been set to 200m, while the range of coverage the evolved node B (eNB) has been set equal to 350m. This was done to generate interference between the evaluated technologies in the simulation. All of the parameters used in the simulation are shown in Table II, and may be varied in future work.

The probability of detection (P_d) vs SNR is presented as a cumulative distribution (CDF) function for various methods, as shown in Fig. 2. This is done by varying the SNR in steps of 5 dB, between -25 dB and 25 dB for a better visualization of the logarithmic scale. The proposed SVD method curve was obtained through the implementation and simulation of the algorithm in NS-3, whereas the curves of the SVD detection method (RC signal) [13] and the traditional energy detector method [12] were obtained via theoretical simulations using MATLAB.

To verify the efficiency of the methods, and by using the data and models obtained from Fig. 2, the statistical

TABLE II. SYSTEM SIMULATION PARAMETERS

Parameter	Value
LTE Frequency	729MHz
WiFi Frequency	2400MHz
LTE Bandwidth	20MHz
WiFi Bandwidth	20MHz
CR LTE UE	5
CR WiFi UE	5
Dual CR UE	10
Primary LTE UE	5
Primary WiFi UE	5
AP Range of Coverage	200m
eNB Range of Coverage	350m
Time of Simulation	1200s
Mobility model	Random Waypoint
Propagation model	Range Propagation Loss

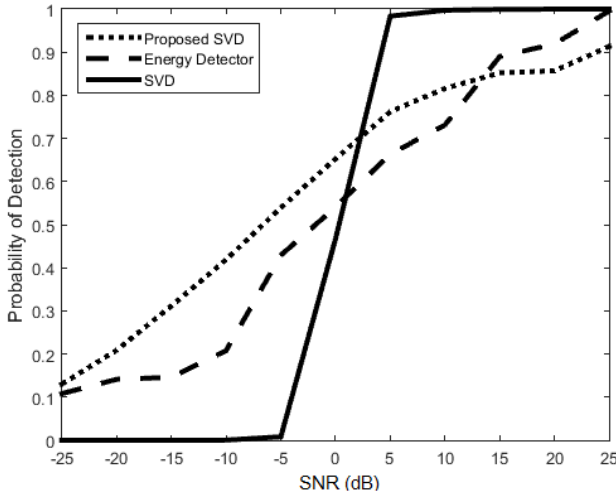


Fig. 2. Probability of Detection vs SNR

estimator Maximum Likelihood Estimate (MLE) derived in [19] was used. The MLE estimates the parameters of a certain probabilistic model, and it is also used to compare different models. Using this statistical estimator, the results obtained are as follows: MLE (Proposed SVD) = 0.587388, MLE (SVD) = 0.524820, and MLE (Energy Detector) = 0.495913. Consequently, the evaluated system outperforms the theoretical methods proposed in [12] and [13].

IV. CONCLUSION

In this work, we highlight an approach based on the SVD detection method applied to cognitive radio, specifically in WiFi and LTE wireless networks. The system was evaluated in terms of the probability of detection P_d , and compared with other traditional detection methods. The maximum likelihood estimation (MLE) statistical estimator was used to verify the efficiency of the evaluated methods. Overall, the evaluated system outperformed the other methods in terms of P_d . The performance of the SVD method reported in this paper can be improved by increasing the number of samples in the CR receiver, which might be considered as future work.

ACKNOWLEDGMENT

The authors acknowledge the partial financial support of SENESCYT "Convocatoria abierta 2014-primera fase, Acta CIBAE-023-2014", as well as the projects FONDECYT No. 11160517 and project ERANET-LAC ELAC2015/T10-0761.

REFERENCES

- [1] D. M. Alias and R. G. K, "Cognitive radio networks: A survey," in *2016 International Conference on Wireless Communications, Signal Processing and Networking (WiSPNET)*, Mar. 2016, pp. 1981–1986.
- [2] S. Bhattarai, J. M. J. Park, B. Gao, K. Bian, and W. Lehr, "An overview of dynamic spectrum sharing: Ongoing initiatives, challenges, and a roadmap for future research," *IEEE Transactions on Cognitive Communications and Networking*, vol. 2, no. 2, pp. 110–128, June 2016.
- [3] Y. Ma, Y. Gao, Y. C. Liang, and S. Cui, "Reliable and efficient sub-nyquist wideband spectrum sensing in cooperative cognitive radio networks," *IEEE Journal on Selected Areas in Communications*, vol. 34, no. 10, pp. 2750–2762, Oct. 2016.
- [4] Y. Xu and M.-S. Lim, "The selective transmission with majority even/odd subcarriers for the high data throughput in ofdma based cognitive radio systems," in *2016 Eighth International Conference on Ubiquitous and Future Networks (ICUFN)*, July 2016, pp. 628–631.
- [5] E. Biglieri, A. J. Goldsmith, L. J. Greenstein, H. V. Poor, and N. B. Mandayam, *Principles of cognitive radio*. Cambridge University Press, 2013.
- [6] C. Hemández, L. Pedraza, I. Páez, and E. Rodríguez-Colina, "Análisis de la movilidad espectral en redes de radio cognitiva," *Información tecnológica*, vol. 26, no. 6, pp. 169–186, Dec. 2015.
- [7] M. Z. Alom, T. K. Godder, and M. N. Morshed, "A survey of spectrum sensing techniques in cognitive radio network," in *2015 International Conference on Advances in Electrical Engineering (ICAEE)*, Dec. 2015, pp. 161–164.
- [8] N. Muchandi and R. Khanai, "Cognitive radio spectrum sensing: A survey," in *2016 International Conference on Electrical, Electronics, and Optimization Techniques (ICEEOT)*, Mar. 2016, pp. 3233–3237.
- [9] R. Abdelrassoul, E. Fathy, and M. S. Zaghloul, "Comparative study of spectrum sensing for cognitive radio system using energy detection over different channels," in *2016 World Symposium on Computer Applications & Research (WSCAR)*, Mar. 2016, pp. 32–35.
- [10] S. M. Jacob and N. S., "Spectrum sensing technique in cognitive radio based on sample covariance matrix," in *2015 International Conference on Control, Instrumentation, Communication and Computational Technologies (ICCICCT)*, Dec. 2015, pp. 139–144.
- [11] S. Xu, K. S. Kwak, and R. R. Rao, "Svd based wideband spectrum sensing and carrier aggregation for lte-advanced networks," in *2014 IEEE 25th Annual International Symposium on Personal, Indoor, and Mobile Radio Communication (PIMRC)*, Sep. 2014, pp. 1190–1194.
- [12] S. S. Ali, C. Liu, and M. Jin, "Minimum eigenvalue detection for spectrum sensing in cognitive radio," *International Journal of Electrical and Computer Engineering*, vol. 4, no. 4, pp. 623–630, Aug. 2014.
- [13] M. F. Fahim and M. S. Raean, "Svd detection for cognitive radio network based on average of maximum-minimum of the icdf," *International Journal of Advanced Computer Research*, vol. 2, no. 3, Sep. 2012.
- [14] *ns-3 Model Library, Release ns-3.23*, Aug. 2015. [Online]. Available: <https://www.nsnam.org/docs/release/3.23/models/ns-3-model-library.pdf>
- [15] A. Galanopoulos, F. Foukalas, and T. A. Tsiftsis, "Efficient coexistence of LTE with WiFi in the licensed and unlicensed spectrum aggregation," *IEEE Transactions on Cognitive Communications and Networking*, vol. 2, no. 2, pp. 129–140, Jun. 2016.
- [16] Y. Zeng and Y. C. Liang, "Maximum-minimum eigenvalue detection for cognitive radio," in *2007 IEEE 18th International Symposium on Personal, Indoor and Mobile Radio Communications*, Sep. 2007, pp. 1–5.
- [17] T. Wang, L. Song, Z. Han, and W. Saad, "Overlapping coalitional games for collaborative sensing in cognitive radio networks," in *2013 IEEE Wireless Communications and Networking Conference (WCNC)*, Apr. 2013, pp. 4118–4123.
- [18] M. Gerasimenko, N. Himayat, S. p. Yeh, S. Talwar, S. Andreev, and Y. Koucheryavy, "Characterizing performance of load-aware network selection in multi-radio (wifi/lte) heterogeneous networks," in *2013 IEEE Globecom Workshops (GC Wkshps)*, Dec. 2013, pp. 397–402.
- [19] L. Held and D. Sabanés Bové, *Applied statistical inference*. Springer, 2014, vol. 10.

B. Documento técnico para desarrollo de software

Technical specifications to develop in the project

Step 1

For the creation of nodes, these have to have the following characteristic technicians based in the capacities of the software NS3:

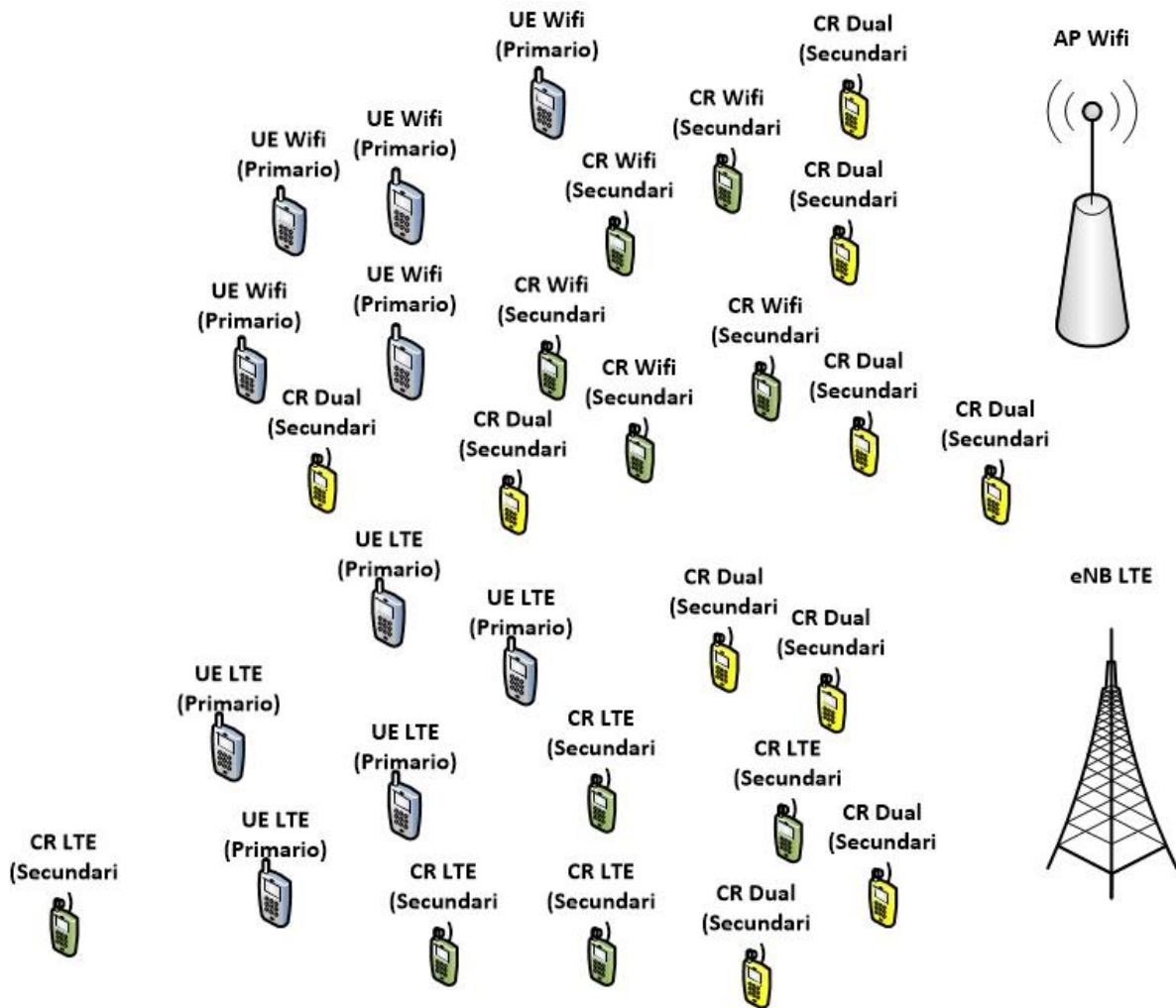
Node	Type	Quantity	Mobility	Channels	Frequency	Power/Sensitivity
Wifi	AP	1	Fixed	11	2.4 Ghz	(11,30 dbm)
Wifi	EU	5	Random	11	2.4 Ghz	/(Max -70 dbm)
LTE	eNB	1	Fixed	41	2.6 Ghz	(11,30 dbm)
LTE	EU	5	Random	41	2.6 Ghz	(11,30 dbm)/max - 120 dbm)
DUAL CR	Dual (capacity of reconfiguration wifi and lte)	10	Random	11+41	Adaptative (2.4-2.6 Ghz)	(11,30 dbm)/max - 120 dbm)
WIFI-CR	Only capacity CR wifi	5	Random	11	2.4 Ghz	/(Max -70 dbm)
LTE-CR	Only capacity CR LTE	5	Random	41	2.6 Ghz	(11,30 dbm)/max - 120 dbm)

Considerations for functions of simulation and Restrictions:

- The nodes LTE have to allow change his carrier frequency (by defect 2.6 Ghz and 700 Mhz) in the function that uses to simulate.
- For the location of the eNB and the AP to use in the simulation has to program a function that extracts the coordinates of each node from an archive of text. The first row of the archive will correspond to a cell with his coordinates (x, y, z) and bands of operation for the DL and UL, The second row of the archive will correspond to the AP with his coordinates (x, y, z) and band of operation. Each one of these values have to be separated by tabulations.
- The initial location of the EU has to be random, the in rank of coverage of the eNB and the AP.
- The EU Wifi and EU LTE will have his interface by defect (primary users), the EU WIFI-CR only have to have the interface CR with capacity of recognition WIFI, the EU LTE-CR only will have the interface CR with capacity of recognition LTE, The DUAL EU-CR will have the dual capacity CR, so that when they lose connectivity wifi, are able of reconfiguration for the connection LTE.

- The players (UEs) have to compete by the spectrum, that is to say, The EU WIFI will be the main users of the network Wi-Fi, The EU LTE will be the main users of the network LTE, THE EU CR will be the secondary users that they have to compete for the channels.
- The EU con dual capacity, when they lose a connection wifi, and if they find in the area of coverage LTE, has to negotiate the resources with the eNB, using his cognitive skill (detection, decision, sharing and mobility). Of equal way when it loses the connection LTE and find in the area of coverage wifi, have to negotiate with the resources AP.
- The EU Wifi or LTE and to his time the EU CR with only capacity Wifi or LTE, if they lose the connection, will be out of the game, until they return to the area of coverage of his respective technologies.
- Once initiated the simulation the terminal will move inside the area established by the the AP and the eNB using the model of mobility "Random Walk".
- The traffic between transmitters and receptors to simulate has to be TCP with option to that in the function of simulation, can it to him change to UDP.
- The simulator has to have an archive of basic configurations that will have the following parameters: Power of transmission and reception of all the nodes, figure of noise for all the nodes, bandwidths, frequencies, that the simulator takes by defect in each execution if it does not redefine the specific value for the variables through the console with the function of simulation or inside the script.
- The diagram of the implementation will have to be the following:

Figure 1: Network Topology for Simulation



Step 2

For the creation of the module CR, will have to fulfil with the basic principles of the cognitive radio (detection, decision, sharing and mobility).

Detection:

For the detection of the spectrum has to use the method of “SVD (Singular Value Decomposition) Detection”, which describes to continuation:

- 1) Select the number of columns of the matrix of covariances L in the interface receptor CR of the secondary users, such that $k < L < N - k$, where N is the number of samples to take by part of the receptor and k is the number of singular values, for this procedure consider $k=2$ and $L=16$
- 2) Proceed to obtain the matrix of covariances

$$R(N_s) = \frac{1}{N_s} \sum_{n=16}^{16-1+N_s} x(n)x^t(n)$$

Where $x(n)$ is the SNR of the channel that the receptor is detecting in this instant and divided for the number of samples.

- 3) Factorizar The matrix of covariances
- 4) Obtain the maximum and the minimum eigenvalues of the matrix of covariance $R(N_s)$ which will be λ_{max} and λ_{min} .
- 5) Calculate the value threshold to compare with the eigenvalues with the following formulates:

$$\gamma = \frac{(\sqrt{N_s} + \sqrt{16})}{(\sqrt{2 N_s} - \sqrt{16})} 2 * \left(1 + \frac{(\sqrt{N_s} + \sqrt{16})^2}{(3 N_s * 16) \bar{1}6 * (F_1^{-1}(1 - P_{fa}))}\right)$$

Where P_{fa} is the probability of false alarm that requires that it was \leq to 0.1.

The function $(F_1^{-1}(1 - P_{fa}))$ is the function Tracy-Widom that it is distribution of probability normalized for the eigenvalues whose table distribution is the following:

t	-3.90	-3.18	-2.78	-1.91	-1.27	-0.59	0.45	0.98	2.02
F ₁ (t)	0.01	0.05	0.10	0.30	0.50	0.70	0.90	0.95	0.99

- 6) Compare the relation of eigenvalues maximum and minima of the matrix of covariance with the threshold, therefore If $\frac{\lambda_{max}}{\lambda_{min}} > \gamma$, the signal is present, of another way the signal is not present.
- 7) Obtain the bit of detection of signal of individual primary user.

Step 3

Decision, sharing and mobility

In the stage of decision and sharing is where will implement the theory of the game based in coalitions (cooperative game) in three phases:

PHASE 1: local Detection

- Each user CR individual will obtain his bit of detection of signal of primary user.

PHASE 2: Training of adaptative coalitions

- During the training of the adaptative coalition assumes that any secondary user of random way can begin the process of union.
- Form coalitions based in the algorithm of merge and separation indicated to continuation:

Merge: the coalition decides to join following the following steps:

- 1) It decides join any set of coalitions if the function of utility of the merge is better compared con each coalition by individual, besides if the set of coalitions covers all the users of the partition, and by Pareto, is preferable, given his function of utility, compared with the partitions no united.
- 2) The comparison makes based in the following function of utility of each user CR:

$$v(S) = Q_{d,S} - C(Q_{f,S}) = (1 - Q_{m,S}) - C(Q_{f,S})$$

Where $C(Q_{f,S})$ is the function cost of probability of false alarm inside the coalition S.

$$Q_{f,S} = 1 - \prod_{i \in S} [(1 - P_f)(1 - P_{y,i,k}) + P_f P_{y,i,k}]$$

$Q_{f,S}$ is the probability of false alarm of the coalition having like head of coalition k

P_f Is the probability of false alarm of an user CR

$P_{y,i,k}$ is thepr obabilidad to report an error between an user CR of the coalition

And his head of coalition k

$$Q_{m,S} = \prod_{i \in S} [(P_{m,i})(1 - P_{y,i,k}) + (1 - P_{m,i})P_{y,i,k}]$$

$Q_{m,S}$ is the probability to lose the detection of a PU by part of the coalition

$P_{m,i}$ is the probability to lose the deteccion of a PU by part of an usuario CR

- 3) The coalitions and the users CR have to follow the following properties:
 - In the game of detection of collaboration proposed, the utility of a coalition S is equal to the utility of each user CR in the coalition.
 - The probabilities of false alarm and to lose the detection of a PU of any user CR that belongs to the coalition are given by said probabilities but of the coalition

Separation: it decides separate a set of coalitions if the function of utility of each coalition of the set by individual is better that the union of the coalitions

- It makes this procedure until finding the optimum group of coalitions in the elements of the network
- **Restrictions of coalition:** The minimum coalition to form will be of an user CR by collation (that is to say there are not coalitions in reality), The maximum coalition will be of all the users CR (that is to say an alone coalition of all the users CR)

PHASE 3 Detection of the coalition

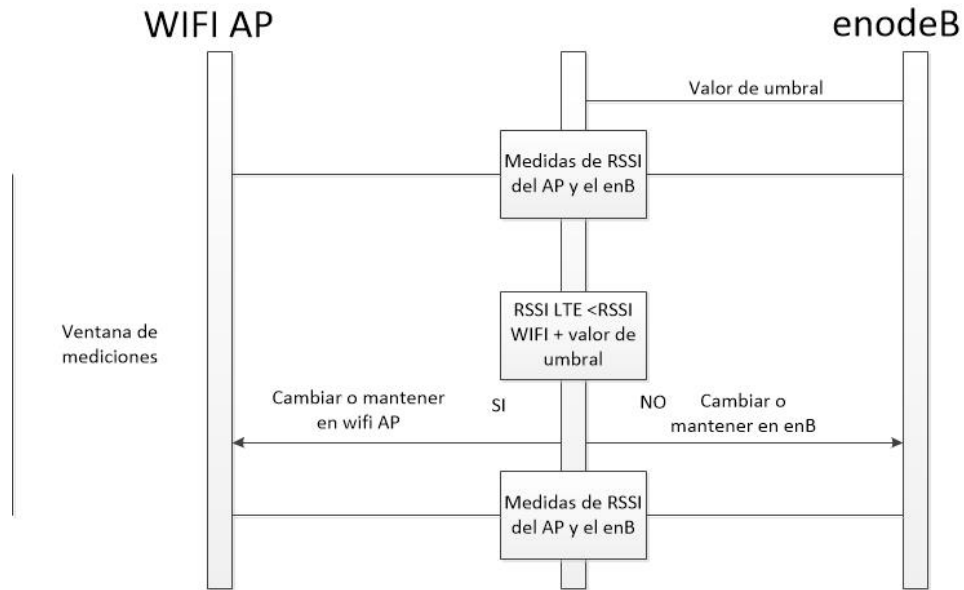
- Each user CR reports his bit of detection to each head of the coalition
- The head of each coalition takes a final decision on the presence or no of a primary user using a rule OR

- Its Users CR in a coalition will fulfil with the final decision taken by the head of the coalition.

All these phases have to repeat along the operation of the network

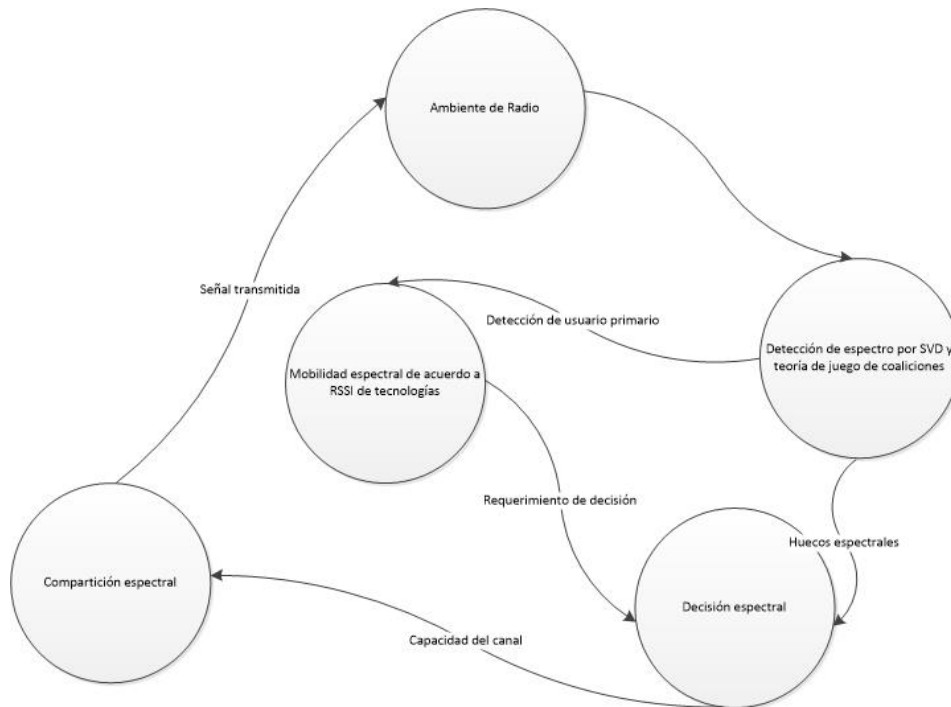
In the phase of mobility will take in account the following diagram to know when make the change of technology.

Figure 2: Diagram for change of technology



To compare when an user CR has to change of technology, depending on his mobility, will use the measurement of the RSSI of agreement to the signal wifi and lte, and comparing both RSSI but a value threshold that according to experimental studies is given in 1.76 db.

Diagram simplified of development



Functions to consider for the development:

1) Main function to initiate the simulation:

This function has to allow changes mentioned in the step 1 like number of primary and secondary users, carrier frequency of the technology, parameters of location of the nodes, choose the type of traffic, and read the archive of basic configurations.

2) Svd(snr Channel, probability of false alarms user CR)

This function will commission to make the detection of the spectrum by part of the user CR by individual, and will return us a value of 0 if the user CR does not detect a primary user, and 1 if the user CR detects a primary user

3) Coalition (quantity of users Cr, bit of detection of CR, probability of false alarms user CR, probability to lose the detection of an user CR, type of technology)

This function will commission to make the coalitions of the users CR of agreement to the parameters specified in the algorithm of coalitions and will return the already structured coalitions and the final decision taken by the coalition.

4) Makehandoff(Channel, rssi ap, rssi eNB)

This function will commission to make the handoff of technologies depending on the parameters of entrance and the comparison between rssi, having like result, the change of technology in the channel indicated, or the change of channel in the same technology, if this is used by a primary user.

5) Spectrum Sensing/Database Query

This bloque commissions to check if it exists a primary user in a determinate channel in a determinate term of time. Is infers the activity of the primary users from a static database of primary users that loads before that it begin the simulation.

This submodule can use for: simulate the detection with a probability gives of error of detection or consult a database of approved by the FCC to determine the activity of the primary users.

The database of the primary users that loads in the simulator is an archivor of text that defines the number of primary users, his current busy channel, the power of transmission to determine his rank of coverage, and a list with the number of times that lights or turns off.

6) Spectrum Decision:

In this block, carry out diverse political. In the first place, a politics to determine if a hand -off has to make on the results of the detection/consults of the results. Second, a politics that determines to which channel of has to give the hand-off.

7) Spectrum Mobility:

This submodule initiates the protocol of hand-off in the current node. It is tied directly to the physical layer.

8) Spectrum Sharing:

This submodule use the support incorporated for the detection of bearer of the layer MAC of the protocol 802.11 in NS3 to ensure that the available spectrum shares in a free environment of collisions for the nodes CR that decided to transmit by the same channel.

- All functions must be tested with test data for proper operation.
- If functions need other input parameters can be added.
- You can create intermediate functions or other functions as may be necessary.

Summary of main functions and parameters:

Functions	Parameters	Restrictions	Results expected
Main function	Quantity of users primary and secondary Frequency Location of nodes Type of traffic Archive of basic configurations	<ul style="list-style-type: none"> • Primary users; minimum 2 (1 wifi and 1 lte), maximum 10 (5 wifi and 5 lte). • Secondary users: minimum 3 (1 CR wifi, 1 CR LTE 1 CR dual), maximum 20(5 CR wifi, 5 CR LTE, 5 CR dual) 	Main parameters of the network (delay, jitter, throughput, packet loss) in data and graphic.
SVD	<ul style="list-style-type: none"> • SNR Of the channel measured by the user CR • Probability of the false alarm of the user CR 	SNR Maximum and minimum of the channels for his operation	<p>If it detects a primary user 1</p> <p>If it does not detect a primary user 0</p>
Coalicion	<ul style="list-style-type: none"> • Quantity of users Cr • Bit of detection of CR • probability of false alarms user CR • Probability to lose the detection of an user CR • Type of technology and user CR 	Maximum and minimum quantities of users CR	<p>Head of coalition</p> <p>Coalitions structured</p> <p>Decision of the coalition</p>
Empezarhandoff	<ul style="list-style-type: none"> • Channel • RSSI AP • RSSI eNB 	Values of RSSI in the AP and eNB maximum and minima for correct operation	<p>Make the handoff</p> <p>Not making the handoff</p>

C. Manual de uso práctico del simulador

Reporte de instalación y uso de desarrollo para Tesis

Fecha de entrega: 28 de octubre 2016

Pablo Palacios Játiva

1. Desarrollo:

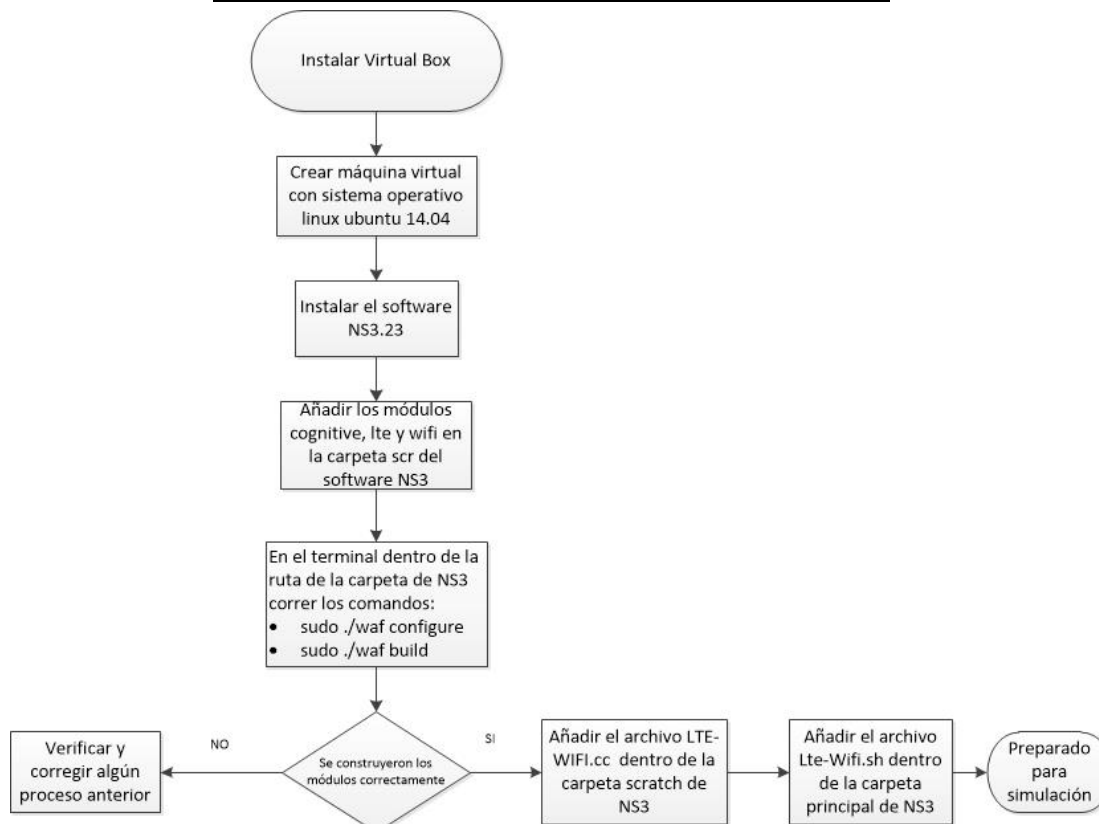
- Módulo cognitive desarrollado en ns3
- Módulo lte desarrollado en ns3
- Módulo wifi desarrollado en ns3
- Programa principal para generación de simulación LTE-WIFI.CC
- Script para inicialización de parámetros Lte-Wifi.sh

2. Requerimientos de software para instalación de desarrollo

- NS3.23
- Ubuntu 14.04

3. Configuración de los módulos desarrollados

Diagrama de flujo para la instalación del desarrollo



Pasos para la instalación del desarrollo

- Instalar el software NS3.23 en la máquina virtual creada en Virtual Box
- Añadir los módulos cognitive, lte y wifi desarrollados dentro de la carpeta src (home/pablo/ns-allinone-3.23/ns-3.23/src) que contiene módulos ya preestablecidos en ns3, si existen ya los módulos wifi y lte en esa carpeta, reemplazarlos.

Módulos
/home/pablo/ns-allinone-3.23/ns-3.23/src/antenna
/home/pablo/ns-allinone-3.23/ns-3.23/src/aodv
/home/pablo/ns-allinone-3.23/ns-3.23/src/applications
/home/pablo/ns-allinone-3.23/ns-3.23/src/bridge
/home/pablo/ns-allinone-3.23/ns-3.23/src/brite
/home/pablo/ns-allinone-3.23/ns-3.23/src/buildings
/home/pablo/ns-allinone-3.23/ns-3.23/src/click
/home/pablo/ns-allinone-3.23/ns-3.23/src/cognitive
/home/pablo/ns-allinone-3.23/ns-3.23/src/config-store
/home/pablo/ns-allinone-3.23/ns-3.23/src/core
/home/pablo/ns-allinone-3.23/ns-3.23/src/csma
/home/pablo/ns-allinone-3.23/ns-3.23/src/csma-layout
/home/pablo/ns-allinone-3.23/ns-3.23/src/dsdv
/home/pablo/ns-allinone-3.23/ns-3.23/src/dsr
/home/pablo/ns-allinone-3.23/ns-3.23/src/energy
/home/pablo/ns-allinone-3.23/ns-3.23/src/fd-net-device
/home/pablo/ns-allinone-3.23/ns-3.23/src/flow-monitor
/home/pablo/ns-allinone-3.23/ns-3.23/src/internet
/home/pablo/ns-allinone-3.23/ns-3.23/src/lr-wpan
/home/pablo/ns-allinone-3.23/ns-3.23/src/lte
/home/pablo/ns-allinone-3.23/ns-3.23/src/mesh
/home/pablo/ns-allinone-3.23/ns-3.23/src/mobility
/home/pablo/ns-allinone-3.23/ns-3.23/src/mpi
/home/pablo/ns-allinone-3.23/ns-3.23/src/netanim
/home/pablo/ns-allinone-3.23/ns-3.23/src/network
/home/pablo/ns-allinone-3.23/ns-3.23/src/nix-vector-routing
/home/pablo/ns-allinone-3.23/ns-3.23/src/olsr
/home/pablo/ns-allinone-3.23/ns-3.23/src/openflow
/home/pablo/ns-allinone-3.23/ns-3.23/src/point-to-point
/home/pablo/ns-allinone-3.23/ns-3.23/src/point-to-point-layout
/home/pablo/ns-allinone-3.23/ns-3.23/src/propagation
/home/pablo/ns-allinone-3.23/ns-3.23/src/sixlowpan
/home/pablo/ns-allinone-3.23/ns-3.23/src/spectrum

/home/pablo/ns-allinone-3.23/ns-3.23/src/stats
/home/pablo/ns-allinone-3.23/ns-3.23/src/tap-bridge
/home/pablo/ns-allinone-3.23/ns-3.23/src/test
/home/pablo/ns-allinone-3.23/ns-3.23/src/topology-read
/home/pablo/ns-allinone-3.23/ns-3.23/src/uan
/home/pablo/ns-allinone-3.23/ns-3.23/src/virtual-net-device
/home/pablo/ns-allinone-3.23/ns-3.23/src/visualizer
/home/pablo/ns-allinone-3.23/ns-3.23/src/wave
/home/pablo/ns-allinone-3.23/ns-3.23/src/wifi
/home/pablo/ns-allinone-3.23/ns-3.23/src/wimax
/home/pablo/ns-allinone-3.23/ns-3.23/src/create-module.py
/home/pablo/ns-allinone-3.23/ns-3.23/src/wscript

- Abrir el terminal e ir a la ruta ns-allinone-3.23/ns-3.23
- Correr el comando sudo ./waf configure
- Deberá aparecer la siguiente pantalla (las opciones no habilitadas no afectan el desarrollo):

```

---- Summary of optional NS-3 features:
Build profile      : debug
Build directory   :
Python Bindings   : enabled
Python API Scanning Support : not enabled (Missing 'pygccxml' Python module)
BRITE Integration : not enabled (BRITE not enabled (see option --with-brite))
NS-3 Click Integration : not enabled (nsclick not enabled (see option --with-nsclick))
GtkConfigStore    : enabled
XmllO             : enabled
Threading Primitives : enabled
Real Time Simulator : enabled
File descriptor NetDevice : enabled
Tap FdNetDevice   : enabled
Emulation FdNetDevice : enabled
PlanetLab FdNetDevice : not enabled (PlanetLab operating system not detected (see option --force-planetlab))
Network Simulation Cradle : not enabled (NSC not found (see option --with-nsc))
MPI Support       : not enabled (option --enable-mpi not selected)
NS-3 OpenFlow Integration : not enabled (Required boost libraries not found)
SQLite stats data output : enabled

```

```

Tap Bridge           : enabled
PyViz visualizer    : enabled
Use sudo to set suid bit : not enabled (option --enable-sudo not selected)
Build tests         : not enabled (defaults to disabled)
Build examples      : not enabled (defaults to disabled)
GNU Scientific Library (GSL) : enabled

```

'configure' finished successfully (12.283s)

- Correr el comando sudo ./waf build
- Deberá aparecer la siguiente pantalla (solo existe un warning que no afecta al desarrollo):

Waf: Entering directory `/home/pablo/ns-allinone-3.23/ns-3.23/build'

```

wscript:66: Warning: (in applications) Requested to build modular python
bindings, but apidefs dir not found => skipped the bindings.
# these variables are mandatory ('/' are converted automatically)
wscript:310: Warning: (in lte) Requested to build modular python bindings, but
apidefs dir not found => skipped the bindings.
env.append_value('LINKFLAGS', '-lgcov')
wscript:172: Warning: (in wifi) Requested to build modular python bindings, but
apidefs dir not found => skipped the bindings.
help=('DEPRECATED (run ./waf shell)'),

```

**Waf: Leaving directory `/home/pablo/ns-allinone-3.23/ns-3.23/build'
'build' finished successfully (1m47.299s)**

Modules built:

antenna	aodv	applications
bridge	buildings	cognitive (no Python)
config-store	core	csma
csma-layout	dsdv	dsr
energy	fd-net-device	flow-monitor
internet	lr-wpan	lte
mesh	mobility	mpi
netanim (no Python)	network	nix-vector-routing
olsr	point-to-point	point-to-point-layout
propagation	sixlowpan	spectrum
stats	tap-bridge	test (no Python)
topology-read	uan	virtual-net-device
visualizer	wave	wifi
wimax		

Modules not built (see ns-3 tutorial for explanation):
 brite click openflow

- Verificar que se haya contruido con los modulos cognitive, lte y wifi.
- Añadir el archivo LTE-WIFI.cc desarrollado dentro de la carpeta scratch (home/pablo/ns-allinone-3.23/ns-3.23/scratch)
- Añadir el archivo Lte-Wifi.sh desarrollado dentro de la carpeta principal de NS3 (home/pablo/ns-allinone-3.23/ns-3.23)

4. Inicio de la simulación

Diagrama de flujo de uso del desarrollo

- *Archivos de resultados:
 Todos los archivos de resultados de la simulación se encuentran en las siguientes rutas:
- /home/pablo/ns-allinone-3.23/ns-3.23/DIPdcpStats.txt
 - /home/pablo/ns-allinone-3.23/ns-3.23/DIRlcStats.txt
 - /home/pablo/ns-allinone-3.23/ns-3.23/DIRsrpSinStats.txt
 - /home/pablo/ns-allinone-3.23/ns-3.23/DIRxPhyStats.txt
 - /home/pablo/ns-allinone-3.23/ns-3.23/DITxPhyStats.txt
 - /home/pablo/ns-allinone-3.23/ns-3.23/UIPdcpStats.txt
 - /home/pablo/ns-allinone-3.23/ns-3.23/UIRlcStats.txt
 - /home/pablo/ns-allinone-3.23/ns-3.23/UIRsrpSinStats.txt
 - /home/pablo/ns-allinone-3.23/ns-3.23/UIRxPhyStats.txt
 - /home/pablo/ns-allinone-3.23/ns-3.23/UITxPhyStats.txt
 - /home/pablo/ns-allinone-3.23/ns-3.23/wifi-network_perf.txt
 - /home/pablo/ns-allinone-3.23/ns-3.23/handover-result.txt
 - /home/pablo/ns-allinone-3.23/ns-3.23/svd-result.txt
 - /home/pablo/ns-allinone-3.23/ns-3.23/coalition-result.txt
 - /home/pablo/ns-allinone-3.23/ns-3.23/graph-information.txt
 - /home/pablo/ns-allinone-3.23/ns-3.23/Lte-Wifi.flomon
 - Archivos con extensión .pcap

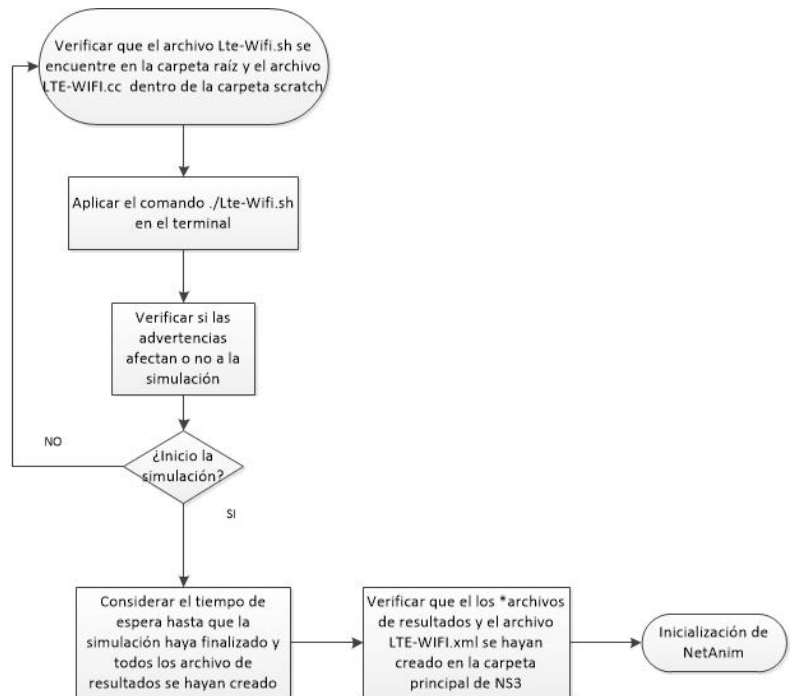
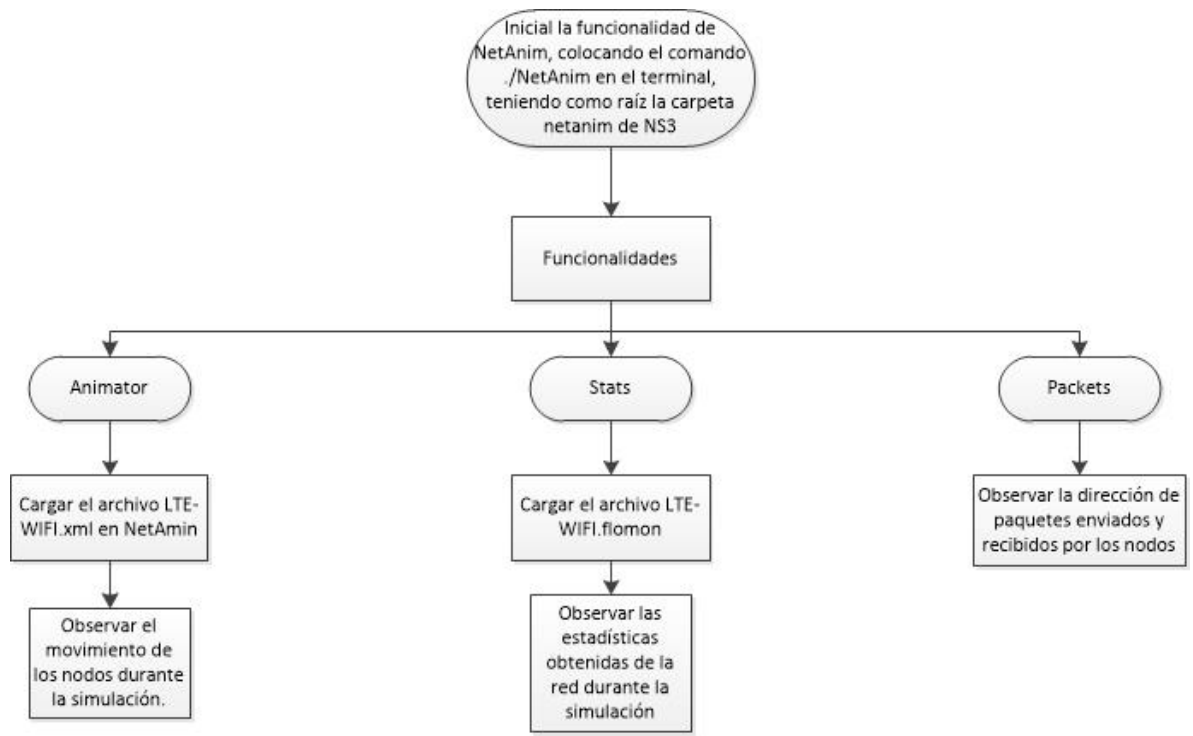


Diagrama de flujo de uso de NetAnim



Pasos para uso del desarrollo

- Correr el comando `./Lte-Wifi.sh` en el terminal
- Deberá aparecer la siguiente pantalla:

```
Waf: Entering directory `/home/pablo/ns-allinone-3.23/ns-3.23/build'
wscript:66: Warning: (in applications) Requested to build modular python
bindings, but apidefs dir not found => skipped the bindings.
# these variables are mandatory ('/' are converted automatically)
wscript:310: Warning: (in lte) Requested to build modular python bindings, but
apidefs dir not found => skipped the bindings.
env.append_value('LINKFLAGS', '-lgcov')
wscript:172: Warning: (in wifi) Requested to build modular python bindings, but
apidefs dir not found => skipped the bindings.
help=('DEPRECATED (run ./waf shell)'),
Waf: Leaving directory `/home/pablo/ns-allinone-3.23/ns-3.23/build'
'build' finished successfully (4.781s)
AnimationInterface WARNING:Node:0 Does not have a mobility model. Use
SetConstantPosition if it is stationary
```

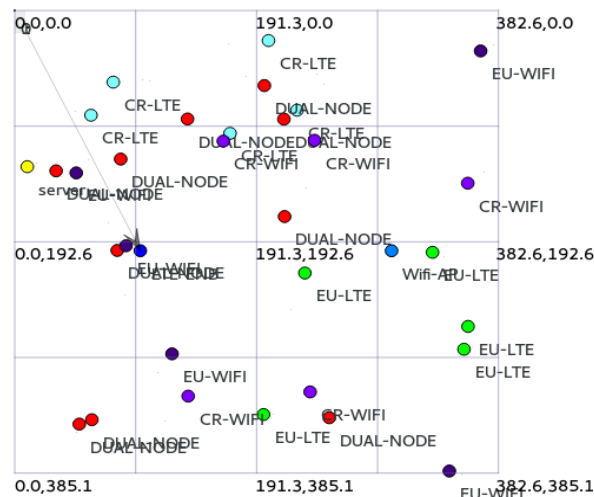
```

AnimationInterface WARNING:Node:1 Does not have a mobility model. Use
SetConstantPosition if it is stationary
AnimationInterface WARNING:Node:23 Does not have a mobility model. Use
SetConstantPosition if it is stationary
AnimationInterface WARNING:Node:0 Does not have a mobility model. Use
SetConstantPosition if it is stationary
AnimationInterface WARNING:Node:1 Does not have a mobility model. Use
SetConstantPosition if it is stationary
AnimationInterface WARNING:Node:23 Does not have a mobility model. Use
SetConstantPosition if it is stationary
Max Packets per trace file exceeded

```

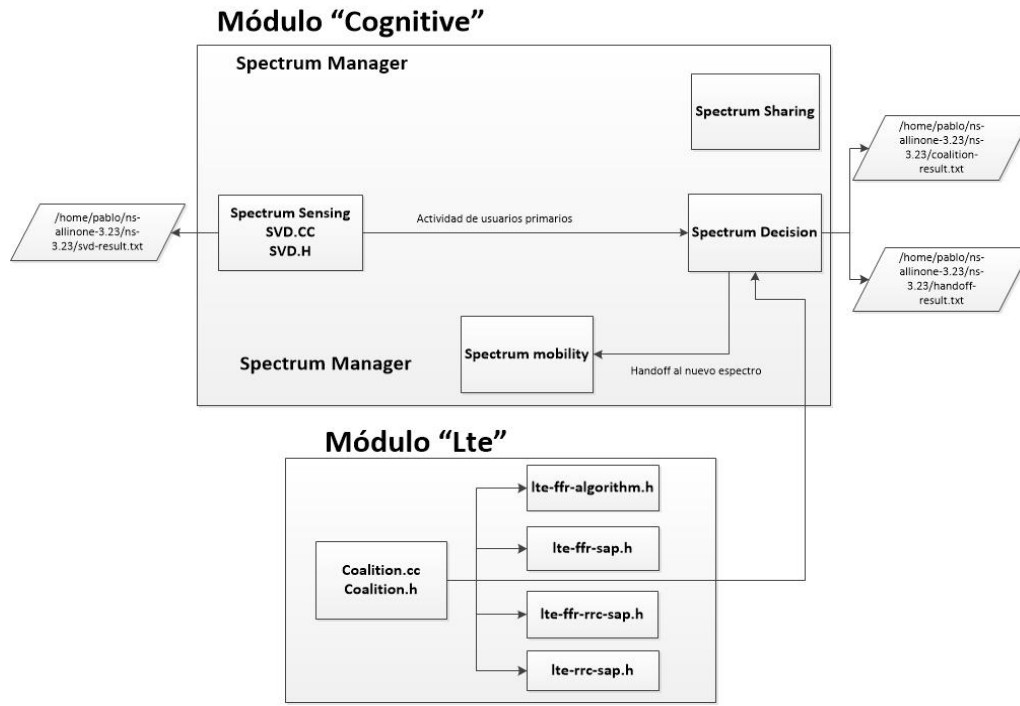
- Considerar que las advertencias mostradas corresponden a configuraciones de elementos no afectan a la simulación, además el aviso “Max packets per trace file exceeded”, sólo es un indicador para el NetAnim.
- Verificar que se haya creado el archivo LTE-WIFI.xml y todos los archivos correspondientes a resultados y datos que se especificarán más adelante en la carpeta principal de NS3 (home/pablo/ns-allinone-3.23/ns-3.23).
- Abrir NetAnim.
- Cargar el archivo LTE-WIFI.xml en NetAmin
- Iniciar la simulación y recopilar toda la información que puede otorgar la herramienta NetAmin.

Movimiento de los nodos en NetAmin



5. Detalle del desarrollo:

Diagrama de flujo de algoritmos y módulos



Módulo cognitive:

- Contiene funciones del módulo "cognitive" que ha sido desarrollado para ns3, estas funciones no son usadas en el desarrollo, no obstante, se sigue el mismo principio de ellas, la principal función añadida es el archivo "svd.cc" y "svd.h", que es el algoritmo de detección de uso de espectro especificado en el documento técnico.

Archivos
/home/pablo/ns-allinone-3.23/ns-3.23/src/cognitive/model/cognitive.cc
/home/pablo/ns-allinone-3.23/ns-3.23/src/cognitive/model/cognitive.h
/home/pablo/ns-allinone-3.23/ns-3.23/src/cognitive/model/cognitive-packet-tags.cc
/home/pablo/ns-allinone-3.23/ns-3.23/src/cognitive/model/cognitive-packet-tags.h
/home/pablo/ns-allinone-3.23/ns-3.23/src/cognitive/model/common-cognitive-header.h
/home/pablo/ns-allinone-3.23/ns-3.23/src/cognitive/model/pu-model.cc
/home/pablo/ns-allinone-3.23/ns-3.23/src/cognitive/model/pu-model.h
/home/pablo/ns-allinone-3.23/ns-3.23/src/cognitive/model/repository.cc
/home/pablo/ns-allinone-3.23/ns-3.23/src/cognitive/model/repository.h

/home/pablo/ns-allinone-3.23/ns-3.23/src/cognitive/model/spectrum-data.cc
/home/pablo/ns-allinone-3.23/ns-3.23/src/cognitive/model/spectrum-data.h
/home/pablo/ns-allinone-3.23/ns-3.23/src/cognitive/model/spectrum-decision.cc
/home/pablo/ns-allinone-3.23/ns-3.23/src/cognitive/model/spectrum-decision.h
/home/pablo/ns-allinone-3.23/ns-3.23/src/cognitive/model/spectrum-manager.cc
/home/pablo/ns-allinone-3.23/ns-3.23/src/cognitive/model/spectrum-manager.h
/home/pablo/ns-allinone-3.23/ns-3.23/src/cognitive/model/spectrum-sensing.cc
/home/pablo/ns-allinone-3.23/ns-3.23/src/cognitive/model/spectrum-sensing.h
/home/pablo/ns-allinone-3.23/ns-3.23/src/cognitive/model/svd.cc
/home/pablo/ns-allinone-3.23/ns-3.23/src/cognitive/model/svd.h
/home/pablo/ns-allinone-3.23/ns-3.23/src/cognitive/model/wscript

Módulo lte:

- Contiene todos los parámetros principales de la tecnología lte que se usará, adaptada a las funciones cognitivas del desarrollo
- Se encuentra los archivos “coalition.cc” y “coalition.h” algoritmo de teoría del juego encargado de la decisión de uso del espectro, especificado en el documento técnico.

Archivos
/home/pablo/ns-allinone-3.23/ns-3.23/src/lte/model/a2-a4-rsrq-handover-algorithm.cc
/home/pablo/ns-allinone-3.23/ns-3.23/src/lte/model/a2-a4-rsrq-handover-algorithm.h
/home/pablo/ns-allinone-3.23/ns-3.23/src/lte/model/a3-rsrp-handover-algorithm.cc
/home/pablo/ns-allinone-3.23/ns-3.23/src/lte/model/a3-rsrp-handover-algorithm.h
/home/pablo/ns-allinone-3.23/ns-3.23/src/lte/model/coalition.cc
/home/pablo/ns-allinone-3.23/ns-3.23/src/lte/model/coalition.h
/home/pablo/ns-allinone-3.23/ns-3.23/src/lte/model/lte-ffr-algorithm.cc
/home/pablo/ns-allinone-3.23/ns-3.23/src/lte/model/lte-ffr-algorithm.h
/home/pablo/ns-allinone-3.23/ns-3.23/src/lte/model/lte-ffr-rrc-sap.cc
/home/pablo/ns-allinone-3.23/ns-3.23/src/lte/model/lte-ffr-rrc-sap.h
/home/pablo/ns-allinone-3.23/ns-3.23/src/lte/model/lte-ffr-sap.cc
/home/pablo/ns-allinone-3.23/ns-3.23/src/lte/model/lte-ffr-sap.h
/home/pablo/ns-allinone-3.23/ns-3.23/src/lte/model/lte-ffr-soft-algorithm.cc
/home/pablo/ns-allinone-3.23/ns-3.23/src/lte/model/lte-ffr-soft-algorithm.h
/home/pablo/ns-allinone-3.23/ns-3.23/src/lte/model/lte-fr-hard-algorithm.cc
/home/pablo/ns-allinone-3.23/ns-3.23/src/lte/model/lte-fr-hard-algorithm.h
/home/pablo/ns-allinone-3.23/ns-3.23/src/lte/model/lte-fr-soft-algorithm.cc
/home/pablo/ns-allinone-3.23/ns-3.23/src/lte/model/lte-fr-soft-algorithm.h
/home/pablo/ns-allinone-3.23/ns-3.23/src/lte/model/lte-fr-strict-algorithm.cc
/home/pablo/ns-allinone-3.23/ns-3.23/src/lte/model/lte-fr-strict-algorithm.h
/home/pablo/ns-allinone-3.23/ns-3.23/src/lte/model/lte-handover-algorithm.cc

/home/pablo/ns-allinone-3.23/ns-3.23/src/lte/model/lte-handover-algorithm.h

Módulo wifi:

- Contiene todos los parámetros principales de la tecnología wifi que se usará, adaptada a las funciones cognitivas del desarrollo

Archivos
/home/pablo/ns-allinone-3.23/ns-3.23/src/wifi/model/aarfcd-wifi-manager.cc
/home/pablo/ns-allinone-3.23/ns-3.23/src/wifi/model/aarfcd-wifi-manager.h
/home/pablo/ns-allinone-3.23/ns-3.23/src/wifi/model/ap-wifi-mac.cc
/home/pablo/ns-allinone-3.23/ns-3.23/src/wifi/model/ap-wifi-mac.h
/home/pablo/ns-allinone-3.23/ns-3.23/src/wifi/model/arf-wifi-manager.cc
/home/pablo/ns-allinone-3.23/ns-3.23/src/wifi/model/arf-wifi-manager.h
/home/pablo/ns-allinone-3.23/ns-3.23/src/wifi/model/ctrl-headers.cc
/home/pablo/ns-allinone-3.23/ns-3.23/src/wifi/model/ctrl-headers.h
/home/pablo/ns-allinone-3.23/ns-3.23/src/wifi/model/dcf-manager.cc
/home/pablo/ns-allinone-3.23/ns-3.23/src/wifi/model/dcf-manager.h
/home/pablo/ns-allinone-3.23/ns-3.23/src/wifi/model/interference-helper.cc
/home/pablo/ns-allinone-3.23/ns-3.23/src/wifi/model/interference-helper.h
/home/pablo/ns-allinone-3.23/ns-3.23/src/wifi/model/snr-tag.cc
/home/pablo/ns-allinone-3.23/ns-3.23/src/wifi/model/snr-tag.h
/home/pablo/ns-allinone-3.23/ns-3.23/src/wifi/model/ssid.cc
/home/pablo/ns-allinone-3.23/ns-3.23/src/wifi/model/ssid.h
/home/pablo/ns-allinone-3.23/ns-3.23/src/wifi/model/wifi-channel.cc
/home/pablo/ns-allinone-3.23/ns-3.23/src/wifi/model/wifi-channel.h
/home/pablo/ns-allinone-3.23/ns-3.23/src/wifi/model/wifi-mac.cc
/home/pablo/ns-allinone-3.23/ns-3.23/src/wifi/model/wifi-mac.h
/home/pablo/ns-allinone-3.23/ns-3.23/src/wifi/model/wifi-net-device.cc
/home/pablo/ns-allinone-3.23/ns-3.23/src/wifi/model/wifi-net-device.h
/home/pablo/ns-allinone-3.23/ns-3.23/src/wifi/model/wifi-phy.cc
/home/pablo/ns-allinone-3.23/ns-3.23/src/wifi/model/wifi-phy.h
/home/pablo/ns-allinone-3.23/ns-3.23/src/wifi/model/wifi-remote-station-manager.cc
/home/pablo/ns-allinone-3.23/ns-3.23/src/wifi/model/wifi-remote-station-manager.h
/home/pablo/ns-allinone-3.23/ns-3.23/src/wifi/model/yans-wifi-channel.cc
/home/pablo/ns-allinone-3.23/ns-3.23/src/wifi/model/yans-wifi-channel.h
/home/pablo/ns-allinone-3.23/ns-3.23/src/wifi/model/yans-wifi-phy.cc
/home/pablo/ns-allinone-3.23/ns-3.23/src/wifi/model/yans-wifi-phy.h

Programa principal para generación de simulación LTE-WIFI.CC

Código principal donde se encuentran todos los parámetros básicos de la simulación que se detalla a continuación:

- En esta parte del código se inicializa todos los parámetros básicos del escenario de simulación, los cuales pueden ser modificados directamente en este archivo, o en el archivo "Lte-Wifi.sh"

```
/*
2 * Main Function
3 */
4 int main (int argc , char * argv []) {
5 uint16 _t numberOfDualNodes = 10; // Number of dual nodes
6 uint16 _t numberOfEUL = 5; // Number of Primary User LTE
7 uint16 _t numberOfCUL = 5; // Number of User CR LTE
8 uint16 _t numberOfEUW = 5; // Number of Primary User WIFI
9 uint16 _t numberOfCUW = 5; // Number of User CR WIFI
10
11 // The number of dual nodes will be 10
12 uint16 _t numberOfeNBNodes = 1; // Number of eNB node for LTE
13 uint16 _t numberOfapNodes = 1; // Number of AP node for WIFI
14 double simTime = 5; // Simulating Time
15 double distance = 200.0; // Distance between eNB and AP
16 double interPacketInterval = 100; // Interval time for sending
packet
17 int nodeSpeed = 100; // Speed of Nodes in m/s
18 int nodePause = 0; // Pause time in sec
19 uint8 _t bandwidth = 25; // BandWidth of Network
20 uint8 _t upBW = 25; // Uplink BandWidth
21 uint8 _t downBW = 25; // Downlink BandWidth
22 bool generateSpectrumTrace = false ;
23 double eNBX , eNBY , eNBZ ; // position of eNB node for LTE
24 double ApX , ApY , ApZ; // position of AP node for WIFI
25 eNBX = eNBY = eNBZ = 100.0;
26 ApX = ApY = ApZ = 100.0;
27
28 double tx = 0.37; // transmissstion data power
29 double rx = 0.6; // received data power
30 double noise = 1e -15; // Noise is the -120 dBm
31 string trafficName , traffic ;
```

- En esta parte del código se da la opción de configuración de estos parámetros en un script para llamado inmediato del programa, que será el "Lte-Wifi.sh".

```

91 // Command line arguments
92 CommandLine cmd ;
93 cmd. AddValue ( " ENB", " Number of ENB", numberOfeNBNodes );
94 cmd. AddValue ( " UserCrWifi ", " Number of UserCrWifi ", numberOfCUW );
95 cmd. AddValue ( " UserCrLte ", " Number of UserCrLte ", numberOfCUL );
96 cmd. AddValue ( " DualUserCr ", " Number of DualUserCr ",
numberOfDualNodes );
97 cmd. AddValue ( " PrimaryUserWifi ", " Number of PrimaryUserWifi ",
numberOfEUW );
98 cmd. AddValue ( " PrimaryUserLte ", " Number of PrimaryUserLte ",
numberOfEUL );
99
100 cmd. AddValue ( " simTime ", " Total duration of the simulation [s]",
simTime );
101 cmd. AddValue ( " NumberOfSample ", " Number of the sample for SVD
Matrix )", numberOfSample );
102 cmd. AddValue ( " trafficName ", " Traffic Name of Network (TCP or
UDP)", traffic );
103 cmd. AddValue ( " eNBX ", "X position of eNB node ", eNBX );
104 cmd. AddValue ( " eNBY ", "Y position of eNB node ", eNBY );
105 cmd. AddValue ( " eNBZ ", "Z position of eNB node ", eNBZ );
106 cmd. AddValue ( " LteUpBandWidth ", " Upload bandwidth in LTE", upBW );
107 cmd. AddValue ( " LteDownBandWidth ", " Download bandwidth in LTE ",
downBW );
108
109 cmd. AddValue ( " ApX", "X position of AP node ", ApX );
110 cmd. AddValue ( " ApY", "Y position of AP node ", ApY );
111 cmd. AddValue ( " ApZ", "Z position of AP node ", ApZ );
112 cmd. AddValue ( " WifiBandWidth ", " BandWidth in WIFI ", bandwidth );

```

- En los siguientes tramos del código principal se inicializan y configuran capa por capa los parámetros de los nodos y usuarios wifi y lte.

Script para inicialización de parámetros Lte-Wifi.sh

- Este script permite modificar los parámetros básicos de simulación según lo mencionado en el documento técnico.
- Para iniciar la simulación en el terminal se debe ejecutar este script

```

1 #!/bin/ bash
2 # -----#
3 # Run the LTE - WIFI project using this Script
4 # NOTE :
5 # Please set all parameters correctly !
6 # -----#
7 rm -f *.txt
8 ./waf --run "LTE - WIFI --ENB =3 -- UserCrLte =3 -- UserCrWifi =3
-- DualUserCr =15 -- PrimaryUserLte =8 -- PrimaryUserWifi =8

```

```

-- simTime =10 -- NumberOfSample =16000 -- trafficName =tcp
-- LteFrequency =729 -- WifiFrequency =2.4 -- LteUpBandWidth =20.0
-- LteDownBandWidth =20.0 -- WifiBandWidth =20.0 --TX =0.037 --RX =0.06
--Noise = -15 --ApX =200.0 --ApY =400.0 --ApZ =0.0 --eNBX =200.0
--eNBY =100.0 --eNBZ =0.0 -- ApRange =300 -- EnbRange =1000 "

```

La siguiente tabla muestra los parámetros que pueden ser cambiados y los rangos permitidos por el desarrollo y el software ns3:

Parámetros	Mínimo	Máximo
Frecuencia LTE	729Mhz	2170Mhz
Frecuencia WIFI	2400Mhz	5875Mhz
Celdas en Enb	1	3
Ancho de Banda LTE	10Mhz	60Mhz
Ancho de Banda WIFI	20Mhz	150Mhz
Ruido dbm	0dbm	-250dbm
Potencia de transmisión	0.025mW	1.27mW
Potencia de recepción	0.025mW	1.27mW
Usuarios CR LTE	0	100
Usuarios CR WIFI	0	100
Usuarios duales CR	0	100
Usuarios primarios LTE	0	100
Usuarios primarios WIFI	0	100
Muestras para detección	1000	30000
Rango de cobertura AP	200m	500m
Rango de cobertura eNB	350m	5000m
Tiempo de simulación	0	120 horas

6. Archivos de resultados

- Todos los datos sobre lte que resultan de la simulación se encuentran en los siguientes archivos:

/home/pablo/ns-allinone-3.23/ns-3.23/DIPdcpStats.txt

/home/pablo/ns-allinone-3.23/ns-3.23/DIRIcStats.txt

/home/pablo/ns-allinone-3.23/ns-3.23/DIRsrpSinrStats.txt

/home/pablo/ns-allinone-3.23/ns-3.23/DIRxPhyStats.txt

/home/pablo/ns-allinone-3.23/ns-3.23/DITxPhyStats.txt

/home/pablo/ns-allinone-3.23/ns-3.23/UIPdcpStats.txt

/home/pablo/ns-allinone-3.23/ns-3.23/UIRlcStats.txt
 /home/pablo/ns-allinone-3.23/ns-3.23/UIRsrpSinrStats.txt
 /home/pablo/ns-allinone-3.23/ns-3.23/UIRxPhyStats.txt
 /home/pablo/ns-allinone-3.23/ns-3.23/UITxPhyStats.txt

- Los datos promedio de la red se encuentran en el archivo /home/pablo/ns-allinone-3.23/ns-3.23/wifi-network_perf.txt

Throughput (kbps): 30.376
DelayTime (sec): 0.019
JitterTime (sec): 0.003
PacketLoss: 52.357

- Los datos de handoff entre tecnología lte y wifi o viceversa se encuentran en el archivo /home/pablo/ns-allinone-3.23/ns-3.23/handoff-result.txt
- El handoff se realiza de acuerdo al RSSI, especificado en el documento técnico, la salida es un .txt al finalizar la simulación, que tiene la siguiente estructura:

Tiempo	Usuario que realiza el Handoff	Coalición a la que pertenece	Desde, valor de RSSI	Hacia, valor de RSSI
--------	--------------------------------	------------------------------	----------------------	----------------------

Handoff-result.txt

Time	User that makes the Handoff	Coalition to which belongs	From,RSSI	To,RSSI	Previous Channel	Current Channel
0.220000	CR-Dual-18	CR-Dual-9,CR-Dual-1,CR-Dual-16,CR-Dual-17,CR-Dual-13,CR-Dual-18,CR-Dual-15,CR-Dual-8,CR-Dual-4,CR-Dual-8,	Lte,33.746 ->	Wifi,36.123	lte	wifi
1.105.523	CR-Dual-4	CR-Dual-4,CR-Dual-11,CR-Dual-12,	Lte,29.050 ->	Wifi,34.868	lte	wifi

1.994.839	CR-Dual-16	CR-Dual-6,CR-Dual-7,CR-Dual-11,CR-Dual-13,CR-Dual-16,CR-Dual-5,CR-Dual-16,CR-Dual-17,	Wifi,26.136 - >	Lte,36.783	wifi	lte
2.921.562	CR-Dual-4	CR-Dual-0,CR-Dual-18,CR-Dual-4,CR-Dual-3,CR-Dual-15,CR-Dual-6,	Lte,28.820 ->	Wifi,36.807	lte	wifi
4.743.278	CR-Dual-16	CR-Dual-17,CR-Dual-10,CR-Dual-3,CR-Dual-16,CR-Dual-7,CR-Dual-16,CR-Dual-15,CR-Dual-11,	Lte,28.129 ->	Wifi,36.091	lte	wifi
5.211.961	CR-Dual-15	CR-Dual-15,CR-Dual-12,CR-Dual-7,	Lte,26.882 ->	Wifi,36.068	lte	wifi
7.628.540	CR-Dual-16	CR-Dual-14,CR-Dual-6,CR-Dual-19,CR-Dual-16,CR-Dual-12,CR-Dual-2,CR-Dual-19,CR-Dual-17,	Wifi,33.708 - >	Lte,36.471	wifi	lte
8.872.944	CR-Dual-3	CR-Dual-8,CR-Dual-15,CR-Dual-18,CR-Dual-3,CR-Dual-19,CR-Dual-11,CR-Dual-10,	Lte,27.262 ->	Wifi,34.256	lte	wifi
9.249.632	CR-Dual-17	CR-Dual-14,CR-Dual-10,CR-Dual-19,CR-Dual-5,CR-Dual-14,CR-Dual-17,CR-Dual-19,	Wifi,27.107 - >	Lte,35.143	wifi	lte
9.888.745	CR-Dual-1	CR-Dual-15,CR-Dual-1,CR-Dual-7,CR-Dual-7,	Wifi,27.408 - >	Lte,35.113	wifi	lte
9.9934.245	CR-Dual-7	CR-Dual-7,CR-Dual-1,CR-Dual-15,CR-Dual-13,CR-Dual-3,CR-Dual-17,CR-Dual-18,	Wifi,28.674 - >	Lte,36.420	wifi	lte

- Los datos de el algoritmo SVD según el tipo de usuario CR se encuentran en el archivo /home/pablo/ns-allinone-3.23/ns-3.23/svd-result.txt
- El algoritmo SVD detecta la presencia o no de un usuario primario, especificado en el documento técnico, la salida es un .txt al finalizar la simulación, que tiene la siguiente estructura:

Tiempo	Tipo de usuario	Detección (0 no detecto, 1 detecto)	Usuario Primario
--------	-----------------	-------------------------------------	------------------

Svd-result.txt

Time	Type of User	Detection (0 not detect, 1 detect)	Primary User
0.220000	CR-Lte-0	1	EU-Lte-5
1.105.523	CR-Dual-8	1	EU-Lte-8
1.994.839	CR-Wifi-0	1	EU-Wifi-5
2.488.930	CR-Wifi-0	1	EU-Wifi-5
2.921.562	CR-Dual-15	1	EU-Lte-9
3.266.540	CR-Lte-2	1	EU-Lte-3
3.538.929	CR-Lte-2	0	EU-Lte-4
3.958.482	CR-Lte-2	1	EU-Lte-8
4.743.278	CR-Dual-6	1	EU-Wifi-1
4.964.039	CR-Dual-17	1	EU-Wifi-3
5.211.961	CR-Dual-4	1	EU-Lte-1
5.536.223	CR-Dual-16	1	EU-Lte-8
6.354.093	CR-Lte-3	1	EU-Lte-7
7.085.685	CR-Lte-4	1	EU-Lte-6
7.628.540	CR-Dual-0	1	EU-Wifi-1
7.889.481	CR-Dual-4	1	EU-Wifi-7
8.159.196	CR-Lte-3	0	EU-Lte-7
8.872.944	CR-Wifi-0	0	EU-Wifi-4
9.249.632	CR-Dual-3	0	EU-Wifi-3
9.888.745	CR-Wifi-3	1	EU-Wifi-9
10.661.858	CR-Dual-14	1	EU-Wifi-2
11.550.767	CR-Lte-3	1	EU-Lte-2
12.237.540	CR-Dual-11	0	EU-Lte-5
12.619.910	CR-Dual-12	1	EU-Lte-4
13.548.115	CR-Lte-0	1	EU-Lte-1
13.762.521	CR-Wifi-2	0	EU-Wifi-8
14.207.478	CR-Wifi-4	1	EU-Wifi-3

Probability of Detect: 0.777778 Probability of false Detect: 0.222222

- Los datos de el algoritmo de coalición se encuentran en el archivo /home/pablo/ns-allinone-3.23/ns-3.23/coalition-result.txt
- El algoritmo de coalición realiza las uniones o no de usuarios CR, dependiendo el tipo, especificado en el documento técnico, la salida es un .txt al finalizar la simulación, que tiene la siguiente estructura:

Tiempo	Coalicion	Cabeza de coalicion	Decisión de detección de la coalición	Tecnología
--------	-----------	---------------------	---------------------------------------	------------

Coalition-result.txt

Time	Coalicion	Head of Coalicion	Detection of the coalition	Technology
0.272243	CR-Dual-9,CR-Dual-1,CR-Dual-16,CR-Dual-17,CR-Dual-13,CR-Dual-18,CR-Dual-15,CR-Dual-8,CR-Dual-4,CR-Dual-8,	CR-Dual-15	0	lte
1.497.116	CR-Dual-4,CR-Dual-11,CR-Dual-12,	CR-Dual-11	1	wifi
2.783.173	CR-Dual-6,CR-Dual-7,CR-Dual-11,CR-Dual-13,CR-Dual-16,CR-Dual-5,CR-Dual-16,CR-Dual-17,	CR-Dual-7	0	wifi
3.477.865	CR-Wifi-4,CR-Wifi-3,CR-Wifi-0,CR-Wifi-2,CR-Wifi-3,CR-Wifi-1,CR-Wifi-4,CR-Wifi-3,CR-Wifi-3,CR-Wifi-1,	CR-Wifi-1	1	wifi
3.058.317	CR-Dual-0,CR-Dual-18,CR-Dual-4,CR-Dual-3,CR-Dual-15,CR-Dual-6,	CR-Dual-15	0	wifi
3.769.874	CR-Wifi-0,CR-Wifi-2,CR-Wifi-4,CR-Wifi-3,	CR-Wifi-3	0	wifi
4.253.031	CR-Wifi-2,CR-Wifi-0,CR-Wifi-0,CR-Wifi-2,CR-Wifi-4,CR-Wifi-3,CR-Wifi-1,	CR-Wifi-3	1	wifi
4.524.573	CR-Wifi-4,CR-Wifi-3,CR-Wifi-4,CR-Wifi-0,CR-Wifi-4,CR-Wifi-4,CR-Wifi-3,CR-Wifi-2,CR-Wifi-4,CR-Wifi-0,	CR-Wifi-4	1	wifi
5.137.489	CR-Dual-17,CR-Dual-10,CR-Dual-3,CR-Dual-16,CR-Dual-7,CR-Dual-16,CR-Dual-15,CR-Dual-11,	CR-Dual-16	0	wifi
5.011.231	CR-Lte-0,CR-Lte-2,CR-Lte-1,CR-Lte-1,CR-Lte-3,	CR-Lte-0	1	lte
6.050.778	CR-Dual-15,CR-Dual-12,CR-Dual-7,	CR-Dual-12	0	wifi
6.463.371	CR-Wifi-4,CR-Wifi-3,CR-Wifi-4,CR-Wifi-2,CR-Wifi-4,CR-Wifi-4,CR-Wifi-4,CR-Wifi-4,CR-Wifi-2,	CR-Wifi-4	1	wifi

- Los datos de rendimiento de la red simulada en general se encuentran en el archivo /home/pablo/ns-allinone-3.23/ns-3.23/graph-information.txt

Graph-information.txt

No	ThroughPut(Kbps)	DelayTime(sec)	JitterTime(sec)	PacketLoss(%)
1	852.549	0.010001	0	0
2	852.549	0.0100018	0	0

3	852.549	0.0100027	0	0
4	852.549	0.0100036	0	0
5	852.549	0.0100045	0	0
6	852.549	0.0100053	0	0
7	852.549	0.0100062	0	0
8	852.549	0.0100071	0	0
9	852.548	0.010008	0	0
10	852.548	0.0100088	0	0
11	852.548	0.0100097	0	0
12	852.549	0.0100019	0	0
13	852.549	0.0100028	0	0
14	852.549	0.0100036	0	0

- Además existen archivos de salida para ser usados en el flow monitor de extensión .flomon y para ser usados por otros analizadores de extensión .pcap que se encuentran en /home/pablo/ns-allinone-3.23/ns-3.23

7. Ejemplos de uso de simulaciones

- Como primer ejemplo de uso, vamos a observar el movimiento de los terminales de NetAnim con parámetros especificados en el código Lte-wifi.sh

Primer ejemplo:

- Abrir el archivo Lte-wifi.sh, y configurarlo con los parámetros de la red deseados de acuerdo a la siguiente tabla de parámetros de entrada:

Parámetros	Configuración	Mínimo	Máximo
Frecuencia LTE	729Mhz	729Mhz	2170Mhz
Frecuencia WIFI	2400Mhz	2400Mhz	5875Mhz
Celdas en Enb	3	1	3
Ancho de Banda LTE	20Mhz	10Mhz	60Mhz
Ancho de Banda WIFI	20Mhz	20Mhz	150Mhz
Ruido dbm	-15dbm	0dbm	-250dbm
Potencia de transmisión	0.037mW	0.025mW	1.27mW
Potencia de recepción	0.06mW	0.025mW	1.27mW

Usuarios CR LTE	5	0	100
Usuarios CR WIFI	5	0	100
Usuarios duales CR	10	0	100
Usuarios primarios LTE	5	0	100
Usuarios primarios WIFI	5	0	100
Muestras para detección	16000	1000	30000
Rango de cobertura AP	200m	200m	500m
Rango de cobertura eNB	350m	350m	5000m
Tiempo de simulación	5 seg	0	120 horas

```
#!/bin/bash

#-----#

# Run the LTE-WIFI project using this Script

# NOTE:

# Please set all parameters correctly!

#-----#

rm -f *.txt

./waf --run "LTE-WIFI --ENB=3 --UserCrLte=5 --UserCrWifi=5 --DualUserCr=10 --
PrimaryUserLte=5 --PrimaryUserWifi=5 --simTime=5 --NumberOfSample=16000 --
trafficName=tcp --LteFrequency=729 --WifiFrequency=2.4 --LteUpBandWidth=20.0 --
LteDownBandWidth=20.0 --WifiBandWidth=20.0 --TX=0.037 --RX=0.06 --Noise=-15 --
ApX=200.0 --ApY=400.0 --ApZ=0.0 --eNBX=200.0 --eNBY=100.0 --eNBZ=0.0 --ApRange=200 --
EnbRange=350
```

- Guardar los cambios
- Abrir el terminal y ejecutar el comando ./Lte-Wifi.sh

```
pablo@pablo-VirtualBox:~/ns-allinone-3.23/ns-3.23$ ./Lte-Wifi.sh
Waf: Entering directory `~/home/pablo/ns-allinone-3.23/ns-3.23/build'
```

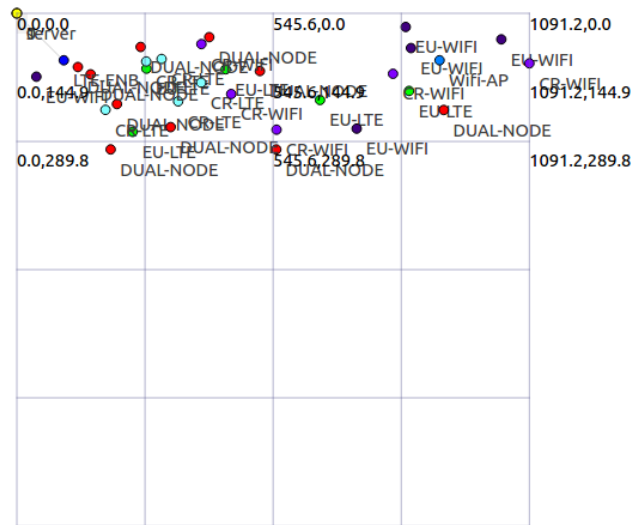
```

wscript:66: Warning: (in applications) Requested to build modular python
bindings, but apidefs dir not found => skipped the bindings.
# these variables are mandatory ('/' are converted automatically)
wscript:310: Warning: (in lte) Requested to build modular python bindings, but
apidefs dir not found => skipped the bindings.
env.append_value('LINKFLAGS', '-lgcov')
wscript:172: Warning: (in wifi) Requested to build modular python bindings, but
apidefs dir not found => skipped the bindings.
help=('DEPRECATED (run ./waf shell)'),
Waf: Leaving directory `/home/pablo/ns-allinone-3.23/ns-3.23/build'
'build' finished successfully (11.880s)
AnimationInterface WARNING:Node:0 Does not have a mobility model. Use
SetConstantPosition if it is stationary
AnimationInterface WARNING:Node:1 Does not have a mobility model. Use
SetConstantPosition if it is stationary
AnimationInterface WARNING:Node:25 Does not have a mobility model. Use
SetConstantPosition if it is stationary
AnimationInterface WARNING:Node:0 Does not have a mobility model. Use
SetConstantPosition if it is stationary
AnimationInterface WARNING:Node:1 Does not have a mobility model. Use
SetConstantPosition if it is stationary
AnimationInterface WARNING:Node:25 Does not have a mobility model. Use
SetConstantPosition if it is stationary

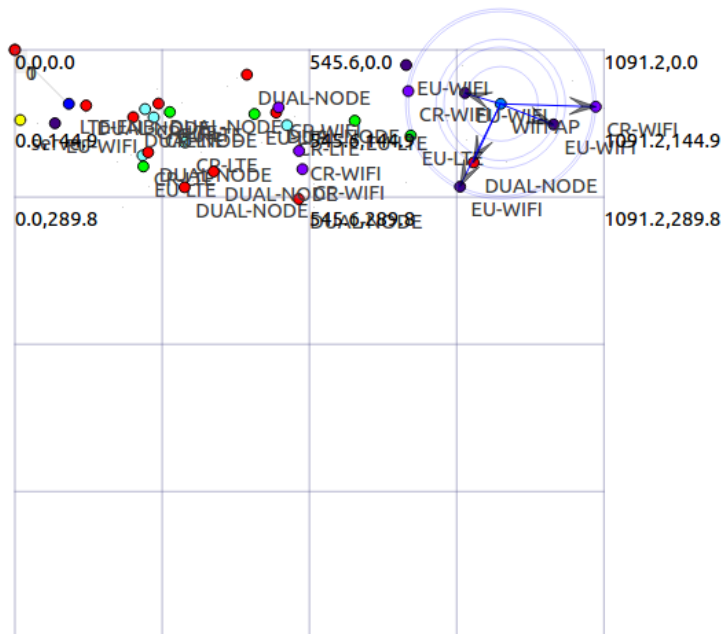
```

- Esperar hasta que la simulación haya culminado, el tiempo de real de la simulación será determinado por el tiempo de simulación escogido, tal como se muestra en el texto anterior.
- Ejecutar el comando `./NetAnim` en el terminal
- Una vez abierto NetAnim, dar clic en la parte superior izquierda del programa, en el ícono de carpeta, y escoger el archivo `LTE-wifi.xml`
- Iniciar el ambiente gráfico de la simulación dando clic en el ícono de play, se podrá observar el movimiento de los terminales a medida que la simulación transcurre.

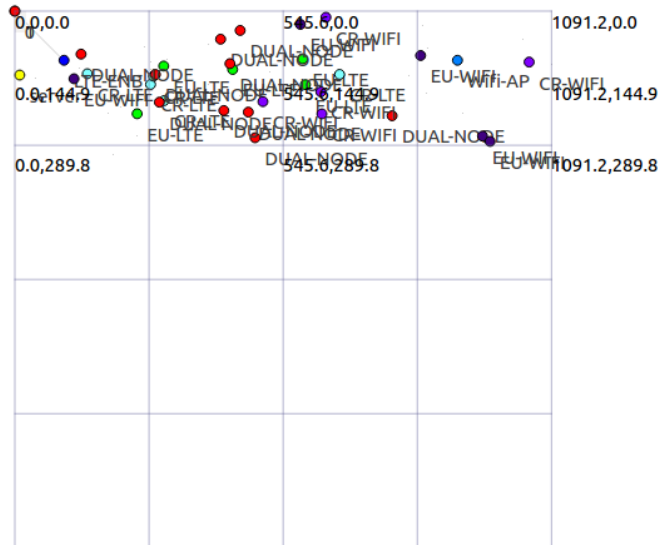
Movimiento de los terminales en NetAmin para ejemplo 1



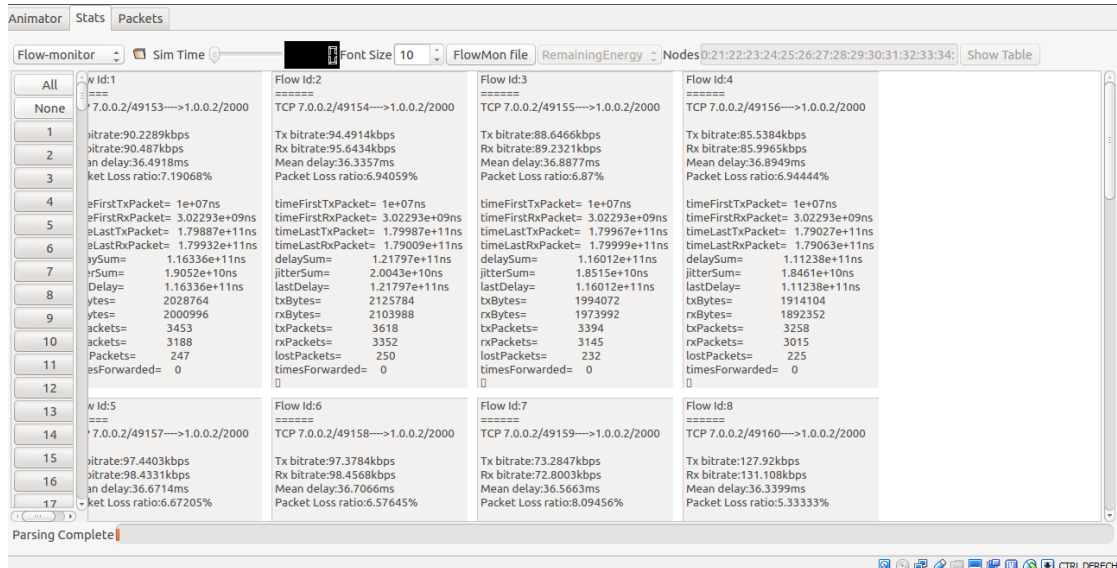
Movimiento de los terminales en NetAmin para ejemplo 1



Movimiento de los terminales en NetAmin para ejemplo 1



- En la pestaña de Stats se puede escoger la opción Flow-monitor, para observar estadística descriptiva y datos ip (jitter, delay, packet loss) de cada uno de los nodos de la simulación



- En la ruta /home/pablo/ns-allinone-3.23 se encuentran todos los archivos de simulación, los cuales pueden ser usados para la investigación y pruebas que se quieran realizar.

Segundo ejemplo:

- Configuramos los parámetros como lo muestra la figura de acuerdo a la siguiente tabla, observando cambios con el ejemplo uno:

Parámetros	Configuración	Mínimo	Máximo
Frecuencia LTE	729Mhz	729Mhz	2170Mhz
Frecuencia WIFI	2400Mhz	2400Mhz	5875Mhz
Celdas en Enb	3	1	3
Ancho de Banda LTE	20Mhz	10Mhz	60Mhz
Ancho de Banda WIFI	20Mhz	20Mhz	150Mhz
Ruido dbm	-15dbm	0dbm	-250dbm
Potencia de transmisión	0.037mW	0.025mW	1.27mW
Potencia de recepción	0.06mW	0.025mW	1.27mW
Usuarios CR LTE	3	0	100
Usuarios CR WIFI	3	0	100
Usuarios duales CR	15	0	100
Usuarios primarios LTE	8	0	100
Usuarios primarios WIFI	8	0	100
Muestras para detección	16000	1000	30000
Rango de cobertura AP	300m	200m	500m
Rango de cobertura eNB	1000m	350m	5000m
Tiempo de simulación	10 seg	0	120 horas

```
#!/bin/bash

#-----#

# Run the LTE-WIFI project using this Script
```

```
# NOTE:

# Please set all parameters correctly!

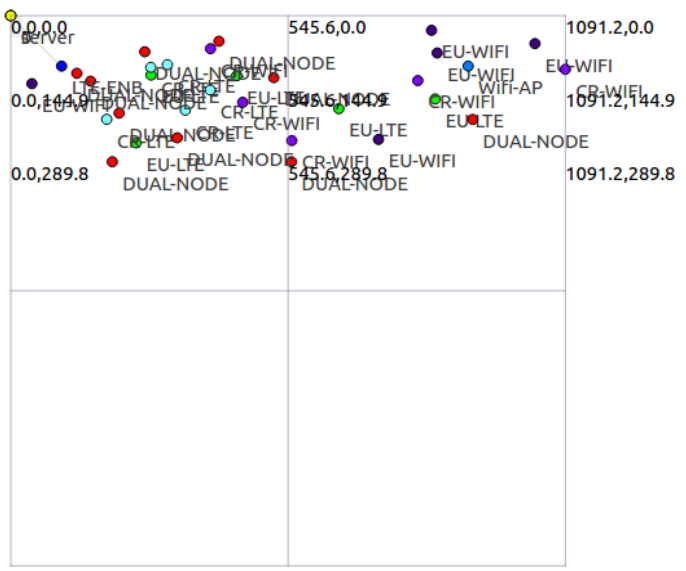
#-----#

rm -f *.txt

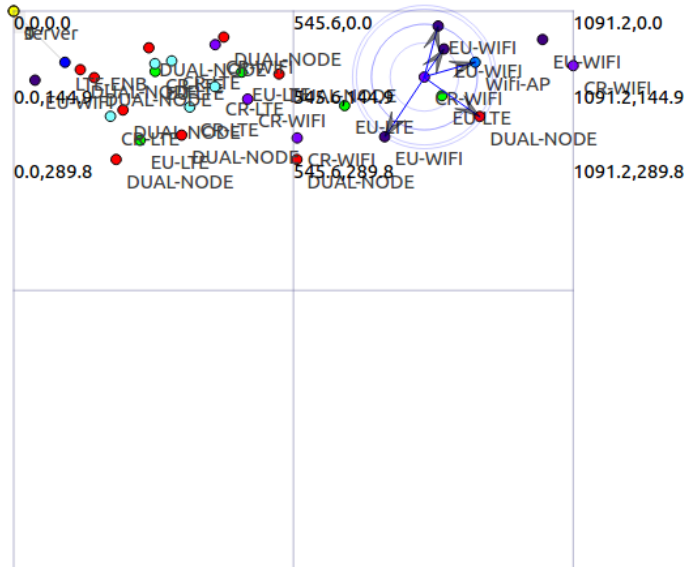
./waf --run "LTE-WIFI --ENB=3 --UserCrLte=3 --UserCrWifi=3 --DualUserCr=15 --
PrimaryUserLte=8 --PrimaryUserWifi=8 --simTime=10 --NumberOfSample=16000 --
trafficName=tcp --LteFrequency=729 --WifiFrequency=2.4 --LteUpBandWidth=20.0 --
LteDownBandWidth=20.0 --WifiBandWidth=20.0 --TX=0.037 --RX=0.06 --Noise=-15 --
ApX=200.0 --ApY=400.0 --ApZ=0.0 --eNBX=200.0 --eNBZ=100.0 --ApRange=300 --
EnbRange=1000"
```

- Guardamos los cambios y ejecutamos como en el ejemplo 1
- Esperamos hasta finalizar la simulación
- Ejecutamos NetAnim como en el ejemplo 1
- Iniciar el ambiente gráfico de la simulación dando clic en el ícono de play, se podrá observar la diferencia con el ejemplo 1 en cuanto a cantidad de usuarios y ubicación.

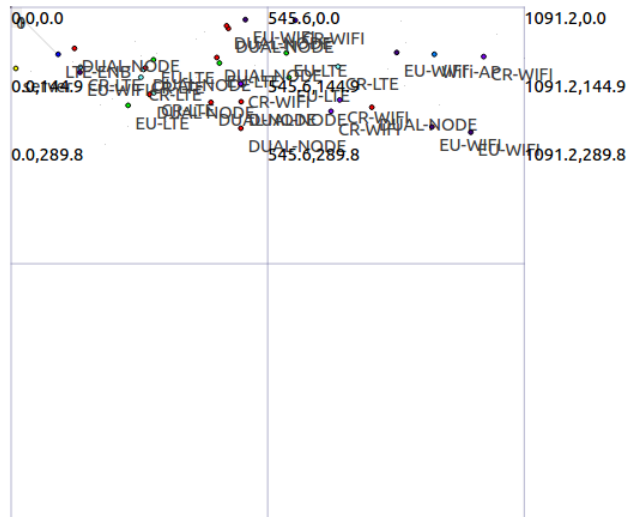
Movimiento de los terminales en NetAmin para ejemplo 2



Movimiento de los terminales en NetAmin para ejemplo 2



Movimiento de los terminales en NetAmin para ejemplo 2



- Los archivos de datos de resultados obtenidos en la simulación son sobrescritos en la ruta /home/pablo/ns-allinone-3.23

Tercer ejemplo:

- En este ejemplo se van a variar la cantidad de usuarios primarios y secundarios, esto es para demostrar la extensión del simulador y futuros trabajos.
- Configuramos los parámetros como lo muestra la figura de acuerdo a la siguiente tabla:

Parámetros	Configuración	Mínimo	Máximo
Frecuencia LTE	729Mhz	729Mhz	2170Mhz
Frecuencia WIFI	2400Mhz	2400Mhz	5875Mhz
Celdas en Enb	3	1	3
Ancho de Banda LTE	20Mhz	10Mhz	60Mhz
Ancho de Banda WIFI	20Mhz	20Mhz	150Mhz
Ruido dbm	-15dbm	0dbm	-250dbm
Potencia de transmisión	0.037mW	0.025mW	1.27mW
Potencia de recepción	0.06mW	0.025mW	1.27mW
Usuarios CR LTE	5	0	100
Usuarios CR WIFI	5	0	100
Usuarios duales CR	20	0	100
Usuarios primarios LTE	10	0	100
Usuarios primarios WIFI	10	0	100
Muestras para detección	16000	1000	30000
Rango de cobertura AP	300m	200m	500m
Rango de cobertura eNB	1000m	350m	5000m
Tiempo de simulación	15 seg	0	120 horas

```
#!/bin/bash

#-----#

# Run the LTE-WIFI project using this Script
```

NOTE:

Please set all parameters correctly!

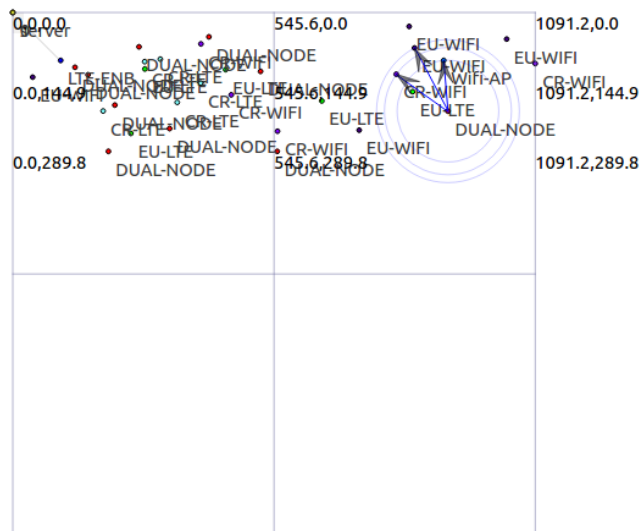
#-----#

rm -f *.txt

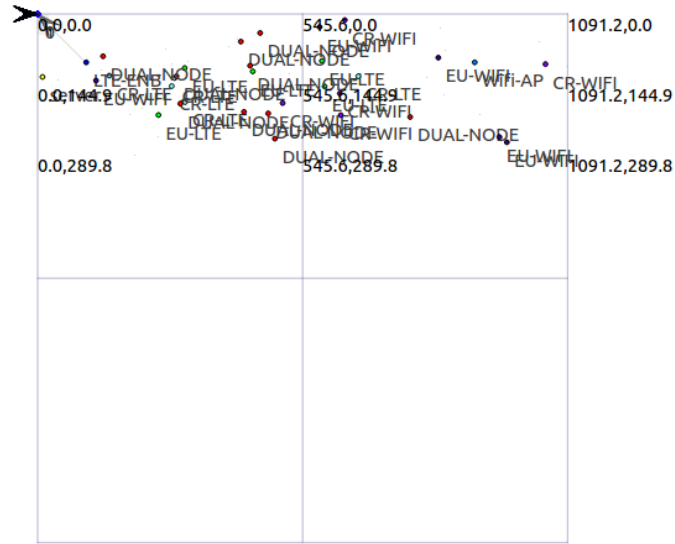
```
./waf --run "LTE-WIFI --ENB=3 --UserCrLte=5 --UserCrWifi=5 --DualUserCr=20 --  
PrimaryUserLte=10 --PrimaryUserWifi=10 --simTime=15 --NumberOfSample=16000 --  
trafficName=tcp --LteFrequency=729 --WifiFrequency=2.4 --LteUpBandWidth=20.0 --  
LteDownBandWidth=20.0 --WifiBandWidth=20.0 --TX=0.037 --RX=0.06 --Noise=-15 --  
ApX=200.0 --ApY=400.0 --ApZ=0.0 --eNBX=200.0 --eNBZ=100.0 --eNBZ=0.0 --ApRange=300 --  
EnbRange=1000"
```

- Guardamos los cambios y ejecutamos como en los ejemplos anteriores.
- Esperamos hasta finalizar la simulación.
- Ejecutamos NetAnim como en los ejemplos anteriores
- Iniciar el ambiente gráfico de la simulación dando clic en el ícono de play.

Movimiento de los terminales en NetAnim para ejemplo 3



Movimiento de los terminales en NetAmin para ejemplo 3



- Además observamos los resultados en el archivo de salida `/home/pablo/ns-allinone-3.23/ns-3.23/svd-result.txt`, con estos datos podríamos obtener modelos del método de detección variando el número de usuarios y su generalización.

Svd-result.txt

Time	Type of User	Detection	Primary User
(0 not detect, 1 detect)			
0.220000	CR-Lte-0	1	EU-Lte-5
1.105523	CR-Dual-8	1	EU-Lte-8
1.994839	CR-Wifi-0	1	EU-Wifi-5
2.488930	CR-Wifi-0	1	EU-Wifi-5
2.921562	CR-Dual-15	1	EU-Lte-9
3.266540	CR-Lte-2	1	EU-Lte-3
3.538929	CR-Lte-2	0	EU-Lte-4
3.958482	CR-Lte-2	1	EU-Lte-8
4.743278	CR-Dual-6	1	EU-Wifi-1
4.964039	CR-Dual-17	1	EU-Wifi-3
5.211961	CR-Dual-4	1	EU-Lte-1
5.536223	CR-Dual-16	1	EU-Lte-8
6.354093	CR-Lte-3	1	EU-Lte-7
7.085685	CR-Lte-4	1	EU-Lte-6
7.628540	CR-Dual-0	1	EU-Wifi-1
7.889481	CR-Dual-4	1	EU-Wifi-7
8.159196	CR-Lte-3	0	EU-Lte-7
8.872944	CR-Wifi-0	0	EU-Wifi-4
9.249632	CR-Dual-3	0	EU-Wifi-3
9.888745	CR-Wifi-3	1	EU-Wifi-9

10.661858	CR-Dual-14	1	EU-Wifi-2
11.550767	CR-Lte-3	1	EU-Lte-2
12.237540	CR-Dual-11	0	EU-Lte-5
12.619910	CR-Dual-12	1	EU-Lte-4
13.548115	CR-Lte-0	1	EU-Lte-1
13.762521	CR-Wifi-2	0	EU-Wifi-8
14.207478	CR-Wifi-4	1	EU-Wifi-3

Probability of Detect: 0.777778 Probability of false Detect: 0.222222

D. Códigos y Scripts

1. Script para inicialización de parámetros del simulador

```
1 #!/bin/bash
2 #-----#
3 #       Run the LTE-WIFI project using this Script
4 # NOTE:
5 # Please set all parameters correctly!
6 #-----#
7 rm -f *.txt
8 ./waf --run "LTE-WIFI --ENB=3 --UserCrLte=3 --UserCrWifi=3
   --DualUserCr=15 --PrimaryUserLte=8 --PrimaryUserWifi=8
   --simTime=10 --NumberOfSample=16000 --trafficName=tcp
   --LteFrequency=729 --WifiFrequency=2.4 --LteUpBandWidth=20.0
   --LteDownBandWidth=20.0 --WifiBandWidth=20.0 --TX=0.037 --RX=0.06
   --Noise=-15 --ApX=200.0 --ApY=400.0 --ApZ=0.0 --eNBX=200.0
   --eNBZ=100.0 --eNBZ=0.0 --ApRange=300 --EnbRange=1000"
```

codigo/Lte-Wifi.C

2. Script principal para generación de simulación

```
1 #include <iostream>
2 #include "ns3/netanim-module.h"
3 #include "ns3/core-module.h"
4 #include "ns3/network-module.h"
5 #include "ns3/internet-module.h"
6 #include "ns3/mobility-module.h"
7 #include "ns3/wifi-module.h"
8 #include "ns3/aodv-module.h"
9 #include "ns3/lte-helper.h"
10 #include "ns3/epc-helper.h"
11 #include "ns3/core-module.h"
12 #include "ns3/network-module.h"
13 #include "ns3/ipv4-global-routing-helper.h"
14 #include "ns3/internet-module.h"
15 #include "ns3/mobility-module.h"
16 #include "ns3/lte-module.h"
17 #include "ns3/applications-module.h"
18 #include "ns3/point-to-point-helper.h"
19 #include "ns3/config-store.h"
20 #include <ns3/spectrum-module.h>
21 #include <ns3/cognitive-module.h>
22 #include <cmath>
23 #include <string>
```

```

24 #include <cassert>
25 #include <fstream>
26 #include <stdio.h>
27 #include <stdlib.h>
28 #include <time.h>
29
30 #include "ns3/basic-energy-source.h"
31 #include "ns3/wifi-radio-energy-model.h"
32 #include "ns3/flow-monitor-helper.h"
33 #include "ns3/ipv4-flow-classifier.h"
34 #include "ns3/uinteger.h"
35
36 using namespace ns3;
37 using namespace std;
38
39 #define max(a, b) ((a) > (b) ? (a) : (b))
40
41 NS_LOG_COMPONENT_DEFINE ("LTE-WIFI");
42
43 /*
44  * Main Function
45  */
46 int main(int argc, char *argv[]) {
47     uint16_t numberOfDualNodes = 10; // Number of dual nodes
48     uint16_t numberOfEUL = 5; // Number of Primary User LTE
49     uint16_t numberOfCUL = 5; // Number of User CR LTE
50     uint16_t numberOfEUW = 5; // Number of Primary User WIFI
51     uint16_t numberOfCUW = 5; // Number of User CR WIFI
52
53     // The number of dual nodes will be 10
54     uint16_t numberOfeNBNodes = 1; // Number of eNB node for LTE
55     uint16_t numberOfapNodes = 1; // Number of AP node for WIFI
56     double simTime = 5; // Simulating Time
57     double distance = 200.0; // Distance between eNB and AP
58     double interPacketInterval = 100; // Interval time for sending
        packet
59     int nodeSpeed = 100; // Speed of Nodes in m/s
60     int nodePause = 0; // Pause time in sec
61     uint8_t bandwidth = 25; // BandWidth of Network
62     uint8_t upBW = 25; // Uplink BandWidth
63     uint8_t downBW = 25; // Downlink BandWidth
64     bool generateSpectrumTrace = false;
65     double eNBX, eNBY, eNBZ; // position of eNB node for LTE
66     double ApX, ApY, ApZ; // position of AP node for WIFI
67     eNBX = eNBY = eNBZ = 100.0;
68     ApX = ApY = ApZ = 100.0;
69
70     double tx = 0.37; // transmisstion data power
71     double rx = 0.6; // received data power

```

```

72 double noise = 1e-15; // Noise is the -120dBm
73 string trafficName, traffic;
74
75 uint32_t wifiFrequency = 2.4;
76 uint32_t lteFrequency = 100;
77 double ApRange = 250.0;
78 double EnbRange = 500.0;
79 time_t startTd, endTd;
80
81 int numberOfSample = 16000;
82
83 char dtbuf[256] = { 0 };
84 FILE* timeFp = fopen("simulating-time.txt", "a+");
85 time(&startTd);
86     strftime(dtbuf, sizeof dtbuf, "%A %b %d %H:%M:%S %Y",
87             localtime(&startTd));
87 fprintf(timeFp, "StartTime: %s\n", dtbuf);
88
89 SeedManager::SetSeed((unsigned int)time(NULL));
90
91 // Command line arguments
92 CommandLine cmd;
93 cmd.AddValue("ENB", "Number of ENB", numberOfENBNodes);
94 cmd.AddValue("UserCrWifi", "Number of UserCrWifi", numberOfCUW);
95 cmd.AddValue("UserCrLte", "Number of UserCrLte", numberOfCUL);
96 cmd.AddValue("DualUserCr", "Number of DualUserCr",
97             numberOfDualNodes);
97 cmd.AddValue("PrimaryUserWifi", "Number of PrimaryUserWifi",
98             numberOfEUW);
98 cmd.AddValue("PrimaryUserLte", "Number of PrimaryUserLte",
99             numberOfEUL);
99
100 cmd.AddValue("simTime", "Total duration of the simulation [s]",
101             simTime);
101 cmd.AddValue("NumberOfSample", "Number of the sample for SVD
102             Matrix)", numberOfSample);
102 cmd.AddValue("trafficName", "Traffic Name of Network (TCP or
103             UDP)", traffic);
103 cmd.AddValue("eNBX", "X position of eNB node", eNBX);
104 cmd.AddValue("eNBY", "Y position of eNB node", eNBY);
105 cmd.AddValue("eNBZ", "Z position of eNB node", eNBZ);
106 cmd.AddValue("LteUpBandWidth", "Upload bandwidth in LTE", upBW);
107 cmd.AddValue("LteDownBandWidth", "Download bandwidth in LTE",
108             downBW);
108
109 cmd.AddValue("ApX", "X position of AP node", ApX);
110 cmd.AddValue("ApY", "Y position of AP node", ApY);
111 cmd.AddValue("ApZ", "Z position of AP node", ApZ);
112 cmd.AddValue("WifiBandWidth", "BandWidth in WIFI", bandwidth);

```

```

113
114 cmd.AddValue("TX", "Transmission data power", tx);
115 cmd.AddValue("RX", "Received data power", rx);
116 cmd.AddValue("Noise", "Noise of Network", noise);
117
118 cmd.AddValue("WifiFrequency", "Wifi Frequency (GHz)",
119     wifiFrequency);
120 cmd.AddValue("LteFrequency", "Lte Frequency (MHz)", lteFrequency);
121 cmd.AddValue("ApRange", "Ap cover area (m)", ApRange);
122 cmd.AddValue("EnbRange", "Enb cover area (m)", EnbRange);
123
124 cmd.Parse(argc, argv);
125 trafficName = "udp";
126
127 // set the SrsPeriodicity of Lte
128 Config::SetDefault("ns3::LteEnbRrc::SrsPeriodicity",
129     UIntegerValue(320));
130
131 // create the Lte helper
132 Ptr < LteHelper > lteHelper = CreateObject<LteHelper>();
133 Ptr < PointToPointEpcHelper > epcHelper =
134     CreateObject<PointToPointEpcHelper>();
135 lteHelper->SetEpcHelper(epcHelper);
136
137 ConfigStore inputConfig;
138 inputConfig.ConfigureDefaults();
139 cmd.Parse(argc, argv);
140
141 Ptr < Node > pgw = epcHelper->GetPgwNode();
142
143 // create the remote host container
144 NodeContainer remoteHostContainer;
145 remoteHostContainer.Create(1);
146 Ptr < Node > remoteHost = remoteHostContainer.Get(0);
147 InternetStackHelper internet; // create the internet stack helper
148 internet.Install(remoteHostContainer); // install the remote host
149 to internet stack
150
151 //=====
152 // set the properties to Lte helper
153 lteHelper->SetSchedulerType("ns3::PffMacScheduler");
154 lteHelper->SetSchedulerAttribute("UlCqiFilter",
155     EnumValue(FfMacScheduler::PUSCH_UL_CQI));
156 lteHelper->SetEnbDeviceAttribute("DlBandwidth",
157     UIntegerValue(downBW));
158 lteHelper->SetEnbDeviceAttribute("UlBandwidth",
159     UIntegerValue(upBW));
160
161 #ifdef ENB

```



```

157 lteHelper->SetEnbDeviceAttribute("Range", DoubleValue(EnbRange));
158 SVD::L = numberOfSample;
159 #endif
160
161 // Create the Internet
162 PointToPointHelper p2ph;
163 p2ph.SetDeviceAttribute("DataRate",
164     DataRateValue(DataRate("100Gb/s")));
164 p2ph.SetDeviceAttribute("Mtu", UIntegerValue(1500));
165 p2ph.SetChannelAttribute("Delay", TimeValue(Seconds(0.010)));
166 NetDeviceContainer internetDevices = p2ph.Install(pgw, remoteHost);
167
168 // create the Ipv4Address Helper
169 Ipv4AddressHelper ipv4h;
170 ipv4h.SetBase("1.0.0.0", "255.0.0.0"); // set the base network
171     address
171 Ipv4InterfaceContainer internetIpIfaces =
172     ipv4h.Assign(internetDevices);
172 Ipv4Address remoteHostAddr = internetIpIfaces.GetAddress(1); //
173     set the remote host address
173 Ipv4StaticRoutingHelper ipv4RoutingHelper;
174 Ptr < Ipv4StaticRouting > remoteHostStaticRouting = // set the
175     routing of host
175     ipv4RoutingHelper.GetStaticRouting(remoteHost->GetObject<Ipv4>());
176 remoteHostStaticRouting->AddNetworkRouteTo(Ipv4Address("7.0.0.0"),
177     // add the routing table to host
177     Ipv4Mask("255.0.0.0"), 1);
178 p2ph.EnablePcapAll("Lte-module"); // enable the pcap log
179
180 // node containers (dual nodes, primary lte user and cr lte user)
181 NodeContainer EULNodes;
182 NodeContainer CRLNodes;
183 NodeContainer dualNodes;
184 EULNodes.Create(numberOfEUL); // create the primary lte nodes
185 CRLNodes.Create(numberOfCUL); // create the cr lte nodes
186 dualNodes.Create(numberOfDualNodes); // create the dule nodes
187
188 NodeContainer ueNodes(EULNodes, CRLNodes, dualNodes); // create
189     the ue nodecontainer
189 NodeContainer enbNodes; // create the enb nodescontainer
190 enbNodes.Create(numberOfeNBNodes); // create the enb nodes
191
192 // set the scheduler to Lte helper
193 lteHelper->SetSchedulerType("ns3::PffMacScheduler");
194 std::string frAlgorithmType = lteHelper->GetFfrAlgorithmType();
195 NS_LOG_DEBUG("FrAlgorithmType: " << frAlgorithmType);
196
197 // create and initial the coalition module
198 if (frAlgorithmType == "ns3::coalition") {

```

```

199     lteHelper->SetSchedulerAttribute("ULCqiFilter",
200         EnumValue(FfMacScheduler::PUSCH_UL_CQI));
201     lteHelper->SetEnbDeviceAttribute("DlBandwidth",
202         UIntegerValue(downBW));
203     lteHelper->SetEnbDeviceAttribute("UlBandwidth",
204         UIntegerValue(upBW));
205 }
206
207 lteHelper->SetHandoverAlgorithmType
208     ("ns3::A2A4RsrqHandoverAlgorithm");
209 lteHelper->SetHandoverAlgorithmAttribute ("ServingCellThreshold",
210     UIntegerValue (30));
211 lteHelper->SetHandoverAlgorithmAttribute ("NeighbourCellOffset",
212     UIntegerValue (1));
213
214 // create the mobility model
215 MobilityHelper mobility1;
216
217 // Install Mobility Model
218 Ptr < ListPositionAllocator > positionAlloc = CreateObject<
219     ListPositionAllocator>();
220 for (uint16_t i = 0; i < numberOfNBNodes; i++) {
221     positionAlloc->Add(Vector(distance * i, 0, 0));
222 }
223
224 mobility1.SetMobilityModel("ns3::ConstantPositionMobilityModel");
225 mobility1.SetPositionAllocator(positionAlloc);
226 MobilityHelper mobility;
227 int64_t streamIndex = 0; // used to get consistent mobility across
228     scenarios
229
230 ObjectFactory pos;
231 pos.SetTypeId("ns3::RandomRectanglePositionAllocator");
232
233 char buf[512] = { 0 };
234 sprintf(buf, "ns3::UniformRandomVariable [Min=0.0|Max=%f]",
235     max(ApX, eNBX) + 200);
236 pos.Set("X", StringValue(buf));
237
238 memset(buf, 0, 512);
239 sprintf(buf, "ns3::UniformRandomVariable [Min=0.0|Max=%f]",
240     max(ApY, eNBY) + 200);
241 pos.Set("Y", StringValue(buf));
242
243 Ptr < PositionAllocator > taPositionAlloc =
244     pos.Create()->GetObject<
245     PositionAllocator>();
246 streamIndex += taPositionAlloc->AssignStreams(streamIndex);
247 std::stringstream ssSpeed;

```

```

241 ssSpeed << "ns3::UniformRandomVariable [Min=0.0|Max=" << nodeSpeed
    << " ]";
242 std::stringstream ssPause;
243 ssPause << "ns3::ConstantRandomVariable [Constant=" << nodePause <<
    " ]";
244 mobility.SetMobilityModel("ns3::RandomWaypointMobilityModel",
    "Speed",
245     StringValue(ssSpeed.str()), "Pause",
        StringValue(ssPause.str()),
246     "PositionAllocator", PointerValue(taPositionAlloc));
247 mobility.SetPositionAllocator(taPositionAlloc); // set the
    position allocation
248 mobility.Install(ueNodes); // install the ue nodes to mobility
    model
249 mobility1.Install(enbNodes); // install the enb node to mobility
    model
250 NetDeviceContainer enbLteDevs =
    lteHelper->InstallEnbDevice(enbNodes); // install the enb node
    device
251 NetDeviceContainer ueLteDevs =
    lteHelper->InstallUeDevice(ueNodes); // install the ue nodes
    device
252 internet.Install(ueNodes);
253 Ipv4InterfaceContainer ueIpIface;
254 ueIpIface =
    epcHelper->AssignUeIpv4Address(NetDeviceContainer(ueLteDevs));
255
256 // install the routing table to ue nodes
257 for (uint32_t u = 0; u < ueNodes.GetN(); ++u) {
258     Ptr < Node > ueNode = ueNodes.Get(u);
259     Ptr < Ipv4StaticRouting > ueStaticRouting =
260         ipv4RoutingHelper.GetStaticRouting(ueNode->GetObject<Ipv4>());
261     ueStaticRouting->SetDefaultRoute(
262         epcHelper->GetUeDefaultGatewayAddress(), 1);
263 }
264
265 // add the ue nodes to enb node
266 for (uint32_t i = 0; i < numberOfNBNodes; i ++) {
267     uint32_t numUe = ueNodes.GetN();
268     for (uint16_t j = numUe / numberOfNBNodes * i; j < numUe /
        numberOfNBNodes * (i + 1); j++) {
269         lteHelper->Attach(ueLteDevs.Get(j), enbLteDevs.Get(i));
270     }
271 }
272
273 // create the spectrum Analyzer Node
274 NodeContainer spectrumAnalyzerNodes;
275 spectrumAnalyzerNodes.Create(1);
276 SpectrumAnalyzerHelper spectrumAnalyzerHelper;

```

```

277
278 if (generateSpectrumTrace) {
279     Ptr < ListPositionAllocator > positionAlloc = CreateObject<
280         ListPositionAllocator>();
281
282     positionAlloc->Add(Vector(distance * 0.5, distance * 0.866,
283         0.0)); // eNB3
284
285     // create the mobility model of spectrumAnalyzerNode
286     MobilityHelper mobility;
287     mobility.SetMobilityModel("ns3::ConstantPositionMobilityModel");
288     mobility.SetPositionAllocator(positionAlloc);
289     mobility.Install(spectrumAnalyzerNodes);
290
291     Ptr < LteSpectrumPhy > enbDlSpectrumPhy =
292         enbNodes.Get(0)->GetObject<LteEnbNetDevice>()->GetPhy()->GetDownlinkSp
293         LteSpectrumPhy>();
294     Ptr < SpectrumChannel > dlChannel =
295         enbDlSpectrumPhy->GetChannel();
296
297     // set channel to spectrumAnalyzerNode
298     spectrumAnalyzerHelper.SetChannel(dlChannel);
299     Ptr < SpectrumModel > sm =
300         LteSpectrumValueHelper::GetSpectrumModel(lteFrequency,
301         bandwidth);
302     spectrumAnalyzerHelper.SetRxSpectrumModel(sm);
303     spectrumAnalyzerHelper.SetPhyAttribute("Resolution",
304         TimeValue(MicroSeconds(10)));
305     spectrumAnalyzerHelper.SetPhyAttribute("NoisePowerSpectralDensity",
306         DoubleValue(noise));
307     spectrumAnalyzerHelper.EnableAsciiAll("spectrum-analyzer-output");
308     spectrumAnalyzerHelper.Install(spectrumAnalyzerNodes);
309 }
310
311 lteHelper->EnableTraces(); // enable the trace of lte
312
313 // create the nodecontainer (primary wifi user, cr wifi user)
314 NodeContainer EUWNodes;
315 NodeContainer CRWNodes;
316 EUWNodes.Create(numberOfEUW); // create the primary wifi user nodes
317 CRWNodes.Create(numberOfCUW); // create the cr wifi user nodes
318
319 Config::SetDefault ("ns3::RangePropagationLossModel::MaxRange",
320     DoubleValue (ApRange));
321
322 // create the wifi nodes
323 NodeContainer wifiNodes(EUWNodes, CRWNodes, dualNodes);
324
325 // create the wifi Ap nodecontainer

```

```

322 NodeContainer wifiApNode;
323 wifiApNode.Create(numberOfapNodes); // create the AP node
324
325 // nodecontainer of all nodes for wifi
326 NodeContainer allWifiNodes(EUWNodes, CRWNodes, wifiApNode);
327
328 YansWifiChannelHelper channel = YansWifiChannelHelper::Default();
329 // create the wifi channel helper
330 channel.AddPropagationLoss ("ns3::RangePropagationLossModel");
331
332 YansWifiPhyHelper phy = YansWifiPhyHelper::Default(); //
333 // create the wifi phy helper
334 phy.SetChannel(channel.Create()); // set the channel to phy
335 phy.Set("Frequency", UintegerValue(wifiFrequency * 1024 * 1024));
336
337 WifiHelper wifi = WifiHelper::Default(); // create the wifi helper
338 wifi.SetRemoteStationManager("ns3::AarfWifiManager"); // set the
339 // remote station manager for wifi
340 NqosWifiMacHelper mac = NqosWifiMacHelper::Default(); // create
341 // the wifi mac layer for wifi
342 Ssid ssid = Ssid("ns-3-ssid"); // set the ssid for wifi
343 mac.SetType("ns3::StaWifiMac", "Ssid", SsidValue(ssid),
344 "ActiveProbing",
345 BooleanValue(false));
346
347 // create the sta device for wifi nodes
348 NetDeviceContainer staDevices;
349 staDevices = wifi.Install(phy, mac, wifiNodes); // install the
350 // wifi nodes to sta device
351 mac.SetType("ns3::ApWifiMac", "Ssid", SsidValue(ssid)); // set
352 // type to mac layer
353
354 // create the ap device for wifi node
355 NetDeviceContainer apDevices;
356 apDevices = wifi.Install(phy, mac, wifiApNode); // install the ap
357 // node to ap device
358 mobility1.Install(wifiApNode); // install the wifi AP to mobility
359 // model
360 mobility.Install(EUWNodes); // install the primary wifi user to
361 // mobility model
362 mobility.Install(CRWNodes); // install the cr wifi user to
363 // mobility model
364
365 InternetStackHelper stack; // create the internet stack
366 stack.Install(allWifiNodes); // install the wifi nodes to
367 // internet stack
368
369 // create the Ipv4AddressHelper
370 Ipv4AddressHelper address;

```

```

359 address.SetBase("10.1.1.0", "255.255.255.0"); // set the base
      network address
360 Ipv4InterfaceContainer staInterfaces;
361
362 // assign all nodes to ipv4
363 staInterfaces = address.Assign(staDevices);
364 Ipv4InterfaceContainer apInterface;
365 apInterface = address.Assign(apDevices);
366
367 // create the basic energy source
368 Ptr < BasicEnergySource > energySource =
      CreateObject<BasicEnergySource>();
369 Ptr < WifiRadioEnergyModel > energyModel =
      CreateObject<WifiRadioEnergyModel>();
370
371 energySource->SetInitialEnergy(3000); // init the energy model
372 energyModel->SetEnergySource(energySource); // set the energy
      source to nodes
373 energySource->AppendDeviceEnergyModel(energyModel); // append the
      energy model
374 energyModel->SetTxCurrentA(tx); // set the transmission
      power
375 energyModel->SetRxCurrentA(rx); // set the received power
376
377 phy.EnablePcapAll("Wifi-module"); // enable the pcap log
378 uint16_t dlPort = 1000; // download port
379 uint16_t ulPort = 2000; // upload port
380 uint16_t otherPort = 3000; // other port
381 ApplicationContainer clientApps; // applications container for
      client app
382 ApplicationContainer serverApps; // applications container for
      server app
383
384 // install the application to nodes
385 for (uint32_t u = 0; u < ueNodes.GetN(); ++u) {
386     if (trafficName == "udp") { // traffic mode UDP
387         ++ulPort;
388         ++otherPort;
389         PacketSinkHelper dlPacketSinkHelper("ns3::UdpSocketFactory",
390             InetSocketAddress(Ipv4Address::GetAny(), dlPort),
391             numberOfDualNodes, numberOfEUL, numberOfCUL,
392             numberOfEUW, numberOfCUW, simTime);
393         PacketSinkHelper ulPacketSinkHelper("ns3::UdpSocketFactory",
394             InetSocketAddress(Ipv4Address::GetAny(), ulPort),
395             numberOfDualNodes, numberOfEUL, numberOfCUL,
396             numberOfEUW, numberOfCUW, simTime);
397         PacketSinkHelper packetSinkHelper("ns3::UdpSocketFactory",
398             InetSocketAddress(Ipv4Address::GetAny(), otherPort),
399             numberOfDualNodes, numberOfEUL, numberOfCUL,
400             numberOfEUW, numberOfCUW, simTime);

```

```

395     serverApps.Add(dlPacketSinkHelper.Install(ueNodes.Get(u)));
396     serverApps.Add(ulPacketSinkHelper.Install(remoteHost));
397     serverApps.Add(packetSinkHelper.Install(ueNodes.Get(u)));
398
399     UdpClientHelper dlClient(ueIpIface.GetAddress(u), dlPort);
400     dlClient.SetAttribute("Interval",
401         TimeValue(Milliseconds(interPacketInterval)));
402     dlClient.SetAttribute("MaxPackets", UIntegerValue(1000000));
403
404     UdpClientHelper ulClient(remoteHostAddr, ulPort);
405     ulClient.SetAttribute("Interval",
406         TimeValue(Milliseconds(interPacketInterval)));
407     ulClient.SetAttribute("MaxPackets", UIntegerValue(1000000));
408
409     UdpClientHelper client(ueIpIface.GetAddress(u), otherPort);
410     client.SetAttribute("Interval",
411         TimeValue(Milliseconds(interPacketInterval)));
412     client.SetAttribute("MaxPackets", UIntegerValue(1000000));
413
414     clientApps.Add(dlClient.Install(remoteHost));
415     clientApps.Add(ulClient.Install(ueNodes.Get(u)));
416     if (u + 1 < ueNodes.GetN()) {
417         clientApps.Add(client.Install(ueNodes.Get(u + 1)));
418     } else {
419         clientApps.Add(client.Install(ueNodes.Get(0)));
420     }
421 } else if (trafficName == "tcp") { // traffic mode TCP
422     PacketSinkHelper dlPacketSinkHelper("ns3::TcpSocketFactory",
423         InetSocketAddress(Ipv4Address::GetAny(), dlPort),
424         numberofDualNodes, numberofEUL, numberofCUL,
425         numberofEUW, numberofCUW, simTime);
426     PacketSinkHelper ulPacketSinkHelper("ns3::TcpSocketFactory",
427         InetSocketAddress(Ipv4Address::GetAny(), ulPort),
428         numberofDualNodes, numberofEUL, numberofCUL,
429         numberofEUW, numberofCUW, simTime);
430     PacketSinkHelper packetSinkHelper("ns3::TcpSocketFactory",
431         InetSocketAddress(Ipv4Address::GetAny(), otherPort),
432         numberofDualNodes, numberofEUL, numberofCUL,
433         numberofEUW, numberofCUW, simTime);
434     serverApps.Add(dlPacketSinkHelper.Install(ueNodes.Get(u)));
435     serverApps.Add(ulPacketSinkHelper.Install(remoteHost));
436     serverApps.Add(packetSinkHelper.Install(ueNodes.Get(u)));
437
438     BulkSendHelper dlClientHelper ("ns3::TcpSocketFactory",
439         InetSocketAddress(Ipv4Address::GetAny(), dlPort));
440     dlClientHelper.SetAttribute ("MaxBytes", UIntegerValue (0));
441     clientApps.Add (dlClientHelper.Install (remoteHost));
442     serverApps.Add (dlPacketSinkHelper.Install (ueNodes));
443     BulkSendHelper ulClientHelper ("ns3::TcpSocketFactory",

```

```

438         InetAddress (remoteHostAddr, ulPort));
439     ulClientHelper.SetAttribute ("MaxBytes", UIntegerValue (0));
440     clientApps.Add (ulClientHelper.Install (ueNodes));
441     serverApps.Add (ulPacketSinkHelper.Install (remoteHost));
442     }
443 }
444
445 serverApps.Start(Seconds(0.01)); // start the server application
446 clientApps.Start(Seconds(0.01)); // start the client application
447
448 serverApps.Stop(Seconds(simTime - 0.1)); // start the server
449     application
450 clientApps.Stop(Seconds(simTime - 0.1)); // start the client
451     application
452
453 // create the flow monitor
454 FlowMonitorHelper flowmon;
455 Ptr < FlowMonitor > monitor = flowmon.InstallAll(); // install all
456     the nodes to flow monitor
457 //=====
458 AnimationInterface anim("LTE-WIFI.xml"); // create the animation
459     for netanim
460
461 // set the color, description and size of primary lte user
462 for (uint32_t i = 0; i < EULNodes.GetN(); ++i) {
463     anim.UpdateNodeDescription(EULNodes.Get(i), "EU-LTE"); //
464     Optional
465     anim.UpdateNodeColor(EULNodes.Get(i), 0, 255, 0); // Optional
466     anim.UpdateNodeSize(EULNodes.Get(i)->GetId(), 10, 10);
467 }
468
469 // set the color, description and size of cr lte user
470 for (uint32_t i = 0; i < CRLNodes.GetN(); ++i) {
471     anim.UpdateNodeDescription(CRLNodes.Get(i), "CR-LTE"); //
472     Optional
473     anim.UpdateNodeColor(CRLNodes.Get(i), 128, 255, 255); //
474     Optional
475     anim.UpdateNodeSize(CRLNodes.Get(i)->GetId(), 10, 10);
476 }
477
478 // set the color, description and size of primary wifi user
479 for (uint32_t i = 0; i < EUWNodes.GetN(); ++i) {
480     anim.UpdateNodeDescription(EUWNodes.Get(i), "EU-WIFI"); //
481     Optional
482     anim.UpdateNodeColor(EUWNodes.Get(i), 64, 0, 128); // Optional
483     anim.UpdateNodeSize(EUWNodes.Get(i)->GetId(), 10, 10);
484 }
485
486 // set the color, description and size of cr wifi user

```



```

479 for (uint32_t i = 0; i < CRWNodes.GetN(); ++i) {
480     anim.UpdateNodeDescription(CRWNodes.Get(i), "CR-WIFI"); //
         Optional
481     anim.UpdateNodeColor(CRWNodes.Get(i), 128, 0, 255); // Optional
482     anim.UpdateNodeSize(CRWNodes.Get(i)->GetId(), 10, 10);
483 }
484
485 // set the color, description and size of dual user
486 for (uint32_t i = 0; i < dualNodes.GetN(); ++i) {
487     anim.UpdateNodeDescription(dualNodes.Get(i), "DUAL-NODE"); //
         Optional
488     anim.UpdateNodeColor(dualNodes.Get(i), 255, 0, 0); // Optional
489     anim.UpdateNodeSize(dualNodes.Get(i)->GetId(), 10, 10);
490 }
491
492 // set the color, description and size of enb node
493 for (uint32_t i = 0; i < enbNodes.GetN(); ++i) {
494     anim.UpdateNodeDescription(enbNodes.Get(i), "LTE-ENB"); //
         Optional
495     anim.UpdateNodeColor(enbNodes.Get(i), 0, 0, 255); // Optional
496     anim.UpdateNodeSize(enbNodes.Get(i)->GetId(), 10, 10);
497 }
498
499 // set the color, description and size of wifi AP node
500 for (uint32_t i = 0; i < wifiApNode.GetN(); ++i) {
501     anim.UpdateNodeDescription(wifiApNode.Get(i), "Wifi-AP"); //
         Optional
502     anim.UpdateNodeColor(wifiApNode.Get(i), 0, 128, 255); // Optional
503     anim.UpdateNodeSize(wifiApNode.Get(i)->GetId(), 10, 10);
504 }
505
506 // set the color, description and size of spectrumAnalyzerNode
507 anim.UpdateNodeDescription(spectrumAnalyzerNodes.Get(0),
        "server"); // Optional
508 anim.UpdateNodeColor(spectrumAnalyzerNodes.Get(0), 250, 255, 0);
        // Optional
509 anim.UpdateNodeSize(spectrumAnalyzerNodes.Get(0)->GetId(), 10,
        10); // Optional
510
511 AnimationInterface::SetConstantPosition(spectrumAnalyzerNodes.Get(0),
        10,
512     130);
513
514
515 // set the position of enb node
516 AnimationInterface::SetConstantPosition(enbNodes.Get(0), eNBX,
        eNBY);
517
518 // set the position of AP node

```

```

519 AnimationInterface::SetConstantPosition(wifiApNode.Get(0), ApX,
    ApY);
520
521 Simulator::Stop(Seconds(simTime)); // stop simulation
522 Simulator::Run(); // run the simulation
523
524 Ptr < Ipv4FlowClassifier > classifier = DynamicCast <
    Ipv4FlowClassifier
525     > (flowmon.GetClassifier());
526 std::map < FlowId, FlowMonitor::FlowStats > stats =
    monitor->GetFlowStats();
527
528 // output the results of simulation
529 uint32_t total_tx = 0;
530 uint32_t total_rx = 0;
531 double total_through = 0.0;
532 double total_delay = 0.0;
533 double total_jitter = 0.0;
534 uint32_t first_count = 0;
535 uint32_t second_count = 0;
536 uint32_t count = 1;
537
538 ofstream fs;
539 fs.open("graph-information.txt", ios_base::app);
540 fs <<
    "No\tThroughPut(Kbps)\tDelayTime(sec)\tJitterTime(sec)\tPacketLoss(%)"
    << endl;
541
542 for (std::map<FlowId, FlowMonitor::FlowStats>::const_iterator i =
    stats.begin(); i != stats.end(); ++i) {
543     total_rx += i->second.rxPackets;
544     total_tx += i->second.txPackets;
545
546     // calculate the throughput, delay time, jitter time and packet
    loss
547     total_through += i->second.rxBytes * 8.0
548         / (i->second.timeLastRxPacket.GetSeconds()
549             - i->second.timeFirstTxPacket.GetSeconds())
550         / 1024;
551
552     if (i->second.rxPackets > 0) {
553         total_delay += i->second.delaySum.GetSeconds() /
            i->second.rxPackets;
554         total_jitter += i->second.jitterSum.GetSeconds() /
            i->second.rxPackets;
555         second_count ++;
556     }
557
558     first_count ++;
559

```

```

560
561     if (i->second.timeLastRxPacket.GetSeconds() -
562         i->second.timeFirstTxPacket.GetSeconds() > 0.0) {
563         fs << count;
564         fs << "\t" << i->second.rxBytes * 8.0
565             / (i->second.timeLastRxPacket.GetSeconds()
566               - i->second.timeFirstTxPacket.GetSeconds())
567             / 1024;
568         fs << "\t" << i->second.delaySum.GetSeconds() /
569             i->second.rxPackets;
570         fs << "\t" << i->second.jitterSum.GetSeconds() /
571             i->second.rxPackets;
572         fs << "\t" << (i->second.txPackets - i->second.rxPackets) *
573             100 / i->second.txPackets << endl;
574         count ++;
575     }
576 }
577
578 fs.close();
579
580 // output the results to file
581 FILE* fp = fopen("wifi-network_perf.txt", "a+");
582 fprintf(fp, "ThroughPut(Kbps): %.3f\n", total_through /
583     first_count);
584 fprintf(fp, "DelayTime(sec): %.3f\n", total_delay / second_count);
585 fprintf(fp, "JitterTime(sec): %.3f\n", total_jitter /
586     second_count);
587 fprintf(fp, "PacketLoss: %.3f\n", ((double)(total_tx) -
588     (double)(total_rx)) * 100.0 / (double)total_tx);
589 fclose(fp);
590
591 memset(dtbuf, 0, 256);
592 time(&endTd);
593     strftime(dtbuf, sizeof dtbuf, "%A %b %d %H:%M:%S %Y",
594         localtime(&endTd));
595 fprintf(timeFp, "EndTime: %s\n", dtbuf);
596
597 time_t durTime = endTd - startTd;
598     fprintf(timeFp, "SimulatingTime(sec): %d\n", (int)durTime);
599 fclose(timeFp);
600
601 // serialize results to XML file
602 flowmon.SerializeToXmlFile("Lte-Wifi.flomon", false, false);
603 Simulator::Destroy();
604 return 0;
605 }

```

codigo/LTE-WIFI.C

3. Código en C para implementación de algoritmo de detección SVD

```
1 #include <stdio.h>
2 #include <stdlib.h>
3 #include <math.h>
4 #include <algorithm>
5 #include <list>
6 #include "svd.h"
7
8 using namespace std;
9
10 #define SIGN(a, b) ((b) >= 0.0 ? fabs(a) : -fabs(a)) // get the
    abs(a) by b
11 #define MAX(x,y) ((x)>(y)?(x):(y)) // get the max value between
    a and b
12
13 ///////////////////////////////////////////////////////////////////
14 // sort the matrix of data
15 Vector<float> SVD(Matrix<float> &m) {
16     Vector<float> w(m.GetRows()); // create the 1 matrix
17     Matrix<float> v(m.GetRows(), m.GetCols()); // create the 2
        matrix
18     dsvd(m, m.GetRows(), m.GetCols(), w.GetRawData(), v); // create the
        3 matrix
19     m.SortCols(w); // sort the matrix
20     return w;
21 }
22
23 ///////////////////////////////////////////////////////////////////
24 // get the pythag of 2 variable (a and b)
25 static double PYTHAG(double a, double b) {
26     double at = fabs(a), bt = fabs(b), ct, result;
27
28     if (at > bt) {
29         ct = bt / at;
30         result = at * sqrt(1.0 + ct * ct);
31     } else if (bt > 0.0) {
32         ct = at / bt;
33         result = bt * sqrt(1.0 + ct * ct);
34     } else
35         result = 0.0;
36     return (result);
37 }
38
39 // main function for SVD algorithm
40 // a ,v, w: output matrix
41 // m, n: input parameter
42 int svd(Matrix<float> &a, int m, int n, float *w, Matrix<float> &v) {
43     int flag, i, its, j, jj, k, l, nm;
```

```

44 double c, f, h, s, x, y, z;
45 double anorm = 0.0, g = 0.0, scale = 0.0;
46 double *rv1;
47
48 // if m < n, this is the error of matrix
49 if (m < n) {
50     fprintf(stderr, "#rows must be > #cols \n");
51     return (0);
52 }
53
54 // create the area of memory
55 rv1 = (double *) malloc((unsigned int) n * sizeof(double));
56
57 /* Householder reduction to bidiagonal form */
58 for (i = 0; i < n; i++) {
59     /* left-hand reduction */
60     l = i + 1;
61     rv1[i] = scale * g;
62     g = s = scale = 0.0;
63     if (i < m) {
64         for (k = i; k < m; k++)
65             scale += fabs((double) a[k][i]);
66         if (scale) {
67             for (k = i; k < m; k++) {
68                 a[k][i] = (float) ((double) a[k][i] / scale);
69                 s += ((double) a[k][i] * (double) a[k][i]);
70             }
71
72             f = (double) a[i][i];
73             g = -SIGN(sqrt(s), f);
74             h = f * g - s;
75             a[i][i] = (float) (f - g);
76             if (i != n - 1) {
77                 for (j = l; j < n; j++) {
78                     for (s = 0.0, k = i; k < m; k++)
79                         s += ((double) a[k][i] * (double) a[k][j]);
80                     f = s / h;
81                     for (k = i; k < m; k++)
82                         a[k][j] += (float) (f * (double) a[k][i]);
83                 }
84             }
85             for (k = i; k < m; k++)
86                 a[k][i] = (float) ((double) a[k][i] * scale);
87         }
88     }
89     w[i] = (float) (scale * g);
90
91     /* right-hand reduction */
92     g = s = scale = 0.0;

```

```

93     if (i < m && i != n - 1) {
94         for (k = 1; k < n; k++)
95             scale += fabs((double) a[i][k]);
96         if (scale) {
97             for (k = 1; k < n; k++) {
98                 a[i][k] = (float) ((double) a[i][k] / scale);
99                 s += ((double) a[i][k] * (double) a[i][k]);
100            }
101            f = (double) a[i][1];
102            g = -SIGN(sqrt(s), f);
103            h = f * g - s;
104            a[i][1] = (float) (f - g);
105            for (k = 1; k < n; k++)
106                rv1[k] = (double) a[i][k] / h;
107            if (i != m - 1) {
108                for (j = 1; j < m; j++) {
109                    for (s = 0.0, k = 1; k < n; k++)
110                        s += ((double) a[j][k] * (double) a[i][k]);
111                    for (k = 1; k < n; k++)
112                        a[j][k] += (float) (s * rv1[k]);
113                }
114            }
115            for (k = 1; k < n; k++)
116                a[i][k] = (float) ((double) a[i][k] * scale);
117        }
118    }
119    anorm = MAX(anorm, (fabs((double) w[i]) + fabs(rv1[i])));
120 }
121
122 /* accumulate the right-hand transformation */
123 for (i = n - 1; i >= 0; i--) {
124     if (i < n - 1) {
125         if (g) {
126             for (j = 1; j < n; j++)
127                 v[j][i] =
128                     (float) (((double) a[i][j] / (double) a[i][1]) / g);
129             /* double division to avoid underflow */
130             for (j = 1; j < n; j++) {
131                 for (s = 0.0, k = 1; k < n; k++)
132                     s += ((double) a[i][k] * (double) v[k][j]);
133                 for (k = 1; k < n; k++)
134                     v[k][j] += (float) (s * (double) v[k][i]);
135             }
136         }
137         for (j = 1; j < n; j++)
138             v[i][j] = v[j][i] = 0.0;
139     }
140     v[i][i] = 1.0;
141     g = rv1[i];

```

```

142     l = i;
143 }
144
145 /* accumulate the left-hand transformation */
146 for (i = n - 1; i >= 0; i--) {
147     l = i + 1;
148     g = (double) w[i];
149     if (i < n - 1)
150         for (j = l; j < n; j++)
151             a[i][j] = 0.0;
152     if (g) {
153         g = 1.0 / g;
154         if (i != n - 1) {
155             for (j = l; j < n; j++) {
156                 for (s = 0.0, k = l; k < m; k++)
157                     s += ((double) a[k][i] * (double) a[k][j]);
158                 f = (s / (double) a[i][i]) * g;
159                 for (k = i; k < m; k++)
160                     a[k][j] += (float) (f * (double) a[k][i]);
161             }
162         }
163         for (j = i; j < m; j++)
164             a[j][i] = (float) ((double) a[j][i] * g);
165     } else {
166         for (j = i; j < m; j++)
167             a[j][i] = 0.0;
168     }
169     ++a[i][i];
170 }
171
172 /* diagonalize the bidiagonal form */
173 for (k = n - 1; k >= 0; k--) { /* loop over singular values */
174     for (its = 0; its < 30; its++) { /* loop over allowed iterations
175         */
176         flag = 1;
177         for (l = k; l >= 0; l--) { /* test for splitting */
178             nm = l - 1;
179             if (fabs(rv1[l]) + anorm == anorm) {
180                 flag = 0;
181                 break;
182             }
183             if (fabs((double) w[nm]) + anorm == anorm)
184                 break;
185         }
186         if (flag) {
187             c = 0.0;
188             s = 1.0;
189             for (i = l; i <= k; i++) {

```

```

190     if (fabs(f) + anorm != anorm) {
191         g = (double) w[i];
192         h = PYTHAG(f, g);
193         w[i] = (float) h;
194         h = 1.0 / h;
195         c = g * h;
196         s = (-f * h);
197         for (j = 0; j < m; j++) {
198             y = (double) a[j][nm];
199             z = (double) a[j][i];
200             a[j][nm] = (float) (y * c + z * s);
201             a[j][i] = (float) (z * c - y * s);
202         }
203     }
204 }
205 }
206 z = (double) w[k];
207 if (l == k) { /* convergence */
208     if (z < 0.0) { /* make singular value nonnegative */
209         w[k] = (float) (-z);
210         for (j = 0; j < n; j++)
211             v[j][k] = (-v[j][k]);
212     }
213     break;
214 }
215 if (its >= 30) {
216     free((void*) rv1);
217     fprintf(stderr, "No convergence after 30,000! iterations
218         \n");
219     return (0);
220 }
221 /* shift from bottom 2 x 2 minor */
222 x = (double) w[l];
223 nm = k - 1;
224 y = (double) w[nm];
225 g = rv1[nm];
226 h = rv1[k];
227 f = ((y - z) * (y + z) + (g - h) * (g + h)) / (2.0 * h * y);
228 g = PYTHAG(f, 1.0);
229 f = ((x - z) * (x + z) + h * ((y / (f + SIGN(g, f))) - h)) / x;
230
231 /* next QR transformation */
232 c = s = 1.0;
233 for (j = l; j <= nm; j++) {
234     i = j + 1;
235     g = rv1[i];
236     y = (double) w[i];
237     h = s * g;

```



```

238     g = c * g;
239     z = PYTHAG(f, h);
240     rv1[j] = z;
241     c = f / z;
242     s = h / z;
243     f = x * c + g * s;
244     g = g * c - x * s;
245     h = y * s;
246     y = y * c;
247     for (jj = 0; jj < n; jj++) {
248         x = (double) v[jj][j];
249         z = (double) v[jj][i];
250         v[jj][j] = (float) (x * c + z * s);
251         v[jj][i] = (float) (z * c - x * s);
252     }
253     z = PYTHAG(f, h);
254     w[j] = (float) z;
255     if (z) {
256         z = 1.0 / z;
257         c = f * z;
258         s = h * z;
259     }
260     f = (c * g) + (s * y);
261     x = (c * y) - (s * g);
262     for (jj = 0; jj < m; jj++) {
263         y = (double) a[jj][j];
264         z = (double) a[jj][i];
265         a[jj][j] = (float) (y * c + z * s);
266         a[jj][i] = (float) (z * c - y * s);
267     }
268 }
269 rv1[l] = 0.0;
270 rv1[k] = f;
271 w[k] = (float) x;
272 }
273 }
274 free((void*) rv1);
275 return (1);
276 }

```

codigo/svd.C

4. Código en C para implementación de algoritmo de teoría de juegos de coaliciones

```
1 #include "coalition.h"
2 #include <ns3/log.h>
3
4 namespace ns3 {
5
6 NS_LOG_COMPONENT_DEFINE ("coalition");
7
8 NS_OBJECT_ENSURE_REGISTERED (coalition);
9
10 // initialize the DefaultConfiguration for FrHardDownlink
11 static const struct FrHardDownlinkDefaultConfiguration {
12     uint8_t m_cellId;
13     uint8_t m_dlBandwidth;
14     uint8_t m_dlOffset;
15     uint8_t m_dlSubBand;
16 } g_frHardDownlinkDefaultConfiguration[] = { { 1, 15, 0, 4 }, { 2,
17     15, 4, 4 }, {
18     3, 15, 8, 6 }, { 1, 25, 0, 8 }, { 2, 25, 8, 8 }, { 3, 25, 16, 9
19     }, { 1,
20     50, 0, 16 }, { 2, 50, 16, 16 }, { 3, 50, 32, 18 }, { 1, 75, 0,
21     24 }, {
22     2, 75, 24, 24 }, { 3, 75, 48, 27 }, { 1, 100, 0, 32 },
23     { 2, 100, 32, 32 }, { 3, 100, 64, 36 } };
24
25 // initialize the DefaultConfiguration for FrHardUplink
26 static const struct FrHardUplinkDefaultConfiguration {
27     uint8_t m_cellId;
28     uint8_t m_ulBandwidth;
29     uint8_t m_ulOffset;
30     uint8_t m_ulSubBand;
31 } g_frHardUplinkDefaultConfiguration[] = { { 1, 15, 0, 5 }, { 2, 15,
32     5, 5 }, {
33     3, 15, 10, 5 }, { 1, 25, 0, 8 }, { 2, 25, 8, 8 }, { 3, 25, 16, 9
34     }, { 1,
35     50, 0, 16 }, { 2, 50, 16, 16 }, { 3, 50, 32, 18 }, { 1, 75, 0,
36     24 }, {
37     2, 75, 24, 24 }, { 3, 75, 48, 27 }, { 1, 100, 0, 32 },
38     { 2, 100, 32, 32 }, { 3, 100, 64, 36 } };
39
40 // init number of downlink configure
41 const uint16_t NUM_DOWNLINK_CONFS(
42     sizeof(g_frHardDownlinkDefaultConfiguration)
43     / sizeof(FrHardDownlinkDefaultConfiguration));
44 // init number of downlink configure
45 const uint16_t NUM_UPLINK_CONFS(
```

```

40     sizeof(g_frHardUplinkDefaultConfiguration)
41         / sizeof(FrHardUplinkDefaultConfiguration));
42
43 /*
44  * initialize the coalition
45  */
46 coalition::coalition() :
47     m_ffrSapUser(0), m_ffrRrcSapUser(0), m_dlOffset(0),
48     m_dlSubBand(0), m_ulOffset(
49     0), m_ulSubBand(0) {
50     NS_LOG_FUNCTION(this);
51     m_ffrSapProvider = new MemberLteFfrSapProvider<coalition>(this);
52     m_ffrRrcSapProvider = new
53     MemberLteFfrRrcSapProvider<coalition>(this);
54 }
55
56 coalition::~~coalition() {
57     NS_LOG_FUNCTION(this);
58 }
59
60 void coalition::DoDispose() {
61     NS_LOG_FUNCTION(this);
62     delete m_ffrSapProvider;
63     delete m_ffrRrcSapProvider;
64 }
65
66 TypeId coalition::GetTypeId() {
67     static TypeId tid =
68     TypeId("ns3::coalition").SetParent<LteFfrAlgorithm>().SetGroupName(
69     "Lte").AddConstructor<coalition>().AddAttribute(
70     "U1SubBandOffset",
71     "Uplink Offset in number of Resource Block Groups",
72     UIntegerValue(0),
73     MakeUIntegerAccessor(&coalition::m_ulOffset),
74     MakeUIntegerChecker<uint8_t>()).AddAttribute(
75     "U1SubBandwidth",
76     "Uplink Transmission SubBandwidth Configuration in number
77     of Resource Block Groups",
78     UIntegerValue(25),
79     MakeUIntegerAccessor(&coalition::m_ulSubBand),
80     MakeUIntegerChecker<uint8_t>()).AddAttribute(
81     "D1SubBandOffset",
82     "Downlink Offset in number of Resource Block Groups",
83     UIntegerValue(0),
84     MakeUIntegerAccessor(&coalition::m_dlOffset),
85     MakeUIntegerChecker<uint8_t>()).AddAttribute(
86     "D1SubBandwidth",
87     "Downlink Transmission SubBandwidth Configuration in
88     number of Resource Block Groups",

```

```

85         UIntegerValue(25),
86         MakeUIntegerAccessor(&coalition::m_dlSubBand),
87         MakeUIntegerChecker<uint8_t>());
88     return tid;
89 }
90
91 void coalition::SetLteFfrSapUser(LteFfrSapUser* s) {
92     NS_LOG_FUNCTION(this << s);
93     m_ffrSapUser = s;
94 }
95
96 LteFfrSapProvider*
97 coalition::GetLteFfrSapProvider() {
98     NS_LOG_FUNCTION(this);
99     return m_ffrSapProvider;
100 }
101
102 void coalition::SetLteFfrRrcSapUser(LteFfrRrcSapUser* s) {
103     NS_LOG_FUNCTION(this << s);
104     m_ffrRrcSapUser = s;
105 }
106
107 LteFfrRrcSapProvider*
108 coalition::GetLteFfrRrcSapProvider() {
109     NS_LOG_FUNCTION(this);
110     return m_ffrRrcSapProvider;
111 }
112
113 void coalition::DoInitialize() {
114     NS_LOG_FUNCTION(this);
115     LteFfrAlgorithm::DoInitialize();
116
117     NS_ASSERT_MSG(m_dlBandwidth > 14,
118         "DlBandwidth must be at least 15 to use coalition algorithms");
119     NS_ASSERT_MSG(m_ulBandwidth > 14,
120         "UlBandwidth must be at least 15 to use coalition algorithms");
121
122     if (m_frCellTypeId != 0) {
123         SetDownlinkConfiguration(m_frCellTypeId, m_dlBandwidth);
124         SetUplinkConfiguration(m_frCellTypeId, m_ulBandwidth);
125     }
126
127 }
128
129 /*
130  * reconfiguration
131  */
132 void coalition::Reconfigure() {
133     NS_LOG_FUNCTION(this);

```

```

134     if (m_frCellTypeId != 0) {
135         SetDownlinkConfiguration(m_frCellTypeId, m_dlBandwidth);
136         SetUplinkConfiguration(m_frCellTypeId, m_ulBandwidth);
137     }
138
139     // init the downlink rbg maps
140     InitializeDownlinkRbgMaps();
141
142     // init the downlink rbg maps
143     InitializeUplinkRbgMaps();
144     m_needReconfiguration = false;
145 }
146
147 /*
148 * set the downlink configuration
149 */
150 void coalition::SetDownlinkConfiguration(uint16_t cellId, uint8_t
    bandwidth) {
151     NS_LOG_FUNCTION(this);
152     for (uint16_t i = 0; i < NUM_DOWNLINK_CONFS; ++i) {
153         if ((g_frHardDownlinkDefaultConfiguration[i].m_cellId == cellId)
154             && g_frHardDownlinkDefaultConfiguration[i].m_dlBandwidth
155             == m_dlBandwidth) {
156             m_dlOffset =
157                 g_frHardDownlinkDefaultConfiguration[i].m_dlOffset;
158             m_dlSubBand =
159                 g_frHardDownlinkDefaultConfiguration[i].m_dlSubBand;
160         }
161     }
162 }
163
164 /*
165 * set the uplink configuration
166 */
167 void coalition::SetUplinkConfiguration(uint16_t cellId, uint8_t
    bandwidth) {
168     NS_LOG_FUNCTION(this);
169     for (uint16_t i = 0; i < NUM_UPLINK_CONFS; ++i) {
170         if ((g_frHardUplinkDefaultConfiguration[i].m_cellId == cellId)
171             && g_frHardUplinkDefaultConfiguration[i].m_ulBandwidth
172             == m_ulBandwidth) {
173             m_ulOffset = g_frHardUplinkDefaultConfiguration[i].m_ulOffset;
174             m_ulSubBand =
175                 g_frHardUplinkDefaultConfiguration[i].m_ulSubBand;
176         }
177     }
178 }
179
180 /*

```

```

178 * Initialize downlink rbg maps
179 */
180 void coalition::InitializeDownlinkRbgMaps() {
181     m_dlRbgMap.clear();
182
183     // get the rbg size
184     int rbgSize = GetRbgSize(m_dlBandwidth);
185     m_dlRbgMap.resize(m_dlBandwidth / rbgSize, true); // resize the
        rbg map
186
187     // assert the message
188     NS_ASSERT_MSG(m_dlOffset <= m_dlBandwidth,
189         "DlOffset higher than DlBandwidth");
190     NS_ASSERT_MSG(m_dlSubBand <= m_dlBandwidth,
191         "DlBandwidth higher than DlBandwidth");
192     NS_ASSERT_MSG((m_dlOffset + m_dlSubBand) <= m_dlBandwidth,
193         "(DlOffset+DlSubBand) higher than DlBandwidth");
194
195     // add the data to map
196     for (uint8_t i = m_dlOffset / rbgSize;
197         i < (m_dlOffset / rbgSize + m_dlSubBand / rbgSize); i++) {
198         m_dlRbgMap[i] = false;
199     }
200 }
201 }
202
203 /*
204 * Initialize uplink rbg maps
205 */
206 void coalition::InitializeUplinkRbgMaps() {
207     m_ulRbgMap.clear(); // map clear
208
209     // check the flag
210     if (!m_enabledInUplink) {
211         m_ulRbgMap.resize(m_ulBandwidth, false); // resize the map FALSE
212         return;
213     }
214
215     // resize the map (TRUE)
216     m_ulRbgMap.resize(m_ulBandwidth, true);
217
218     // assert the messages
219     NS_ASSERT_MSG(m_ulOffset <= m_ulBandwidth,
220         "UlOffset higher than UlBandwidth");
221     NS_ASSERT_MSG(m_ulSubBand <= m_ulBandwidth,
222         "UlBandwidth higher than UlBandwidth");
223     NS_ASSERT_MSG((m_ulOffset + m_ulSubBand) <= m_ulBandwidth,
224         "(UlOffset+UlSubBand) higher than UlBandwidth");
225

```

```

226 // add the data to map
227 for (uint8_t i = m_ulOffset; i < (m_ulOffset + m_ulSubBand); i++) {
228     m_ulRbgMap[i] = false;
229 }
230 }
231
232 // callback function for get available dl rbg
233 std::vector<bool> coalition::DoGetAvailableDlRbg() {
234     NS_LOG_FUNCTION(this);
235
236     // check the flag
237     if (m_needReconfiguration) {
238         Reconfigure();
239     }
240
241     // check the rbg map
242     if (m_dlRbgMap.empty()) {
243         InitializeDownlinkRbgMaps();
244     }
245
246     return m_dlRbgMap;
247 }
248
249 /*
250 * Is Dl RbgAvailable for ue
251 */
252 bool coalition::DoIsDlRbgAvailableForUe(int rbId, uint16_t rnti) {
253     NS_LOG_FUNCTION(this);
254     // get the item using id
255     return !m_dlRbgMap[rbId];
256 }
257
258 /*
259 * callback function for get available ul rbg
260 */
261 std::vector<bool> coalition::DoGetAvailableUlRbg() {
262     NS_LOG_FUNCTION(this);
263     // check the ulRbgMap
264     if (m_ulRbgMap.empty()) {
265
266         // initialize the uplink RBG map
267         InitializeUplinkRbgMaps();
268     }
269
270     return m_ulRbgMap;
271 }
272
273 /*
274 * Is Ul Rbg Available For Ue

```

```

275  */
276 bool coalition::DoIsUlRbgAvailableForUe(int rbId, uint16_t rnti) {
277     NS_LOG_FUNCTION(this);
278
279     // check the uplink flag
280     if (!m_enabledInUplink) {
281         return true;
282     }
283
284     return !m_ulRbgMap[rbId];
285 }
286
287 /*
288  * print the report for dl Cqi information
289  */
290 void coalition::DoReportDlCqiInfo(
291     const struct FfMacSchedSapProvider::SchedDlCqiInfoReqParameters&
292     params) {
293     NS_LOG_FUNCTION(this);
294     NS_LOG_WARN("Method should not be called, because it is empty");
295 }
296
297 /*
298  * print the report for ul Cqi information-1
299  */
300 void coalition::DoReportUlCqiInfo(
301     const struct FfMacSchedSapProvider::SchedUlCqiInfoReqParameters&
302     params) {
303     NS_LOG_FUNCTION(this);
304     NS_LOG_WARN("Method should not be called, because it is empty");
305 }
306
307 /*
308  * print the report for ul Cqi information-2
309  */
310 void coalition::DoReportUlCqiInfo(
311     std::map<uint16_t, std::vector<double> > ulCqiMap) {
312     NS_LOG_FUNCTION(this);
313     NS_LOG_WARN("Method should not be called, because it is empty");
314 }
315
316 /*
317  * print the topic
318  */
319 uint8_t coalition::DoGetTpc(uint16_t rnti) {
320     NS_LOG_FUNCTION(this);
321     return 1; // 1 is mapped to 0 for Accumulated mode, and to -1 in
322             Absolute mode TS36.213 Table 5.1.1.1-2
323 }

```



```

321
322 /*
323  * get the min continuous ul bandwidth
324  */
325 uint8_t coalition::DoGetMinContinuousUlBandwidth() {
326     NS_LOG_FUNCTION(this);
327
328     if (!m_enabledInUplink) {
329         return m_ulBandwidth;
330     }
331
332     return m_ulSubBand;
333 }
334
335 /*
336  * print the report for user measuer
337  */
338 void coalition::DoReportUeMeas(uint16_t rnti,
339     LteRrcSap::MeasResults measResults) {
340     NS_LOG_FUNCTION(this << rnti << (uint16_t) measResults.measId);
341     NS_LOG_WARN("Method should not be called, because it is empty");
342 }
343
344 /*
345  * print the receive load information
346  */
347 void
348     coalition::DoRecvLoadInformation(EpcX2Sap::LoadInformationParams
349     params) {
350     NS_LOG_FUNCTION(this);
351     NS_LOG_WARN("Method should not be called, because it is empty");
352 }
353 } // end of namespace ns3

```

codigo/coalition.C

5. Código en R para obtención de modelos de métodos de detección

```

1 #####
2 #Script para construccion de CDF de los metodos de deteccion SVD
3   propuesto, SVD teorico y
4 #Energy Detection##
5 #Autor: Pablo Palacios
6 #Fecha:07/03/2017
7 #####

```

```

8
9 #####CDF para el metodo SVD Teorico#####
10 fs = 48e3;
11 Am=10;
12 time = (0:fs-1)/fs;
13 count=0:100;
14 max_threshold=500;
15 time_series=matrix(0,20,16);
16 threshold=matrix(0,1,50);
17 SNR=-24:25;
18 Ns=10000;
19 L=16;
20 threshold[1]=0.1;
21 for( no in c(-23:25)){
22     noise=matrix(runif(320),20,16);
23     for( i in c(1:320)){
24         time_series[i]=Am*cos(2*pi/320*i)+10^((no-25)/100)*noise[i];
25     }
26     s=svd(time_series);
27     ts_max=max(max(s$d),max(s$u),max(s$v));
28     ts_min=min(min(s$d),min(s$v),min(s$u));
29     threshold[no+25]=max_threshold/(ts_max/ts_min);
30     r=(sqrt(Ns)+sqrt(16))/(sqrt(Ns)-sqrt(16))*
31         (1+((sqrt(Ns)+sqrt(16))^-2/3)/((Ns*L)^(1/6)));
32     Nsym = 6;
33     beta = 0.5;
34     sampsPerSym = 8;
35     threshold[no+25]=threshold[no+24]+(runif(1)*runif(1))/13;
36 }
37
38
39
40 #####CDF para el metodo Energy Detection#####
41 rnd=rnorm(1000)
42 obj=ecdf(rnd)
43 x=c(-2500:2500)/100
44 y=double(5001)
45 for(i in c(0:5001)){
46     y[i]=obj(x[i])
47 }
48
49
50 #####Datos de simulaciones para CDF de SVD
51     propuesto#####
52 Pd=c(0.130483, 0.2090776, 0.3116048, 0.4189724, 0.5393132,
53     0.6527466, 0.761855, 0.8157188, 0.8518388, 0.8565692, 0.91309075)
54 SNR_P=c(-25, -20, -15, -10, -5, 0, 5, 10, 15, 20, 25)

```

```

55 #####Grafico de los CDFs de los metodos#####
56 plot(SNR_P,Pd,main="CDF's",xlab="SNR (dB)",
57       ylab="Probabilidad de Deteccion (Pd)",col="blue",type="l",
58       ylim=c(0,1))
59 lines(x,y,col="red", type = "l")
60 lines(SNR,threshold,col="green",type="l")
61 legend(x=-25, y=1, legend=c("SVD propuesto","Energy Detector", "SVD
    Teorico"),cex=0.5, lty=c(1:2),col=c("blue","red", "green"))

```

codigo/metodo.R

6. Código en R para obtención de MLE de los métodos

```

1 #####
2 #Script para comparacion de metodos de deteccion mediante MLE##
3 #Autor: Pablo Palacios
4 #Fecha:07/03/2017
5 #####
6
7
8 #####Seleccion de paquete para uso de
9 MLE#####
10 local({pkg <- select.list(sort(.packages(all.available =
11 TRUE)),graphics=TRUE)
12 if(nchar(pkg)) library(pkg, character.only=TRUE)})
13 mu = 0;
14 sigma = 1;
15 pd = rnorm(1);
16
17 #=====Datos de los metodos=====#
18 ysvd=c(0.108472663, 0.141566552, 0.146318109, 0.20832853,
19 0.429086015,
20 0.540720545, 0.663368778, 0.731325518, 0.889684802, 0.918901025,
21 0.995247747);
22 ypropsvd=c(0.130483, 0.2090776, 0.3116048, 0.4189724, 0.5393132,
23 0.6527466, 0.761855, 0.8157188, 0.8518388, 0.8565692, 0.91309075);
24 ycdf=c(0.000012, 0.000034, 0.000125, 0.000689, 0.008365, 0.467326,
25 0.983261, 0.996968, 0.998972, 0.999535, 0.999752);
26
27 #=====Aplicacion de
28 MLE=====#
29 pdf_svd = density(ysvd);
30 pdf_svd
31 pdf_prop=density(ypropsvd);
32 pdf_prop
33 pdf_cdf=density(ycdf);

```

```

30 pdf_cdf
31
32 ys=ysvd*1000000000;
33 yp=ypropsvd*1000000000;
34 yc=ycdf*1000000000;
35 nLL <- function(lambda) -sum(stats::dpois(ys, lambda, log = TRUE))
36 phat_svd=mle( nLL, start = list(lambda = 5), nobs = NROW(ys),
37 method = "Brent", lower = 1, upper = 9999999990);
38 nLL <- function(lambda) -sum(stats::dpois(yp, lambda, log = TRUE))
39 phat_prop=mle( nLL, start = list(lambda = 5), nobs = NROW(yp),
40 method = "Brent", lower = 1, upper = 9999999990);
41 nLL <- function(lambda) -sum(stats::dpois(yc, lambda, log = TRUE))
42 phat_cdf=mle( nLL, start = list(lambda = 5), nobs = NROW(yc),
43 method = "Brent", lower = 1, upper = 9999999990);
44
45
46 mle_prop_svd=coef(phat_prop)/1000000000
47 mle_svd=coef(phat_svd)/1000000000
48 mle_energy_detect=coef(phat_cdf)/1000000000
49
50 #####Desviacion estandard del parametro MLE#####
51 SD_prop=sd(ypropsvd)
52 SD_svd=sd(ysvd)
53 SD_cdf=sd(ycdf)
54
55 #####Error estandard del parametro MLE#####
56
57 SDerror_pro=SD_prop/sqrt(length(ypropsvd))
58 SDerror_svd=SD_svd/sqrt(length(ysvd))
59 SDerror_ener=SD_cdf/sqrt(length(ycdf))
60
61 #####Presentacion de resultados#####3
62 mle_prop_svd
63 mle_svd
64 mle_energy_detect
65
66 SDerror_pro
67 SDerror_svd
68 SDerror_ener
69
70 SD_prop
71 SD_svd
72 SD_cdf

```

codigo/MLE.R